

1.2 المعلومات المطلوبة من تحريرات الموقع

ان المعلومات المطلوبة من تحريرات الموقع تشمل ما يأتي :-

1) معلومات يعتمد عليها في اختبار وتصميم أساس المنشا . مثل ذلك قوة القوس .

2) معلومات يستند إليها عند التثبيت . ومثال ذلك كمية المواد التي تتحفظ وحراصها والاضمحلالية .

الابية وفي السدو التربوية . وفي هذه الحالات تهدى الإشارات وفي اضطرابات التربة نفسه الذي يعتمد بدوره على خواص التربة المستعملة في المنشا .

2) معلومات عن حالة المياه الجوفية وكيفية السيطرة عليها أثناء فحص الأشلاء وخلال فحص استخدام المنشا . وتتضمن مسوب المياه الجوفية والتغيرات الفصلية لها . وضيق الماء في التربة . ونفادية التربة .

1.3 الخطط لتحريرات الموقع

ان التصريح بالقتصادي لا يقتضي عادةً معرفة كافية بحالات طبقات التربة وخواصها في ذلك الموقع . ويقتضي الفحص من تحريرات الموقع (site investigations) ذاتي .

1) تقدير ملائمة الموقع للمشروع أو الادغال الفنية .
2) تحديد المسيل والامتداد الجافين لكل طبقه . وتنصفي من جذبات الأرضية .
3) حسن عمقعين تحت سطح الأرض الطبيعية . ودرجات هذا العمق على نوع وحجم وطبيعة الشراع الصاق إلى خواص التربة نفسها .
4) تحديد العمق إلى سطح الطبقه الصخرية (bedrock) مع خواص هذه الطبقه .
5) التي تضمن التكوين الجيولوجي . والأمتداد الجانبي . والعمق . سمل كل طبقه .
6) ومحاجه الطبقه (strike) وميل التشقق (dip) . والمسافات (spacing) .

1.3.1 مرحلة الاستكشاف وجمع المعلومات المتوفرة

ان مرحلة الاستكشاف وجمع المعلومات المتوفرة (reconnaissance phase) هي مرحلة التسويات التي توفر المعلومات الازمة للدراسات الأولية للمشروع وللخطيط للمرحلةالية من التحريات . وتتوافق أهمية هذه المرحلة على نوع المشروع . فإذا كان المشروع مجموعه من الآية تتضا على موقع مختار مسبقاً فإن أهمية هذه المرحلة تكون محدودة . أما إذا كان المشروع سداً أو طريقاً فإن هذه المرحلة تكون مهمة جداً بحيث يمكن ان تدرس عددة مواقع في وقت قصير .

1) العصو على حبيبات غير مشوهة (undisturbed) ومشوشة (disturbed)
2) تحمل طبقات التربة أو الصخور لتصنيفها وتغييرها واستعمالها في التحصص المخبرية لعين الخواص الجيدين للتربة أو الصخور التي تتضمن على مقاومة القص (Shear Strength) والاضمحلالية (Compressibility) والمتانة (Strength) .
3) القدرة على انتقال الماء الجوفي (Permeability)
4) نجف محتوى الماء الجوفي (ground water table) وغیرها المؤسسي وتعين بينها .
5) وجود مقدار الضغط الأزتراري (artesian pressure) في الطبقات المختلفة مع الحين خواص المياه الجوفية ومدى تأثيرها على المنشا . هنا وتعجب إن تطعن بالحجج التربيات معلومات وأوجه لممكن المنهج من اختيار نوع الأساس الأكبر ملائمة للمنشا المنشآت المائية التي قد تتم إثابة العغيرات

الفصل الأول

تحريرات الموقع

1.1 العرض من تحريرات الموقع

بـ- التحريات التفصيلية

تقلل المسافات بين الحفر في هذه المرحلة باضافة حفر وسطية الى الحفر الرئيسي تم انجازها في المرحلة السابقة . ويتختلف المسافات بين الحفر اختلافاً كبيراً حسب نوع المنشآت

مهما جدًا ، للاحظة الابدية والمنشآت القائمة وملامحه توقيعه اسسهها ، وملامحه اي تتفوق في الجدران او اي علامة تدل على هبوط الاسس والمشاكل التي حدثت في تلك المنشآت .

1.3.2 مراحلة التحريات الأولية .

تم بعد عدد من التحريات الأولية (preliminary investigations) ان تكمل المسافات في بعض الاحيان الى 10 m بين حفرة وانحراف وفي جميع الاحوال يجب ان تكون المسافات بين الحفر بحيث تتمكننا من رسم مقاطع جيولوجية كاملة في الاماكن الفردية من المشروع .

عسلـ ١ـ هذا وفي الحالات التي يتربع فيها وجود فجوات (cavities) داخل الارض تكللت التي توجد عادة في طبقات حجر الكلس (limestone) فتدق قصبات حديدة على مسافات متساوية وذلك لمعين الفحوصات وامتدادها افقياً وعمودياً . وقد يكتفى بعمل جيولوجية كاملة في الاماكن الفردية من المشروع .

النفر (pits) او الحفر (borings)

بواسطة المكائن ولعدم محدودة للحصول

- ـ عمق الطبقات الصخرية او وجدت .
- ـ الحصول على عينات مشوشه وعيارات غير مشوشه لتحديد الخواص الهندسية للترية .
- ـ انجبار اولى لاجمالا نوع الاسس وتقدير الكفة الاولية لها

4.4 عميق الحفر الاختبارية

يترافق عمق الحفر الاختبارية بدرجات كبيرة على حجم ونوع المنشآت . وكذلك تماقق وخواص التربة المأذورة بالمنشا . وبصورة عامة يجب مراعاة القاطع الابدي عند وضع برؤاس الحجريات :

- ـ يergus ان تختلف الحفر كافية الطبقات الصخرية غير الصالحة لوضع الاسس عليها كالدفن العميق والترية الصخرية سواء كانت طبينة او رملية والترب الحاوية على نسبة عالية من المواد العضوية . الى ان يصل الحفوص الى طبقة قوية ذات قابلية تحمل مناسبة .
- ـ في حالة وجود طبقات انفعالية (weathered strata) في سطح الأرض تكون قابلية تحملها جيدة . يجب ان يستمر الحفر الى القاعي الذي يصبح فيه الاجهاد الناتج من المشا قليلاً جداً بحيث يكون المهوط (settlement) الذي يسببه اضمام (compression) التربة او اضفاطها (consolidation) قليلاً جداً ولا يؤثر على المشا .

3.3 مرحلة التحريات التفصيلية

ان مرحلة الحجريات التفصيلية (detailed investigations)

ـ هي المرحلة

- ـ التي تتضمن :
 - ـ تعين الميكل العيولوجي المعمق بالتفصيل ويشمل التغرس . والتعقب والامتداد للطبقات المختلفة .
 - ـ تعين حلقات المياه الجوفية .
 - ـ الحصر على عينات شهوية وغير شهوية وفحصها مختبرياً .
 - ـ اجراء التجارب المعملية لمعين الخواص الميكانيكية المترتبة في الموقع الاصلي لها .
- ـ امتداد وعمق الحفر الاختبارية

المسافات بين الحفر الاختبارية

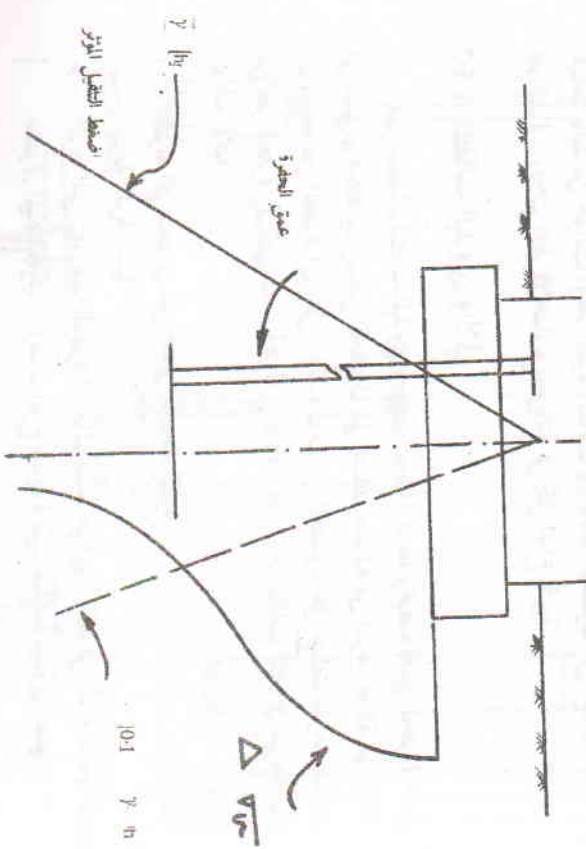
ـ اذا كانت طبقات التربة القوية موجودة على اعماق ضحلة فيجب ان يستمر الحفر

خلال هذه الطبقات القوية الى القاعي الذي يصبح فيه وجد اي طبقة ضعيفة تحت الطبقات القوية لا يؤثر على المشا من ناحية الاهوت او قابلية التحمل .

ـ اذا وجدت طبقات صخرية اثناء الحفر فيجب ان يستمر الحفر الى عمق 3 m داخل

الطبقة الصخرية اذا كانت نحو اصحابها واستمرارتها غير معمقة مسبقاً . والباقي بـ 1.5 m العمق من 30 m اسفله على نوع المشروع وحالات التكون الطيفي للسرية . داخـل الطبقـة الصخـرـية .

هذا وفي حالة وجود طبقه انضغاطية تتحدد إلى عمق كثيف الحفر يستمر خلاها إلى أن تصل إلى زاده في الإجهاد الشاقولي (٥٧) الناتجه من المنشآت مساوئه إلى ٠٪ من إجهاد التغير المؤثر (effective overburden stress) كما مبين في الشكل ١-٢ .



الشكل ١-٢ عمق الحفر الاختبارية للترية الانضغاطية المنشآة

١.٥ طرائق الحفر

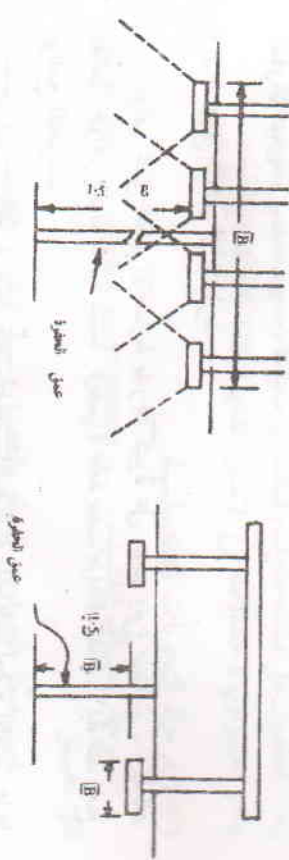
النقر التجاربي

إن حفر النقر التجاربي (trial pits) هي طريقة بسيطة يحول عليها في التجريبي ولكنها محدودة في الأحوال الاعتيادية إلى عمق لا يزيد عن ٤.٥ m . وتوال التربة عادة بواسطه حفارة ميكانيكية ويعجب أن تحدى النقرة بزاوية أمنية أو تدرج إن لم تسد جوانبها وذلك قبل أن يدخل أي شخص فيها .

وأن الرؤس المسخرجة من القررة يجب أن توضع بمسافة لا تقل عن حافة القررة . وفي حالة امتداد القررة تحت مستوى المياه الجوفية فلابد إزالة المياه قد تكون ضروريه في الترية ذات الفاذيه العالية . وإن استعمال القراء الاختبارية

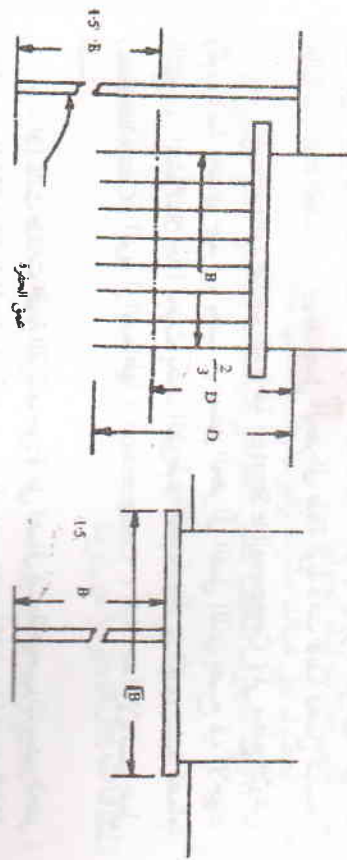
خلال مرحلة التجريبيات الفضليه . يستحسن أن تتم حفره واحدة أو أكثر إلى عمق أكثر من الأعماق المطلوبه وذلك للأذكى من عدم وجود حلقات غير اعتمادي في طبقات التربة او بياه المخزون . وتحذر الاشارة إلى أن الحفر يجب أن يستمر إلى عمق تحف الأسas بمقدار ١٥٠٪ أكثير من عرض المنشآت كما مبين في الشكل ١-١ لبعض الحالات الشائعة . وفي هذه الحالات تزاح المياه عند إجهاد الشاقولي (vertical stress) في مستوى نهاية الحفر بين ١٠٪ و ٢٠٪ من القيمه عند قاعدة الأرض

وان الهرط الشكل وعمره العقوالت (differential Settlement) تبيّنه انضغاط الطبقه او انضممه تحت هذا المستوى يكون عادة قليلا .



أ-أس مفعله ، ميغدة

ب-أس مفعله ، مغاربة



أ-أس روك

ب-أس حمراء

الشكل - ١-١

الشكل الاختبارية للأسس المنشآة

يمكن من اختبار حالات التربة بالنظر في الواقع الأصلي لها . ومن المهم للبساطة الحصول على عينات مشوشة وغير مشوشة . وفي حالة تكون التربة متماسكة . فإنك بذلك بإمكانك قطع عينات بآلية من جوانب الفحص أو قفر الفحص وكذلك بإمكان الحصول على عينات انوية من قفر الفحص . ولأنهم الفحص الاختباري ينبع من كل أنواع التربة .

1.5.2 الم魁 اليهودي والائي

يعتبر استعمال الم魁 اليهودي (hand auger) طريقة رخصصة لعمل الحفر الاختبارية إلى عمق 6-0 m تقريبا ويمكن الحصول على عينات مشوشة من التربة العاقلة على الم魁 أثناء رفعه من الحفرة إلى أعلى . وكذلك يمكن الحصول على عينات غير مشوشة نسبياً من قفر الحفرة ولكنها ذات قطر قليل عادة . هذا وإن الم魁 اليهودي غير ملائم في الترب الائية : -

أ - التربة التي تحتوي على حصى بأحجام كبيرة .

ب - التربة القوية نسبياً

ج - التربة التي تنهار فيها الحفرة إذا مال مسمار جوانبها . كما في التربة الرملية تحت

مستوى المياه الجوفية . وهناك نوعان عديدين من الم魁 اليهودي أهدها : -

م魁اب إيرلاند (Iwan auger) . والم魁اب المحروري (helical auger) . والم魁اب الولي (helical auger) . والم魁اب ورقة الم魁اب الحصى spiral auger . كما في الشكل 1.1.3. أما الم魁اب الإلي (power driven auger) فيستعمل في التجارب العميقه . إذاً ممكان كبيرة تستعمل لدوران الم魁اب وتستطيع الحفر إلى عمق يزيد على 30 m وأفطلق مختالية تصل إلى 1.5 m أو أكثر كما في ركائز الحفر (bored piles) . وبعد اخذ العينات يرفع الم魁اب من الحفرة وتتر ألة أخذة العينات (sampler) الاستخراج العينية من قاع الحفرة .

ومن الطورات المهنية في عملية الحفر هذه استعمال الم魁اب ذي الساق المجرفة (holla stem auger) واستبدال المحرف من المطرقة . انظر الشكل 1.4 .

ويستدل على التغيرات في طبقات التربة بوساطة فحص التربة المستخرجة مع الم魁اب طريقة تقطم الحفر . وأن طريقة الحفر بال魁اب المناسبة وكتففة للحفر لا عماق 15-20 m وهي ماسبة للتربة الرملية فوق المياه الجوفية وكذلك في التربة الطينية الفضفعة أو القوية (soft clay)

الم魁اب اليهودي

م魁اب الحصى

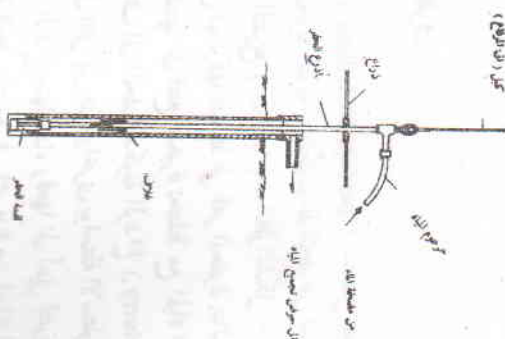
الشكل 1.3 أنواع الاعداديه للم魁اب اليهودي

١.٥.٣ الحفر بالغسل

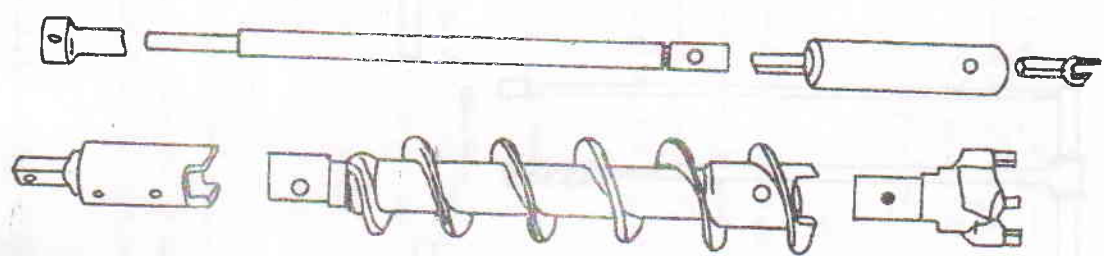
ان طريقة الحفر بالغسل (wash boring) تعمد على قطع الرتبة (chopping) الى قطع صغيره ترتفع بدورها الى اعلى الحفرة بواسطة ماء معروض لضغط عال (jetting) يخرج من اسفل لقمة الحفر (drilling bit) وترفع معه قطع الرتبة في الفراغ الحالجي بين اعدمه الحفر ومجوانب الحفرة . ويسدل على المعاصرات الطفقات بمقدار تقريرية من طريقة تقدم الحفر . ومن اياه الحفر وكذا يأخذ عينات من القطع المحفورة cuttings وفحصها بالنظر اثناء استمرار عملية الحفر .

ولكن يجب ان لا تعمد على هذه الطريقة بصورة كبيرة . دون الاستعانة بالعينات المستخرجة حيث ان هناك احتمالا كبير في اثناء عملية قطع الرتبة ورفعها الى اعلى انصباب المواد الماسعة (loss of fines) وكذلك انزال الجسيمات segregation of particles لذلك يكون الاعتداد الاكبر في فحص الرتبة وتميزها ثم تصنفيها على العينات المشتركة التي تؤخذ من الحفرة بين فترات واخري . وهكذا انواع عديدة من اجهزة الحفر وهي الشرشة التي تؤخذ من الحفرة بين فترات واخري . والشكل ١-٥ يبين احد اها

(drilling rigs)



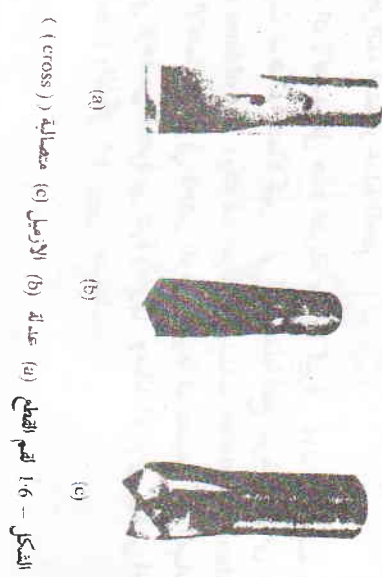
الشكل ١-٥ الحفر بالغسل



الشكل ١-٤ المقادير ذات الساق المحرفة

وَهُذِّلْتُ هَذَا أَنْوَاعَ عَدِيدَةً مِنْ لَقْمِ الْحَفْرِ (chopping bits) كَمَا مُبَيَّنُ فِي الشَّكْلِ ١٦، وَإِذَا كَانَتِ التَّرْيَةُ تَمَاسِكِيَّةً (cohesive) فَلَا جَاهِدَةُ إِلَى عَلَافِ الْحَفْرِ (casing) عَدَا الْجَزْءِ الْعُلُوِّيِّ مِنَ الْحَفْرِ حِيثُ يُسْتَعْمَلُ عَلَافٌ شَكْلَ حُرْفٍ (T) بِطُولِ مَقْطُعٍ وَاحِدٍ وَذَلِكَ لِسَهْلِ دُورَاتِ مَاءِ الْحَفْرِ وَتَشْبِيهُ الْحَفْرِ مِنْ أَعْلَى. إِمَّا إِذَا كَانَتِ التَّرْيَةُ غَيْرَ تَمَاسِكِيَّةً (cohesionless) كَالْمُرْمُلِ وَالْعَصْمِيِّ أَوْ إِذَا كَانَتِ طَبِيبًا ضَعِيفًا فَيُجِبُ استَعْمَالُ عَلَافٍ

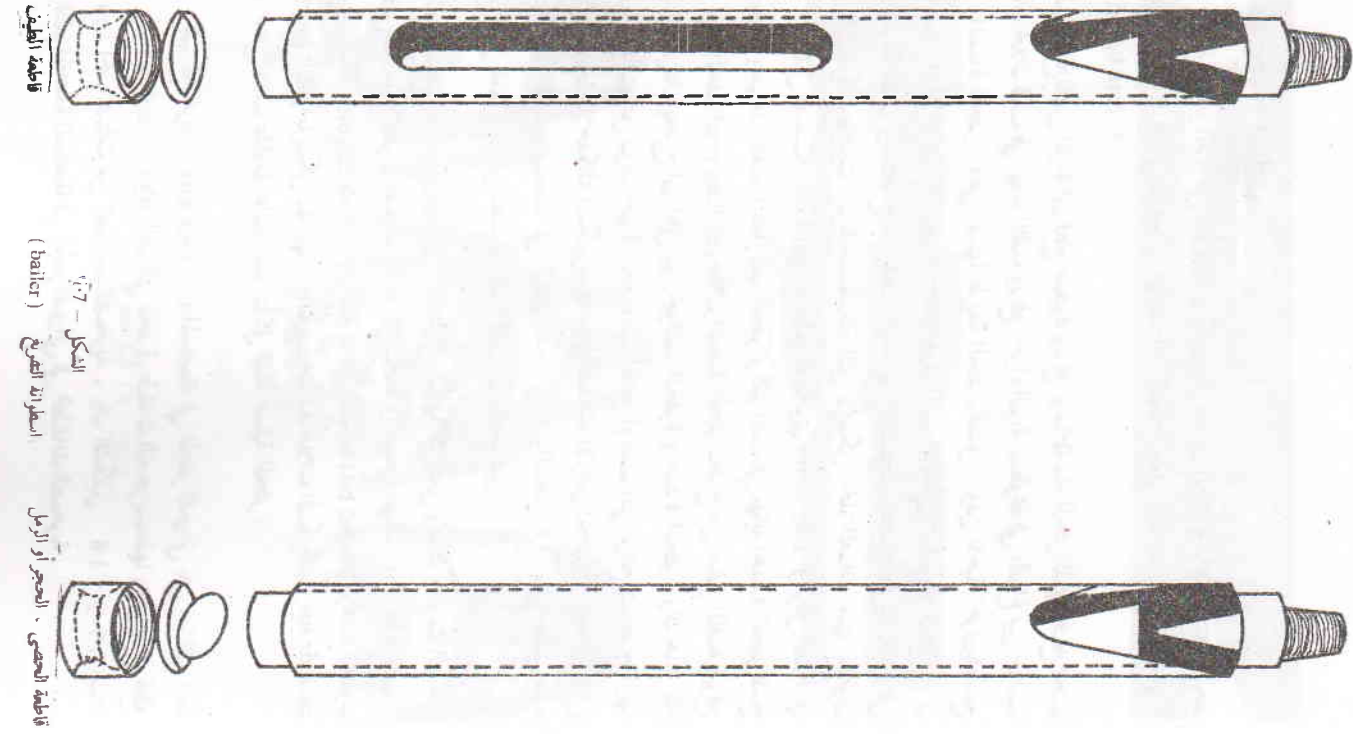
الْحَفْرِ فِي الْحَفْرِ بِكَامِلِهِ.



الشكل - ١٦ لَقْمُ الْحَفْرِ (a) عَدَلَةٌ (b) عَدَلَةٌ (c) مَصَالِبٌ (cross)

١.٥.٤ الْحَفْرُ بِالْعَطْرَقِ

ان الْحَفْرُ بِالْعَطْرَقِ (percussion drilling) يُسْعَمُ بِعُسْرَةٍ فَعَالَةً لِأَخْرَجِ طَبِيقَاتِ الْحَصْيِ وَالْطَّبِيقَاتِ الصَّخْرِيَّةِ الْقَرْيَةِ. وَتَكُونُ آلَةُ الْحَفْرِ مِنْ اسْطِعَانَةٍ ثَقِيلَةٍ نَسِيَّاً وَبِأَسْهَابِ الْحَفْرِ الْعُلُوِّيِّ اسْطِرَادَةِ الْعَطْرَقِ (bailer). انظُرُ الشَّكْلَ - ١٧. وَتَلْخُضُ عَمَلَيَّةُ الْحَفْرِ بِرُفعِ الْأَسْطِرَادَةِ إِلَى أَعْلَى ثُمَّ تَرْكُهَا لِتَسْقُطِ فِي قَعْدِ الْحَفْرِ بِثَاثِرِ وَرَنْزِهِ وَبَدِ الْتَّقْطُعِ الْأَرْبَيِّ أَوْ الْحَجْرِ أَوَ الْحَصْيِ وَتَقْبِيَّهَا إِلَى قَطْعٍ صَغِيرٍ تَخْتَاطُ مَعَ الْبَهَائِيِّ الْمُجْوَدَةِ فِي الْمَطْرَةِ أَوْ الْمَاءِ الْقَلِيلِ الْمُصَافِ إِلَى الْحَفْرِ مَكْوَبَةِ الرَّدَاعِ (slurry) أَوْ مَاءِيَّسِيِّ احْيَانًا بِالْبَطْرِيْرِ الْمَالِيِّ. حيث يُرْفعُ إِلَى أَعْلَى بَيْنِ فَرْقٍ وَآخِرِيِّ بِوَاسِطَةِ الْأَسْطِرَادَةِ الْمُجْهَزَةِ بِبَهَامِ (valve) لِسَائِلِ. حيث يَسْعَمُ سَقْرُطُ الرَّدَاعِ مِنْهَا ثَنَاءً رَفِقَهَا إِلَى أَعْلَى لِتَفْرِيَّهَا مِنْ موَادِ الْحَفْرِ. هَذِهِ لِسَعْمَالِهِ هُوَ مِنْ طَرِيقَةِ الْحَفْرِ بِالْعَطْرَقِ فِي أَيِّ نُوْعٍ مِنْ اِنْوَاعِ التَّرْبَ وَلَكِنْ الْمُؤْتَقِيُّ الرَّئِيْسِ



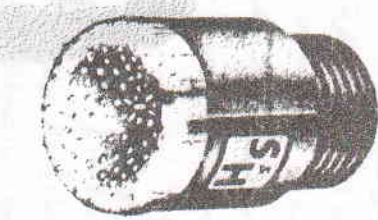
البُحْرَ الدُّورَانِي

في طريقة البُحْرَ الدُّورَانِي (rotary drilling) يجري البُحْرَ بوساطة أعمدة البُحْرِ في طريقة المواردة التي توجّد في نهايتها إما لقمة القطع (cutting bit) أو سُمُّطْرَة (drilling rods).

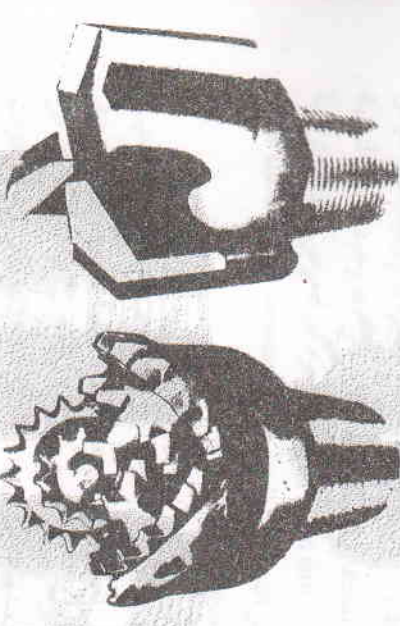
(a)



(b)



(c)



(d)

الشكل - ١.٨ قلم اقطع في البُحْرِ الدُّورَانِي

البُحْرِ (core barrel) وهي أجزاء تحت

وأن قلم القطع يقص البرية إلى قطع صغيرة وترفع بواسطة ماء البُحْر الذي يضخ تحت خط عالٍ حال تقبّب في نهاية القمة ويرفع إجراء التربة المطردة في الفراغ بين جوانب البُحْرِ. وهي نفسها طريقة البُحْرِ بالبُغْسِ. ومن ناحية أخرى يقطّع سُمُّطْرَة (drill bit) أو عمدة البُحْرِ (bit) في البُحْرِ الوسطي (slim) الذي يدخل استطاعة البُلْبِ وينتشرج إلى سطح البُحْرِ. وتستخدم هذه الطريقة عادة في البُطْفَاتِ الصخريَّةِ وبطْفَاتِ التربةِ الصخريَّةِ التي لا يمكن إخذ العينات منها بالطرف الأخرى : كالطين الصلب (hard clay) أو الطين الصخري stone clay أو الرمل الصخري sand stone وغيرها . فعندما تدار القلم المطرد حول البُلْبِ في نهاية أعمدة البُحْرِ يُغيثُ بالماء أو طين البُحْر (drilling mud) خلاً أعمدة البُحْرِ ليخرج من أسفل البُلْبِ ويزف مع التربة المطردة ويخرج إلى أعلى إجهزة البُحْرِ واقفم القطع أو البُلْبِ التي ترفع درجة حرارتها بعمل بنسس الوفت على تبريد الكيربيتها وبين طبقات الأرض المحفورة . وهناك أنواع ارتقاعاً كثيراً لاستهلاك الكيربيتها وبين طبقات الأرض المحفورة . والشكل ١.٨ يبين بعض هذه عديدة من القلم القطع المسعملة في البُحْرِ الدُّورَانِي . والشكل ١.٨ يبين بعض هذه الأنواع . وعلى العموم يمكن تصنيف هذه القلم إلى مجموعتين :

الأنواع . وعلى العموم يمكن تصنيف هذه القلم إلى مجموعتين :

- (أ) قلم السحب (drag bits) التي تتعذر في عملها على قص وقطط طبقات التربة . ولذلك فهي ملائمة لاختراق طبقات التربة الإعتمادية والصخور الهشة . ومن هذه القلم لقمة ذيل المسكة (fish tail bit) . والقمة ذات الصisel (bladed bit) وهذه الصisel carbide ins blades) إما ثانية وأما يمكن تبديلها . والقلم ذات مدخلات الكربونيد (carbide ins) وهي ذات مقاومة عالية ضد الشكل اثناء عملية البُحْر .
- (ب) قلم البُحْر (rock bits) المستعملة في البُحْرِ الدُّورَانِي هي إما قلم cutting bits (البُحْرِ) (اما القلم التي تخترق طبقات البُحْرِ بسحقها وشققها إلى قطع بسيطة دون أحد عينات من العينات الصخرية ، وإن الشكلين ١.٨ و ١.٩ يبيان تفاصيل القلم المختلفة المستعملة في البُحْرِ الدُّورَانِي في العينات الصخرية .

١.٦ تحريرات المياه الجوفية

ان لعمريات المياه الجوفية (

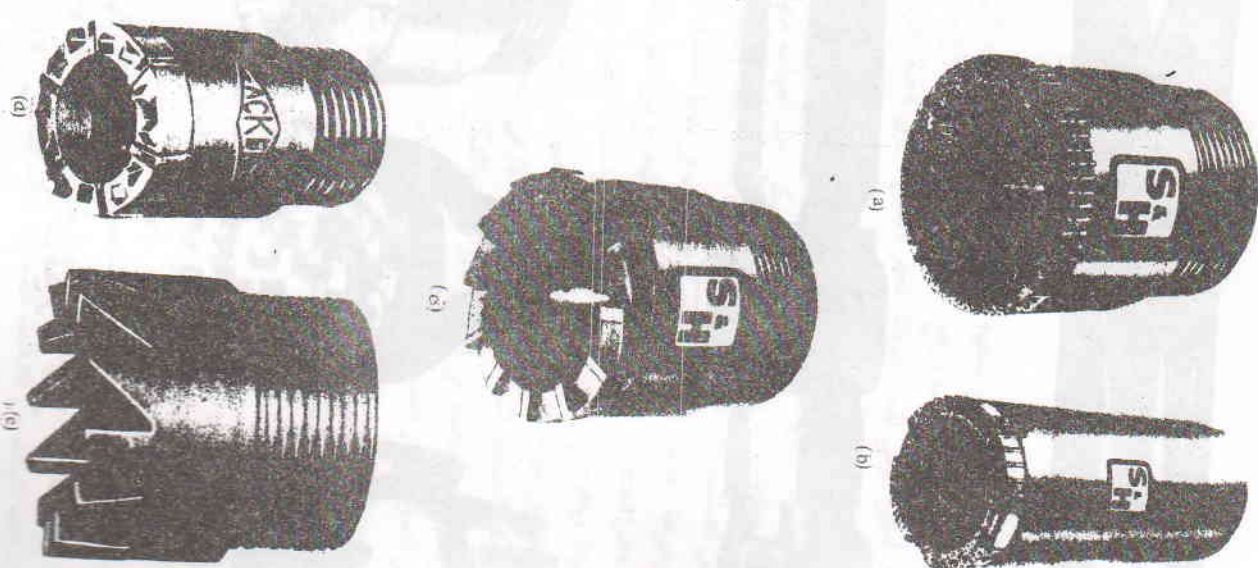
groundwater investigations

الأهداف الرئيسية الآتية :-

تعين منسوب المياه الجوفية وضخها وتبين نفاذية الرية وأخذ عينات من الماء للتحليلات الكيميائية. ولتحقيق الهدف الأول يقاس منسوب المياه الجوفية في الحفرة بعد مرور فتره زمنية كافية على انتهاء عملية التحفر وذلك للسع الحفري على مقدار الوصول إلى التوازن (equilibrium) . وأن الفترة الزمنية هذه توقف على مقدار نفاذية الرية وتتأسّب معها عكسياً ، أي أنه كلما زادت تفاصيذة الرية قلت الفترة الزمنية اللازمة للوصول إلى التوازن . وعلى العموم يجب مرور 24 ساعه على الأقل على انتهاء عملية الحفر قبل قياس منسوب المياه الأرضية . واللهم على معلومات صحبيحة عن منسوب المياه الجوفية يجب الاستمرار في قراءة المنسوب لفتره قطويه بعد انتهاء عملية الحفر ويتطلب المشروع في بعض الأحيان مراقبة التغيرات الفصلية الحاصلة في منسوب المياه

الجوفية ، ولتحقيق ذلك يجب حفر إبار الرقبة (observation wells) أو

أثناء وضع أجهزة ميز الضغط (piezometers) ، والأخريرة توفر وسيلة ممتازة لقياس ضغط الماء في طبقات الرية المختلفة . ولتحقيق الهدف الثاني وهو وجود تقاضي الرية موقعياً (in situ permeability) يمكن للجروء إلى فحوص تقاضي الرية موقعياً وذلك باستخدام فحص الشحنة الثابتة (constant head) أو فحص الشحنة المتغيرة (variable head).



الشكل - ١.٩ رقم قطع الباب

المياه المغوفة ومن ثم تؤمن عينات من المياه لفحصها مختبرياً . هنا وأن الصورى . المطلوبة هي :

- ١- تعين نسبة أملاح الكبريتات (sulphates)
- ٢- تعين نسبة الأملاح الكلية الدائمة (chlorides)
- ٣- تعين قيمة القاعدية أو الحامضية (pH . Value)

١.٧ طرائق أخذ العينات

يمكن تقسيم العينات حسب درجة التلوث الذي تعرضت له أثناء استخراجها من الأرض إلى :

- ١) عيّنات مشوّشة وهي العيّنات التي تحتوي على جميع مكونات التربة المقوية أو لوكها تعرضت للتلوث شديداً أثناء الحصول عليها بعث أثر على نتائجها
- ٢) strucuture () وتحتمل هذه العيّنات لفحص التمييز (identification)
- ٣) كالتصنيف الإصداري (grain size analysis) وحدود أثريّ (visual classification) وتحليل تدرج حجم الحبيبات (Atterberg limits)

وغيرها من الفحوص الكيميائية والفيزيائية .

- ٤) عيّنات غير مشوّشة : - من المعروف أنه لا يمكن الحصول على عيّنات غير مشوّشة تماماً . لأنه منها كانت الأحياطات والأدوات المساعدة لأخذ العيّنات فلابد من حصول درجة معينة من التلوث . والعيّنات غير المشوّشة هي تلك العيّنات التي تحافظ على بيتها الأصليّة موقعاً (in situ structure) . وستعمل هذه العيّنات في التلوث المختبرية للحصول على الخواص الهمدسيّة والترية كمقاومة الانضغاط والرافعة . وكذلك يمكن استعمالها لجمع الفحوص الأخرى التي تستعمل فيها العيّنات المشوّشة .

١.٧.١ تلوث العيّنات

هناك عدّة أنواع من التلوث الميكانيكي (mechanical disturbance)

- يطرأ على العيّنات أثناء استخراجها . وأهم هذه الأنواع هي :

- ١) التربة عند المأخذ (intake) متدة المدى غير محدود
 - ٢) التفاصيل في الاتجاهين الساقوفي والأفقي قافية أي K_h ثالثين
 - ٣) لإيداع تلوث انتفاخ أو الضغط في التربة أثناء عملية الفحص العقلاني . لاتحدث تربات في الجزء السامي أو ترب في الأنابيب والمرصبات .
 - ٤) لا يوجد هواء أو غازات في التربة أو الأنابيب .
 - ٥) تهمل ضياعات الشحنة (head) في الأنابيب والأنابيب .
- ويجدر الإشارة إلى أن فحوص الفقادية يمكن أن تجري بطريقة فحوص الفحص (pumice tests) وفي هذه الطريقة يُفتح الماء من بئر مع مرقبه الهرول وسي
- (منسوب الماء العجيظ بشبكة من القوائم (standpipes))
- وتحقيق الهدف الثالث وهو الحصول على عيّنات من الماء للتحليلات الكيميائية . من الضروري أن يُفتح الماء من المطرقة وتفرغ وبعده يترك الماء متسرب إلى المقدمة من

$$K_m = \sqrt{K_v \cdot K_h}$$

$m = \frac{m}{K_m} = \text{نسبة تحويل المقطع في التربة غير الموحدة الخواص (Anisotropic Soil)}$

حيث

$$m = \sqrt{\frac{K_h}{K_v}}$$

فرضيات

- ١) الشحنة السيرزوبيرية المغيرة في وقت $t_2 = t$ (cm)
- ٢) كمية الماء الجاربة (sec) / sec (cm³)
- ٣) الوقت (sec)
- ٤) $\bar{T} = \frac{t}{T} = \frac{\text{فرق الوقت}}{\text{نفادية التربة داخل الغلاف بالأتجاه الشاقولي}} = \frac{\text{cm/sec}}{\text{cm/sec}} = K_v$
- ٥) $K_h = \frac{\text{نفادية التربة بالأتجاه الشاقولي}}{\text{نفادية التربة بالأتجاه الأفقي}} = \frac{\text{cm/sec}}{\text{cm/sec}} = K_v$
- ٦) $K_m = K_h = \text{معدل نفادية التربة (cm/sec)}$

الداخلي للأنبوب أكثر بعض الشيء من القطر الداخلي لرأس القطع . ويسمى هذا بالفراغ الداخلي (inside clearance) . ويعبر عن نسبة الفراغ الداخلي بالعلاقة

$$C_i = \frac{D_s - D_2}{D_2} \times 100 \quad (1.2)$$

الإيسية :

$$\begin{aligned} \text{حيث أن : } \\ C_i &= \frac{\text{نسبة الفراغ الداخلي}}{\text{inside clearance ratio}} \\ D_s &= \text{القطر الداخلي لابواب المعبأة . } \\ D_2 &= \text{القطر الداخلي لرأس القطع . } \end{aligned} \quad (1.10(a))$$

وتجدر الإشارة إلى أن الفراغ الداخلي هنا يختلف حسب حجم العينات من الاختبار أو الانصاف على طول السطح الإسطراني الداخلي للمعبأة وبالتالي يقلل من التشوش . ولا يتحقق أن الزيادة في نسبة الفراغ هذه تؤدي إلى تأثير معاكس غير مرغوب فيه . وهو السماح للمعبأة بالانصداد . هذا وإن نسبة الفراغ الداخلي المسعممة في الحالات العملية تتراوح بين 0.3% و 4.0% .

طريقة سوق أخذة العينات داخل التربة

$$A_r = \frac{D_1^2 - D_2^2}{D_2^2} \times 100 \quad (1.1)$$

حيث أن :

$$\begin{aligned} A_r &= \frac{\text{نسبة المساحة}}{\text{الشكل}} \\ D_1 &= \text{القطر الداخلي لأخذة العينات} \\ D_2 &= \text{القطر الداخلي لابواب المعبأة . } \end{aligned} \quad (1.10(c))$$

1.7.2 آخذات العينات

يمكن تقسيم آخذات العينات (samplers) إلى مجموعتين رئيسيتين هما :

آخذات العينات ذات الجداء المنفي (thin - wall tube samplers) وتصير هذه الآخذات نسبة مساحة واطئة إلى متوسطة . وتقسم هذه المجموعة إلى نوعين :

- (1) المجموعة التي لا تتحجج على مكبس (non piston type samplers) وتشمل العينة مباشرة الشكل " 5" - 1 . إن هذا يعرض العينة إلى التشوش وبالتالي إلى العدام ملائقي .

تحجيف الأجهاد

إن انتزاع العينة من كتلة التربة المحاطة بها بغير الأجهادات التي كانت بالأصل مؤثرة عليها . إذ أن الأجهاد الشاقولي الكلبي والألفوني على العينة بالإضافة إلى مقداران مختلف ببعضهما عن بعض . ويعمد أن تتنزع العينة من كتلة التربة المحاطة بها بيلاشي الأجهادات الكلبيان الشاقولي والألفوني ويدوي وذلك إلى تساوي الأجهادات بين المؤثرتين عليها . وأن تحجيف الأجهاد (stress relief) هنا يؤثر على نسبة التربة وبسبب بعض التشوش للمعبأة .

نسبة المساحة

عندما تدفع أخذة العينات في التربة . فإن جزءاً من التربة يزاح لي puss المجال لسلك الأنابيب أو سلك آلة القطع للتخل في التربة . وأن هذا يؤدي إلى انفصال العينة . وبسبب بعض التشوش للعينة . وكلما كانت نسبة مساحة التربة الواحدة العينة وهي صغيرة يقل التشوش . هنا وإن نسبة المساحة (area ratio) لأخذة العينات هي :

$$A_r = \frac{D_1^2 - D_2^2}{D_2^2} \times 100 \quad (1.1)$$

حيث أن :

$$\begin{aligned} A_r &= \frac{\text{نسبة المساحة}}{\text{الشكل}} \\ D_1 &= \text{القطر الداخلي لأخذة العينات} \\ D_2 &= \text{القطر الداخلي لابواب المعبأة . } \end{aligned} \quad (1.10(a))$$

والحصول على عينة بدرججة واطئة من التشوش . يجب ان لا تزيد نسبة المساحة على 20% في التربة الطينية الفقيرة وعلى 10% في التربة الطينية الصifieفة .

تأثير الأختبار أو الانصاف

إذا كانت الأنابيب لأخذة العينات طولية بالنسبة لقطها فهن المختبر ان تصل قوى الإختبار أو قوى الانصاف بين العينة والجدران الداخلية للأنبوب مقداراً عالياً قد يؤدي إلى انخفاق في قوة التحمل (bearing capacity failure) للترابة تحت أخذة العينة مباشرة الشكل " 5" - 1 . إن هذا يعرض العينة إلى التشوش وبالتالي إلى العدام فائدتها بالنسبة لفحص التربة الميكانيكية . ولتحليل الأختبار أو الانصاف . يصنع القطر

- المحص بغير المبروز (undrained) اي انه لا يوجد تصرف اونريل للماء من التربة أثناء المحص

- ان مقاومة القص مستقرة في جميع الاتجاهات . اي انه تفرض ذات خواص isotropic موحدة ()

ان الغرم يقل بعد بلوغه الحد الاقصى . وهذا يعني ان مقاومة القص تقل بعد ان

تصل الى القمة (peak) نتيجة لحطام بنية التربة في الانفعالات (strains) العالية . ويمكن قياس مقاومة القص للعينات المسبيكة ذاتية remolded shear strength وذلك بتدوير الاذناس 12 دورة بسرعة . بعد بلوغ الغرم حدود الاقصى . وترك الجهاز لمدة خمس دقائق بعد انتهاء الدور السريع ثم يبدأ بالفحص كالتالي :

أن نسبة مقاومة القص الفصوى الى مقاومة القص للمعبات المسبيكة تابية لسمى بحساسية التربة (sensitivity)

المثال - اذا علمت ان قدر الاذراس 50 mm والارتفاع 100 mm وأن اكير عم في القص هو 11.8 N.m ، احسب مقدار مقاومة القص غير المبروز للطين .

$$\text{الحل : } C_u = \frac{11.8 \times 10^{-3}}{\Pi \times 0.05^2} \left(\frac{0.1}{2} + \frac{0.05}{5} \right)$$

$$= 25.6 \text{ KN / m}^2$$

1.11.2 فحص الانحراف القباسي

ان فحص الانحراف القباسي (Standard Penetration Test SPT)

اصبح فحصا معايراً عليه عاليا . وبمعنى السنين ، جمعت معلومات واسعة لإيجاد علاقات بين نتائج فحص الانحراف القباسي والخواص الهندسية للتربة ، خاصة بالنسبة للتربة الحصوية ، التي لا يمكن الحصول منها على عينات غير مشوشة إلا بصعوبة بالغة . ومن الجدير بالذكر أن مبدأ الفحص يعتمد على قياس مقاومة التربة لأنحراف اسطرلة أحذية المعبات ذات الأبعاد القابسية محددة عند طرقها بمطرقة قباسية الوزن وتترن مسافة قباسية انتها .

ان ابعاد الاسطوانة القابسية المقابلة طوليا (split spoon sampler) هي :-
القطر الخارجي 50 mm . القطر الداخلي 35 mm الطول الكلى 685 mm . طول الجزء

وأجزاء فحص الاختراق القياسي ، يستمر الحفر إلى المعمق المطلوب وتنظر الحفرة جيدا ، ثم ترفع للنهر ويستبدل بها اسطوانة الاختراق القياسي وتنزل في الحفرة

واذا كانت الحفرة مغلقة (cased) فيجب التأكد من ان الملافل (casing) لا يتدلى الى عمق أكثر من عمق قاع الحفرة . واذا كان الفحص تحت مستوى الماء الجوفى فيجب ان يكون مستوى الماء في الحفرة بمستوى المياه الجوفية بعد اجراء الفحص .

التفصيل 457 mm وثبتت في الغرفة الاسفل من أحددة العينات آلة السوق (drive shoe) التي تنسج من الفولاذ المصلب . بواسطة مسن خاص ، وثبتت في أعلى أحددة العينات (coupling) فارزة (coupling) خاصة لربطها الى العمدة الحفر . انظر الشكل 1-18 .

عند بدء الفحص ، تؤثر ثالثة مسافات على عمود الحفر فوق مستوى الأرض العلية كل منها 150 mm ويدأ برفع المطرقة التي وزنها 63.5Kg وتركتها تنزل نزولا حرا وتأقابلا مسافة 760 mm كل طرفة . وسجل عدد الضربات الالازمة لسرقة الاسطوانة في التربة كل من المسافات الثلاث المنشورة على عمود الحفر . وبهمل عدده الضربات المسجل لأول 150 mm وسجل مجموع الضربات للمسافتين الاخرين (اي اخر 300mm من الاختراق) وسمى قيمة الاختراق القياسي (قيمه - N)

واذا لم يخترق الاسطوانة مسافة 300 mm الاخير بمحض صرارة . فيرفق الدق وسجل مسافة الاختراق للخمسين ضربة . وعندما يتنهى الفحص ترفع أخذدة العينات من الحفرة وفتح لأحد العينتين منها ووضعها في قبة محكمة السد . إن العينة المذكورة مستكون على درجة عالية من التشوش وستعمل للفحوص تصنيف التربة وغيرها من الفحوص التي لا تتأثر بالتشوش .

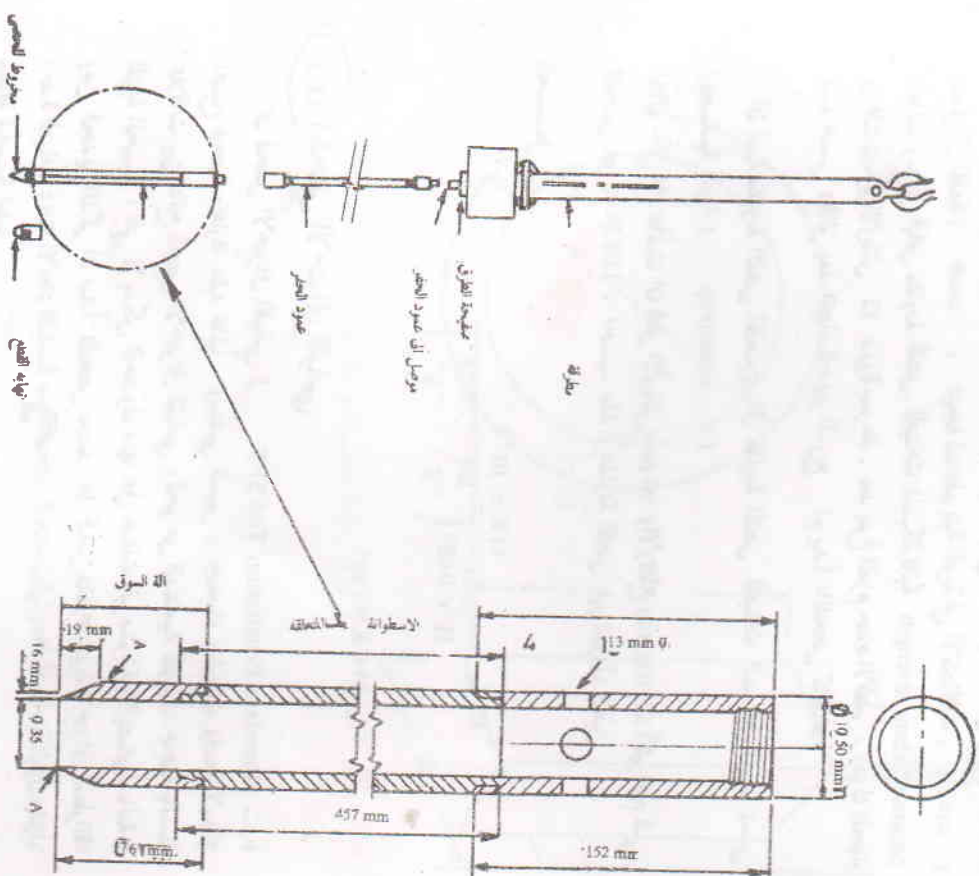
وفي حالة وجود طبقات من الحصى فيجب التعريض عن استعماله الاختراق القياسي بمشرط قواذى صلبه ذو زاوية 60° . ويجري الفحص بنفس الطريقة السابقة . وفي هذه الحالة لا يمكن الحصول على عينة من التربة . وسيتم فحص الاختراق القياسي في بعض الاحيان بفحص الاختراق الدياميكي (dynamic penetration test) وبعمل الفحص عادة كل 15 mm تقريرا .

واذا كانت التربة متكونة من رمل ناعم أو رمل خرافي تحت مستوى المياه الجوفية وكانت قيمة N تزيد عن 15 ضرورة فيجب تصفيتها بموجب المعادلة الآتية :-

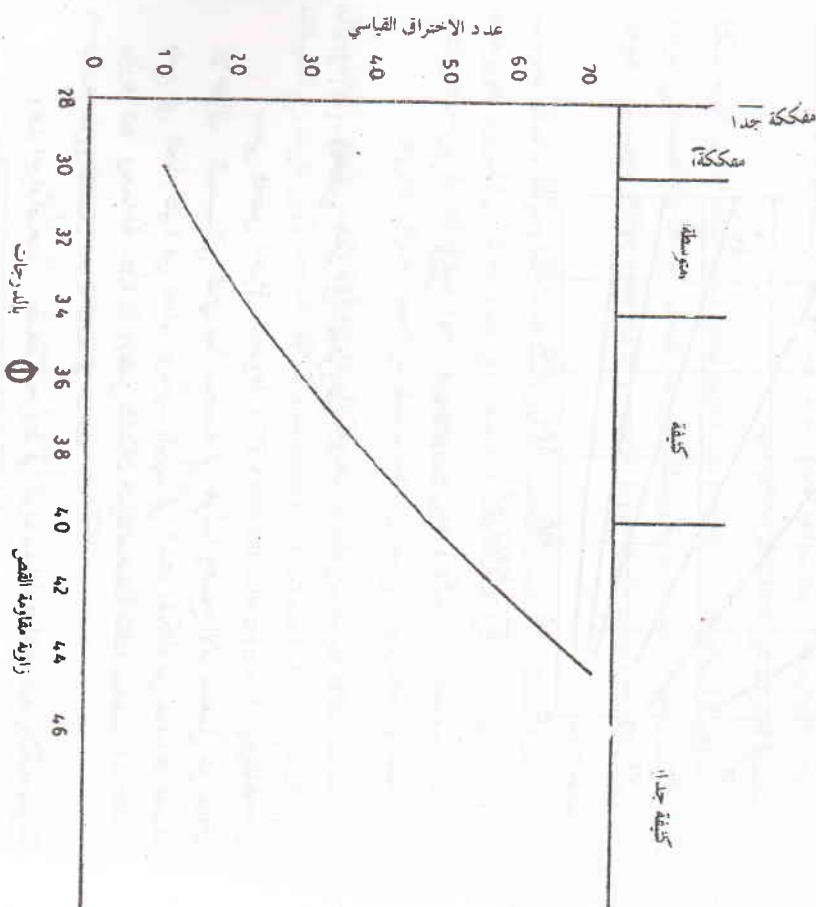
$$N_e = 15 + 0.5(N_m - 15) \quad (1.6)$$

حيث أن :

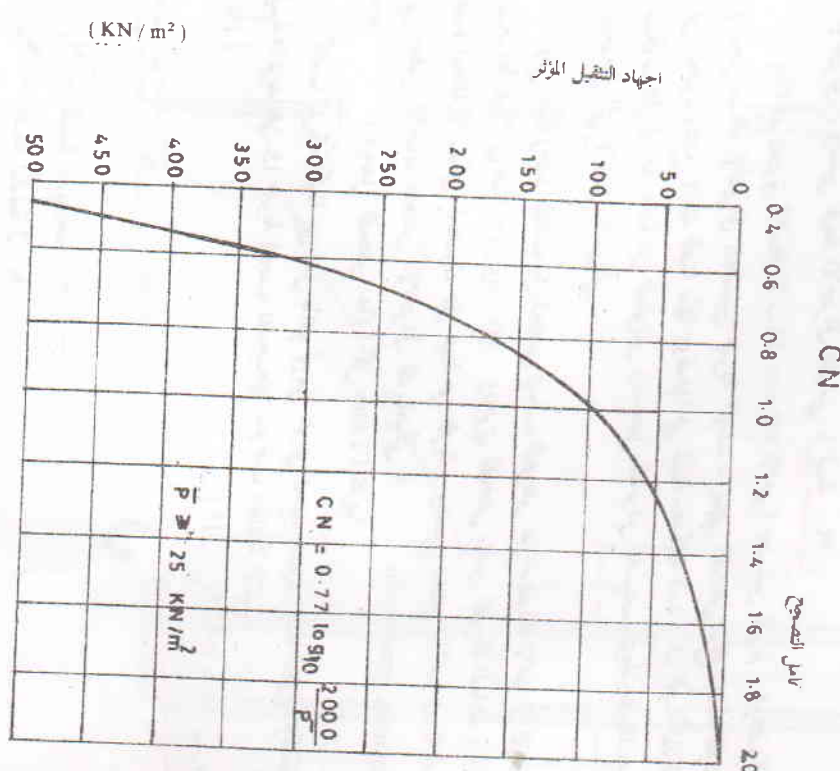
$$\begin{aligned} N_c &= \text{القيمة المصمحة لـ } N \\ N_m &= \text{القيمة المقبضة لـ } N \end{aligned}$$



أو ملاً غرباً تحت مستوى الماء الجوفية . كما أنهم تمكنا من إرساء علاقه يمول عليها وعقوله بين قيمة N وبغض خواص التربة . وبين الشكل - 1-20 العلاقه بين N σ النسبيه وزاوية مقاومة القص .



الشكل 1-20 العلاقة بين قيمة N والكافاف النسبيه زاوية مقاومة القص
ومن المفيد أن نذكر أن شميرمان قد حصل على علاقة وضعية اخترى بين عدد الفريات N وزاوية مقاومة القص ϕ وضغط التثليل المؤثر وكما مبين في الشكل - 1-21



التحقيق يجري اضافة الى التصحیح الاراد في المعادله 1-6 اذا كانت التربة رملانا عما من الشکل - 1-19 لكل قيمة من اجهاد التثليل المؤثر . وتعذر الاشارة الى هذا عمليا هو الاسلام الذي اقر جه يك ، وهانسون ودورنر .
حيث يجري تصحیح قيمة N بضربيها بعامل معین يوحذ C_N .
وقد اصبح معروفاً أن مقاومة التربة للاختراق تكس كلار من الكافاف النسبيه وفعلاً
واجهاد التثليل المؤثر . (في العمق الذي يجري فيه الشخص . لذلك فإن هناك عدداً غير محدود من اتجاهات قيم اجهاد التثليل فيمة N والأخذ ب النظر الاختلافات التي تؤثر علىها . وأعلم هذه الاساليب المستعملة فيهم C_N .
Thornburn (1974)
من الشکل - 1-19 كل قيمة من اجهاد التثليل المؤثر . وتعذر الاشارة الى هذا
التحقيق يجري اضافة الى التصحیح الاراد في المعادله 1-6 اذا كانت التربة رملانا عما

هذا ولقد طرط المخروط البليكانكي المذكور آنفًا بوضع مقاييس الانفعال strain gages

بعجت اصحاب من المكين قياس مقاومة المخروط ومقاومة الاختراك كل على انفراط بصورة مستمرة مع العمق . واصبح الجهاز مسمولاً على سبارة شحن وسجل المعلومات مباشرة بواسطة جهاز رسم chart recorder) او على شريط متغير punched tape) بعجت تأثير المعلومات من هذا الشريط بواسطة الحاسبة computer

لتحليلها والتعرف على طبقات التربة وجزاصها .

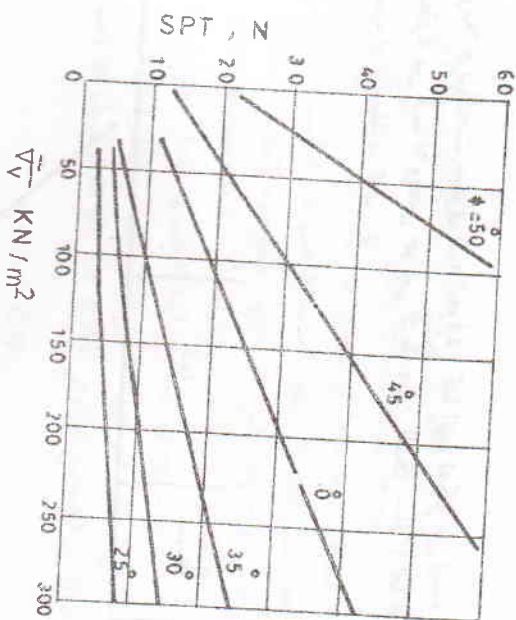
وفي الوقت الحاضر (1981) يطور الجهاز لجعلقياس ضغط الماء في التربة ممكناً وكذلك لإخذ عينات من التربة وستفاد من هذا الفحص من الناحية العملية في الرببة الجوية لحساب تحمل التربة وقيمة الاسس وكذلك تحمل الأكائز والحساب هبوط مجموع عاليها .

هذا اضافه الى استعمال الفحص المذكور وسيلة فعالة جداً وسريعة لاعمال تحريات التربة وفهم فـ الامكن الصعبه بصوره خاصة . وفي هذه الحالة من الضروري تغير هذه التجاريات بتحريات اعياديه يعمل حفر مودوده لوجود العلاقة الازيز بين خواص التربة المقسيه في المختبر وبين التي يمكن الحصول عليها من فحص اختراق المخروط . وهنالك علاقة تقربيه بين مقاومة المخروط الاهلي وقيمه N لـ فحص الاختراق القياسي يبيهها في الجدول 1.4 وتحتمله العلاقه بالدرجة الاولى على تدرج العينات

الجدول 1.4

الملاقة بين مقاومة المخروط الاهلي وقيمة N

| نوع التربة | مقاومة المخروط KN / m ² |
|--------------------|------------------------------------|
| غمرسن | N |
| رمل ناعم إلى متوسط | 200 – 300 |
| رميل خشن | 300 – 500 |
| حصى ناعم إلى متوسط | 500 – 1000 |
| | 800 – 1800 |



الشكل 1.21 العلاقة الوصيه بين N و σ_v

فحص اختراق المخروط

اجنابايف

يعنى فحص اختراق المخروط (Cone penetration test CPT) على نطاق

الاختراق السادساني الذي بدأ استعماله في هولندا واصبح الان يستعمل على نطاق

واسع في اجزاء كثيرة من العالم . ويكون الجهاز في ابسط شكله من مخروط صلب (sleeve)

بزاوية 60° ومساحة 10 Cm² ويصل بقبيان حديديه صلبة مغلقه بمغلف (cone end)

يسمح بعمود القبيان بغيره كاملاً في داخله .

وعند اجراء الفحص . يضغط المخروط في التربة بوساطة ضاغطة هيدروليكيه بسرعة 1.5 – 2.0 cm/sec

ويساف المخروط فقط مسافة 80 mm في التربة ويسجل معدل الفحص اللازم لسوق المخروط مقاييس (الضغط وبعد هذه المسافة يثبت

المخروط ببكرة ويساف الملف فقط مسافة 80 mm بعد ذلك يساف الملف والمخروط معاً . ومن هذه العملية وكل مسافة 120 mm . ويسجل معدل الفحص اللازم لسوقهما معاً . ومن هذه العملية وكل مسافة 200 mm من الاختراق يمكن معرفة مقاومة الاختراق للمخروط (cone end sleeve skin resistance) وكذلك يمكن معرفة مقاومة الاختراك للمغلف (sleeve skin resistance)

() وتكرر هذه العملية كل 200 mm بعجت يمكن رسم علاقه مقاومة المخروط و مقاومة الاختراك friction resistance

) . عند أجزاء فحص تحمل الصفيحة وتحليل نتائجه يجرب **settlement**

أخذ العامل الآية بضرر الأعبار :

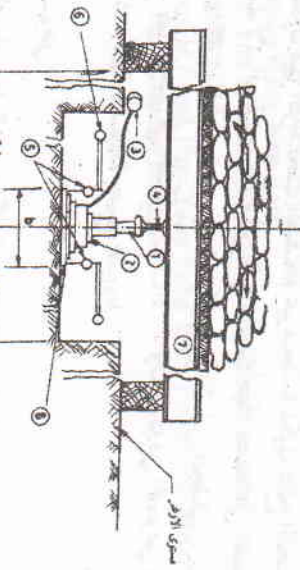
plate loading test

ان فحص تحمل الصفيحة () يزودنا بطريقة لتجربين

قابلية التحمل للأسس وقوط المشات على التربة التي لا يمكن فحصها في المختبر . او

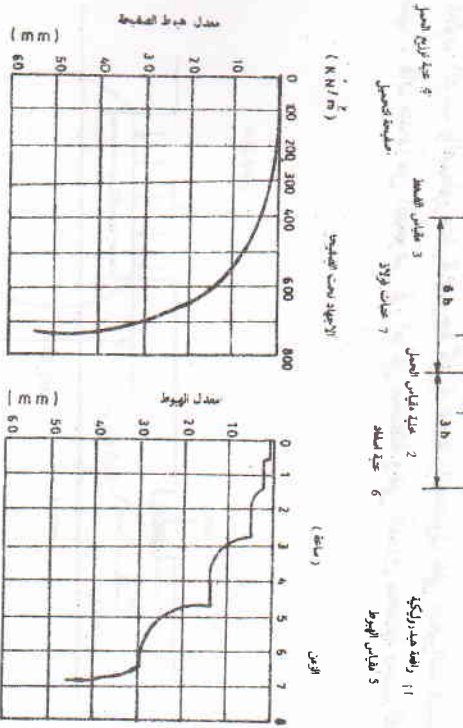
أجزاء الفحوص المزعنة الذاكر فيها . ويسعى فحص تحمل الصفيحة في الحالات

الآية على سبيل المثال الآلآت : -



النوع

(a)



(a) نتائج العمل

(b)

(c)

(d)

(e)

(f)

(g)

(h)

(i)

(j)

(k)

(l)

(m)

(n)

(o)

(p)

(q)

(r)

(s)

(t)

(u)

(v)

(w)

(x)

(y)

(z)

(aa)

(bb)

(cc)

(dd)

(ee)

(ff)

(gg)

(hh)

(ii)

(jj)

(kk)

(ll)

(mm)

(nn)

(oo)

(pp)

(qq)

(rr)

(ss)

(tt)

(uu)

(vv)

(ww)

(xx)

(yy)

(zz)

(aa)

(bb)

(cc)

(dd)

(ee)

(ff)

(gg)

(hh)

(ii)

(jj)

(kk)

(ll)

(mm)

(nn)

(oo)

(pp)

(qq)

(rr)

(ss)

(tt)

(uu)

(vv)

(ww)

(xx)

(yy)

(zz)

(aa)

(bb)

(cc)

(dd)

(ee)

(ff)

(gg)

(hh)

(ii)

(jj)

(kk)

(ll)

(mm)

(nn)

(oo)

(pp)

(qq)

(rr)

(ss)

(tt)

(uu)

(vv)

(ww)

(xx)

(yy)

(zz)

(aa)

(bb)

(cc)

(dd)

(ee)

(ff)

(gg)

(hh)

(ii)

(jj)

(kk)

(ll)

(mm)

(nn)

(oo)

(pp)

(qq)

(rr)

(ss)

(tt)

(uu)

(vv)

(ww)

(xx)

(yy)

(zz)

(aa)

(bb)

(cc)

(dd)

(ee)

(ff)

(gg)

(hh)

(ii)

(jj)

(kk)

(ll)

(mm)

(nn)

(oo)

(pp)

(qq)

(rr)

(ss)

(tt)

(uu)

(vv)

(ww)

(xx)

(yy)

(zz)

(aa)

(bb)

(cc)

(dd)

(ee)

(ff)

(gg)

(hh)

(ii)

(jj)

(kk)

(ll)

(mm)

(nn)

(oo)

(pp)

(qq)

(rr)

(ss)

(tt)

(uu)

(vv)

(ww)

(xx)

(yy)

(zz)

(aa)

(bb)

(cc)

(dd)

(ee)

(ff)

(gg)

(hh)

(ii)

(jj)

(kk)

(ll)

(mm)

(nn)

(oo)

(pp)

(qq)

(rr)

(ss)

(tt)

(uu)

(vv)

(ww)

(xx)

(yy)

(zz)

(aa)

(bb)

(cc)

(dd)

(ee)

(ff)

(gg)

(hh)

(ii)

(jj)

(kk)

(ll)

(mm)

(nn)

(oo)

(pp)

(qq)

(rr)

(ss)

(tt)

(uu)

(vv)

(ww)

(xx)

(yy)

(zz)

(aa)

(bb)

(cc)

(dd)

(ee)

(ff)

(gg)

(hh)

(ii)

(jj)

(kk)

(ll)

(mm)

(nn)

(oo)

(pp)

(qq)

(rr)

(ss)

(tt)

(uu)

(vv)

(ww)

(xx)

(yy)

(zz)

(aa)

(bb)

(cc)

(dd)

(ee)

(ff)

(gg)

(hh)

(ii)

(jj)

(kk)

(ll)

(mm)

(nn)

(oo)

(pp)

(qq)

(rr)

(ss)

(tt)

(uu)

(vv)

(ww)

(xx)

(yy)

(zz)

(aa)

(bb)

(cc)

(dd)

(ee)

(ff)

(gg)

(hh)

(ii)

(jj)

(kk)

(ll)

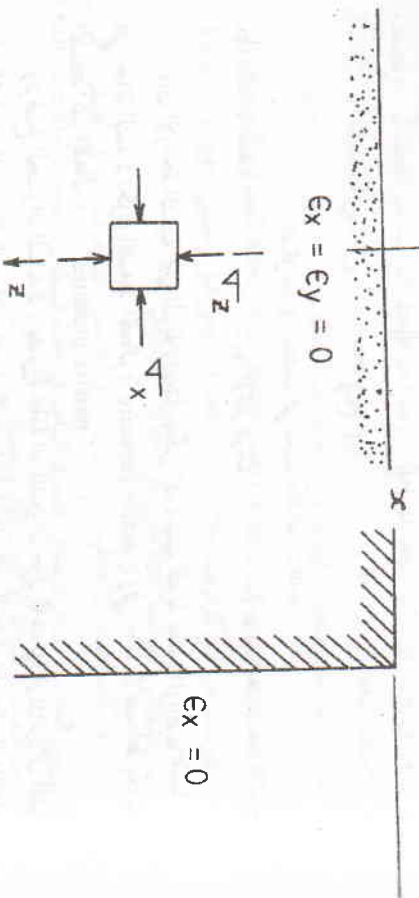
الفصل السادس

ضغط التربة الجانبي

2.1 مقدمة :-

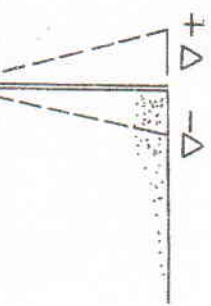
أن ضغط التربة (earth pressure) هو الضغط الجانبي المولى من التربة على المشتات الهندسية والمؤثر على سطح المحاط بالكتلة تراويمه . وان مقداره يعين من الخواص الفيزيائية للتربة . ، انفعال الغزيري بين التربة والمشتا والقيمة والطاقة (deformation) وللاراحة النسبية والمطلقة .

ان مسائل ضغط التربة الجانبي يمكن ان تصنف الى صنفين . الصنف الاول هو تلك الحالة لكتلة التربة في وضع السكوزن (at rest) حيث لا يحدث تشوه او ارهاق . ولو ان هذه الحالة تتحقق بدقة فقط في وضع السكوزن انقضاء نصف غير محدود . فانها يجب ان تؤخذ في الحساب بعض المسائل التطبيقية مثل المشتات التقليدية في حالة السكوزن . الشكل - 2:1

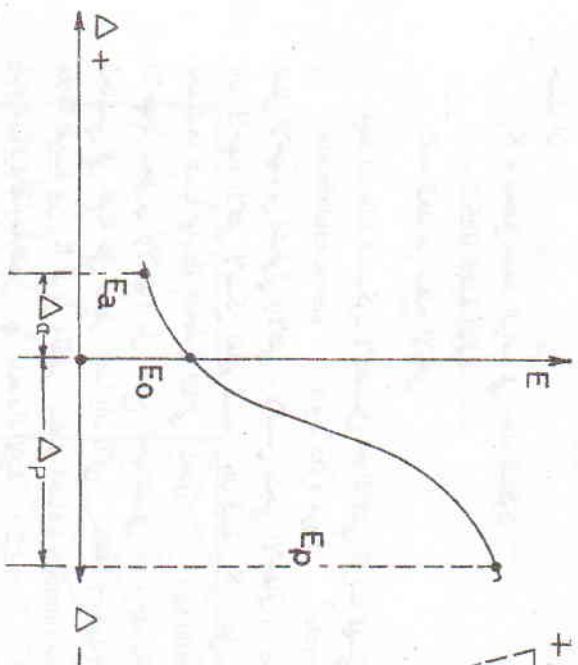


الشكل ٢.١.٢ ضغط التربة الجانبي في حالة السكوزن

اما في مسائل الصنف الثاني ، فإن القوى الجاذبة لكتلة التراب تتعين في حالة المروان الدين (plastic equilibrium) . وإن هنا المصطلح يتضمن مسائل الجدران المساعدة . والركائز اللوحية . ودعم جوانب الحفر بالألواح الخشبية او المعديدية . الشكل

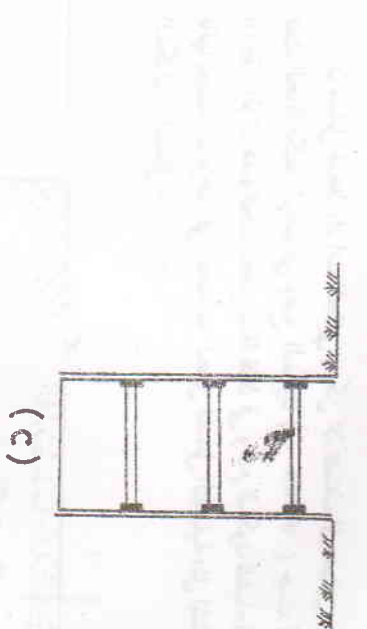


2.2



الشكل 2.3 علاقه ضغط التراب بقدار ازياجه حركة الجدار

فهي حالة انعدام الحركة للجدار تكون حالة السكون هي السائدة . وفي حالة الدوران الى الخارج يقل الضغط وتتعدد ترب الردم واخيراً يحدث الاختناق . والقدرة الماء هي ضغط التربas الفعال . وهي القوة الصغرى المختلطة التي تأثير على الجدار . ولذا دفع الجدار ضد ترب الردم بحيث يدور في الاتجاه الآخر فان القوة في حالة الاختناق تصل الى اكبر ضغط للتربas . وهذا هو ضغط الترب غير الفعال ويتجدد ملاحظة ان مقدار الا زاحة (Δ) في أعلى الجدار . التي تكفي للوصول الى الاختناق هي اصغر بكثير للمحالة الفعالة من المحالة غير الفعالة ($\Delta_a < \Delta_p$) .



الشكل 2.2 المنشآت التي تسبب حالة الوزار الدين :

(a) الجدران المساعدة (b) الراكائز اللوحية (c) بوراب الحفر المدعدة بالألومنيوم

(c)

(b)

(a)

أن حالة الوزار الدين للرية ومقدار الضغط المتاخر لمحالة التمدد والانضغاط للترية قد درست من قبل كولومب (Coulomb 1776) ومن قبل رانكين (Rankine 1857)

2.2 ضغط الترب الجانبي في حالة السكون

إذا كان مقدار الانفعال (strain) الجانبي للترية مساوباً إلى الصفر . فإن الضغط الجانبي المنظر له يدعى بضغط الترب في حالة السكون (earth pressure at rest) بصورة عامة اما الجدران حول قاعدهتها او لازلاق أقفيها وترسيخ الجدران المساعدة . تتحمّل الترب عادة بخلاف المؤثر بالعمادة وعبر عنده عادة بدلالة الأجهاد المؤثرة على ظهر الجدار على مقدار ازياجه

$$\sigma_{ab} = K_c Z \quad (2.1)$$

وان الا زاحة الرئيسية بين الرية والمشتا يمكن ان تسبب للترية تمدد اوضيقها طبقاً لـ (active pressure) . وفي حالة الانضغاط يكون الضغط غير الفعال (passive pressure) .

فهي حالة التمدد يكون الضغط الفعال (active pressure) . وفي حالة الانضغاط يكون الضغط غير الفعال (passive pressure) .

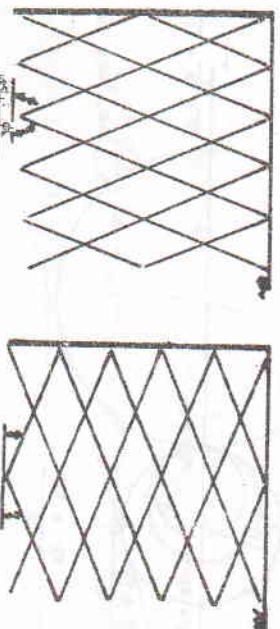
وترسيخ الجدران المساعدة . بصورة عامة اما الجدران حول قاعدهتها او لازلاق أقفيها على الأرض . فهي حالة الدوران . تتحمّل الترب المؤثرة على ظهر الجدار على مقدار ازياجه

حيث أن : $K_o = \text{معامل ضغط الترباب في حالة السكك}$
 $\gamma = \text{الكتافة الكلية المؤثرة}$

$Z = \text{البعد عن سطح الأرض}$

وإذاً أن حالة السكك لأنفسهن انخفاً في التربة فهي تمثل التوازن المترن

(elastic equilibrium) وإن دائرة مور (Mohr circle)



الشكل 2.4 حاله رانكين ل溷ط التربه الصلب وهر الحاله

أ - حالة رانكين العادي

يمكن تمثيل حالة الإجهادات التي تؤثر على عصur التربة على عمق Z بتأثيره مور رقم 1 في الشكل 2.5 وهذه الدائرة تمثل حالة التوازن المترن (equilibrium) للعصur في حالة السكك . فإذا تم حركة العبار إلى الخارج فليلاً ، فإن التربة خلف العبار تهدأ بالاتجاه الأفقي . وبهذا لذلك تقل قيمة الإجهاد الأفقي σ_x ويمكن تمثيل هذه الحالة من الإجهاد بدائرة مور رقم 2 فإذا استمرت حركة العبار إلى الخارج فسوف يرافقها استمرار تمدد التربة واستمرار تضخم قيمه σ_x إلى أن تنسد دائرة مور منعني الاختناق . عند ذلك تصل حالة الإجهاد إلى حالة التوازن اللدن (plastic equilibrium).

أن قيمة الإجهاد الأفقي في هذه الحالة هي القيمه الصغرى التي يمكن الوصول إليها كما هو ممثل في دائرة مور رقم 3 . هذان وأن الإجهاد الشاقولي σ_z المساوى إلى الإجهاد

السطح الأفقي للتربيه (semi-infinite soil surface) مع سطح افقي له تأمل كتلة زراعية نصف غير محدودة (semi-infinite soil surface) . وكما تعلم شاقولي يمكن من جدار سطحيه املاس منتدى إلى عمق نصف غير محدود . وكلما هو ممثل في الشكل 2-4 يفترض كون التربة متباينة (homogeneous) isotropic (موحدة الخواص) . وأن عصur التربة على اي عمق Z معرض إلى الإجهاد الشاقولي Z . وأجهاد افقي Z . $K_o = Z^{\frac{1}{2}}$. وبهذا إن سطح التربة افقي فان الإجهادين الشاقولي والافقي هما إجهادان رئيسيان (principal stresses).

ويعاً أن

$$\frac{1 - \sin \phi}{1 + \sin \phi} = \tan^2(45^\circ - \frac{\phi}{2})$$

وان $\sigma_2 = \gamma Z$ هو ضغط التثبيل على العمق Z ، أي أن

$$\sigma_2 = \gamma Z$$

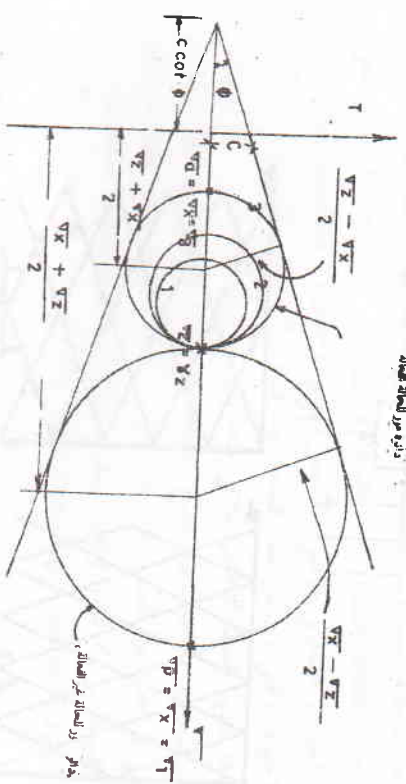
فإن الإجهاد الأفقي للحالة العامة يُعرف بالضغط الفعال (active pressure) ويزمر له بالرمز σ_a . وإن وجوده ناشئ عن وزن التربة نفسها . فإذا عرف

$$K_o = \tan^2(45^\circ - \frac{\phi}{2}) = \frac{1 - \sin \phi}{1 + \sin \phi}$$

بمعامل الضغط الفعال . فإن المعادلة (2.4) يمكن كتابتها بالشكل الآتي :

$$\sigma_a = \gamma Z K_o - 2C \sqrt{K_o} \quad \dots (2.5)$$

وحيث يُصبح الإجهاد الأفقي مساوياً للضغط الفعال يقال عن التربة أنها في حالة راكين الفعالة (active Rankine state) وهناك توجد مجسمون مثلها تُسمى بـ "الدوائر" . وهذا كل مجسم يمثل عن الواقع بزاوية مقدارها $(\phi/2 + 45^\circ)$ (ميل المستوي الرئيس الأكبر) وكما مبين في الشكل - 2.4 b



الشكل - 2.5 كالتالي :

- حالة راكين غير الفعال

هذا وأن حركة الجدار عن التربة في الاشتغال أعلاه اعتبرت إلى الخارج . ومن الجهة الأخرى . إذا تحرك الجدار نحو التربة فسيحدث انضغاط جانبي للتربة وستزداد قيمة σ_x حتى تصل إلى حالة التوازن اللدن . وللهذه الحالة . فإن σ_x يُصبح القيمية المطلوبة وهو الإجهاد الرئيس الأكبر σ_1 . وإن الإجهاد σ_2 يُسألي ضغط التثبيل وهو لذلك الإجهاد الرئيس الأصغر .

أي أن

$$\sigma_2 = \sigma_3 = \gamma Z$$

وأن قيمة σ_1 المطلوب تصل حتى تصل دائرة مسورة . الممثلة لمحصلة في التربة قيمة σ_3 فيها تالية . وتسمى الانضغاط . وفي هذه الحالة . فإن الإجهاد الأفقي يعرف بالضغط

$$\sigma_x = \sigma_z \left(\frac{1 - \sin \phi}{1 + \sin \phi} \right) - 2C \sqrt{\frac{1 - \sin^2 \phi}{1 + \sin \phi}} \quad \dots (2.4)$$

$$E_a = \int_{Z_0}^H \sigma_a dZ$$

$$= \frac{1}{2} (H^2 - Z_0^2) K_a - 2C(H - Z_0) \sqrt{K_a}$$

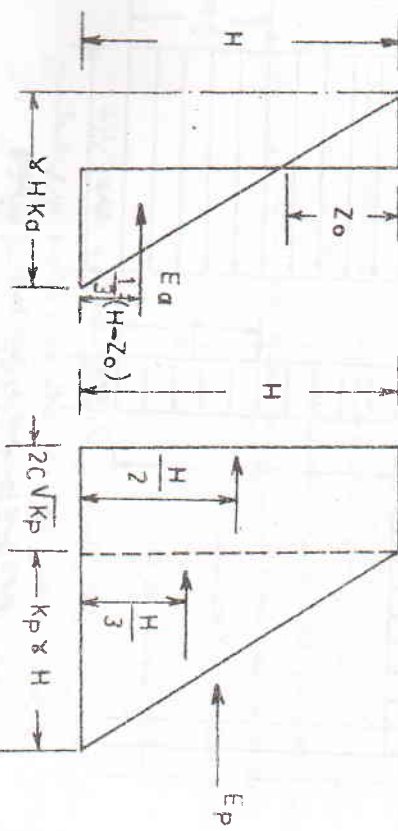
$$= \frac{1}{2} \gamma (H - Z_0)^2 K_a + 2C \sqrt{\left(\frac{1 + \sin \phi}{1 - \sin \phi} \right)} \dots \quad (2.6)$$

$$= \frac{1}{2} \gamma (H - Z_0)^2 K_a \dots \quad (2.9)$$

$$\sigma_x = \sigma_z \left(\frac{1 + \sin \phi}{1 - \sin \phi} \right) + 2C \sqrt{\left(\frac{1 + \sin \phi}{1 - \sin \phi} \right)} \quad \text{وإذا}$$

$$K_p = \tan^2 \left(45 + \frac{\phi}{2} \right) = \frac{1 + \sin \phi}{1 - \sin \phi} \quad (2.7)$$

$$\sigma_p = \gamma Z K_p + 2C \sqrt{K_p} \quad \text{عرف بمعامل الضغط غير الفعال . فان الماده . يمكن كتابتها بالشكل الآتي :}$$



(a) (b)

شكل 2.6. ضغط الراس الجانبي
(أ) الحالة الفعالة (ب) الحالة غير الفعالة

وهذا يعني ان الحالة الفعالة للترية هي في حالة شد بين سطح الأرض والعمق Z_0 . ومن الاجية العملية . على كل حال ، لا يعتمد على هذا الشد كمؤثر على البعد Z_0 . حيث ان المستويات تتشتت ضمن منطقة الشد وان جزءاً من الرسم البياني لوزع الضغط الفعال

Z_0 يجب ان يهمل

هذا وان قوة الضغط غير الفعال تدعى بالتأثير غير الفعال E_p . وليجدر شائقلي

يزادة حقيقة مع العمق وكما بين في الشكل 2.6

يتحقق من المادتين (2.5) . (2.7) ان الصيغتين الفعال وغير الفعال يزدادان

وحين يكون التسلك C اكبر من الصفر فان قيمة الضغط الفعال تساوي صفر اعلى

عمق Z_0 . ومن المادلة 2.5 و 0 = $\sigma_0 = \sigma_p = 2C \sqrt{K_p}$... (2.8)

ان قوة الدفع E_p تؤثر على مسافة $(H - Z_0)$ $\frac{1}{3}$ فوق مستوى قاعدة البعدار .

هذا وان قوة الضغط غير الفعال تدعى بالتأثير غير الفعال E_p . وليجدر شائقلي

$$E_p = \int_{Z_0}^H \sigma_p dZ$$

$$= \frac{1}{2} \gamma (H^2 - Z_0^2) K_p + 2C H \sqrt{K_p} \dots \quad (2.10)$$

غير الفعال (passive pressure) ويتحدد له الرمز σ الممثل لفراودة المترسبة للاضطراب الجانبي . ويمكن إعادة كتابة المعادلة 2.4 بالشكل الآتي :

.....

passive pressure
غير الفعال

تمثيل بقوة الضغط الفعال E_p . ولسطوح البعدار الشاقولي بارتفاع H

الفصل الرابع

قابلية تحمل التربة

4.1 متطلبات التصميم للأسس

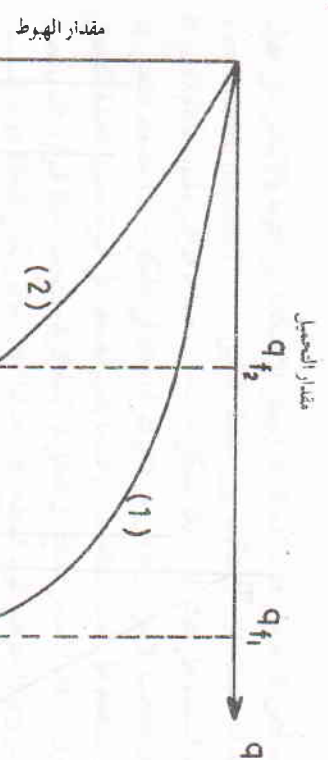
يجب أن ي ضمن مضمون الأساس يواجه اعتبارات أولية للأسان
اعتباراً على الأداء الوظيفي (functional utility) والجودة الاقتصادية
والقصد بالاداء الوظيفي هو ان يكون لالأساس العمق المناسب وإن لا يتجاوز هبوطها
التيارين المقدار المسموح به وان يكون لها الامان ضد الاختراق .

4.1.1 متطلبات العمق

ان عمق الأساس يجب ان يكون كافيا بالنسبة لعدى تقاد الأشجار في التربة
ويعنى التغيرات الفصلية في جسم التربة لمنع الحركات الأرضافية الناتجة عن هذه
المؤثرات . وكذا ذلك يجب ان يكون عمق الأساس كافيا لمنع احتمال التعرية وبالتالي تقويض
التربة السائلة بواسطة حرارة المياه وتباين الربيع

4.1.2 متطلبات الهبوط وعمق التباين

ان متطلبات الهبوط تتضمن الهبوط الكلي (total settlement) وهو يحدد
التباین (differential settlement) لكل اسس المنشآت ويعجب ان يحدده
مقدار هبوط التباين للأساس كي لا يسبب إجهادات اضافية للمنشآت او انحرافاً كبيراً له . كما
ان الهبوط الكلي يجب ان يحدد ايضاً لاته يؤثر على مقدار هبوط التباين ، وعلى الاداء
الوظيفي للمنشآت .
وتحدد الملائمة ان الهبوط المتنظم لا يسبب ضرراً للمنشآت ، ولو ان نتيجة الهبوط
قد تكون غير ملائمة بالنسبة للاداء الوظيفي . أما اذا حدث هبوط متبادر ، فقد يتضرر
المنشآت بتجهيزاته الحرارية (distortion) او امامته كلياً (tilting) وقد
أقرج سكيمبتون (Skempton) ومارك دونالد (Mc Donald) استاداً الى



شكل ٤-١: اختراق القص الشامل والمضمي

ويمكن تحديد قابلية التحمل القصوى q_{f_1} بشكل جيد . ويدعى مثل هذا النوع من

الاختراق بالاختراق القص الشامل (general shear failure) أما إذا كانت

الترية مفككة أو رخوة فإن الانفعالات قبل الإختراق ستكون كبيرة نسبياً ونكون الملاحة

بين الصمود والهبوط مشابهة للمنحنى (2) في الشكل ٤-١ . وفي هذه الحالة يحدث

الهبوط الكبير غير المقبول من الناحية العملية قبل أن يتأهب كل وزان اللدن . وتعزف

قابلية التحمل القصوى q_{f_2} بمقدار الصمود المقاطلة الأولى التي يعطي الاتجاه الأول

أو الاتجاه . ويدعى مثل هذا النوع من الاختراق بالاختراق القص الموضعي (local shear failure) والبعد يذكر أنه لا يوجد حل صارم (rigorous solution) لقابلية التحمل القصوى للترية . وستعمل عادة الحلول المقريبة

للتوصيف بين الهبوط والصمود ستكون مشابهة للمنحنى (1) في الشكل ٤-١

٥

↓

٤-٣- متطلبات الأدمان ضد الإختراق

تضمن متطلبات الأدمان ضد الإختراق أو التصدع (failure) نوعين الأساسيين من الإختراق : أحدهما اختراق الأساس من الناحية الإنشائية (structural failure) وإنديها اختراق قابلية التحمل (bearing capacity failure) . ويعذر الاشارة إلى أن اختراق الأساس من الناحية الإنشائية يمكن أن يظهر إذا كان الأساس بعد ذاته غير صمم بشكل صحيح لتحمل الإجهادات المؤثرة . وعلى سبيل المثال إذا كانت

القياسات لأبعد الأساس الملاحة غير متناسبة فإنه من المحتمل أن تتحقق الأساس باشتداده الشديد (shear compression) أو الصمود (tension) أو الضغط (compression) . كما هو شأن أي عضو اثنائي آخر لحرساتة مسلحة . إنما النوع الثاني من الاختراق الذي يتضمن اختراق الترية السائدة للأساس فهو الموضوع الذي ستكلم عنه تحت عنوان قابلية التحمل

٤-٢- قابلية التحمل

إن أقل ضمط يسبب الإختراق الكامل يقص الترية في المنطقة المجاورة للأساس يعرف بقابلية التحمل القصوى (q_{f_1}) . وفي حالة زيادة الصمود على أساس يستمر إلى قيمة q . تغير الترية في المنطقة المجاورة من حالة وزان اللدن إلى حالة وزان اللدن (\rightarrow equilibrium plastic equilibrium) . وبهذا التغير عند حدوثات الأساس . بالتدريج إلى الأسفل وبعدد إلى

خارج كل جانب من الأساس وفي آخر الأمر . تصل كل الترية بين سطح الإختراق ومستوى الأرض إلى حالة وزان اللدن ويكتمل الإختراق بالقص ويسمى انهيار الأساس في الترية . وإذا كانت الترية كثيفة أو قوية فإن الانفعالات قبل الإختراق ستكون قليلة

متغيرات الضرر في المنشأ حدوداً لاقصى هبوط يضرر المنشأ عدده . وأقاماً علاقة بين الهبوط الأقصى والانحراف الزاوي (angular distortion) (يسمىوا الانحراف الزاوي بين نقطتين تحت المنشأ الهبوط السابعين بين نقطتين مقسوماً على المسافة بينهما) وقد أشاروا إلى أن المنشأ لا يصبه صور في حالة تكون الإنحراف الزاوي أقل من ١/٣٠٠ لأسس المفردة . واقتراحاً جداً أقصى الهبوط يساوي ٥٠ mm على الرمل و ٧٥ mm على الطين .

علاقة قص التربة على طول المسافة ad وبهمل الاستكاء بين التربة والأساس على طول المسافة ad اتساقاً إلى الاستكاء بين ضغط التقيل (overburden pressure) والترية السائلة على طول ab : ان هذا الانفاض مقبول مادام $B \geq D$

وهو لبي الجانب الامين . ويعرض عن تأثير التربة $abed$ في الشكل - 4.2 . ان هذا الانفاض ينبع من طول المسافة ab . وعندما ينبع الضغط على التربة مساوا لقابية التحمل σ_q فالأساس ينبع إلى اسفل في كلتا التربة ويتبع عنه حالة التوازن المدعى σ_q . واذا افترض كون السطح AB صفيلا فان حالة زانكين الفعالة تولد ضمن الاسفين ABC . وعليه تساوي الزاوية $\frac{\phi}{2} + 45^\circ$) وتدفع حركة الاسفين ABC

إلى اسفل التربة المجاورة إلى العصب . وتنبع عنها قوى جانبية إلى الخارج على كلا جانبين الاسفين . وتفتقر المقطفان غير الفعاليين BDE و GFE على كلا الجانبين للمسفين $\frac{\phi}{2} - 45^\circ$) . وبحصل الانتقال العمال ، وتكون الاوبيان DEB و GFA مساوين (

من الحركة إلى اسفل الاسفين الفعال والحركة الجانبية للاسفين غير الفعال خلال مناطق قص شعاعي (radial shear) BCD و ACG . ويكون السطحان CD و CG (logarithmic spiral) . وتحصل حالة التوازن اللدن فوق السطح GF و ED وما يلي من التربة يكون في حالة التوازن المرن .

ويجدر الإشارة إلى انه في حالة $\sigma_q = 0$ لا يمكن شكل منحنى الوصل CG و CD فان شكل منحنى الوصل يكون دائريا .

وعلى ضوء الدراسة المقدمة من قبل كل من براندل (Prandtl) و ريسنر (Reissner) يمكن الحصول على حل لقابية تحمل التربة العديمة الوزن $0 = \gamma$

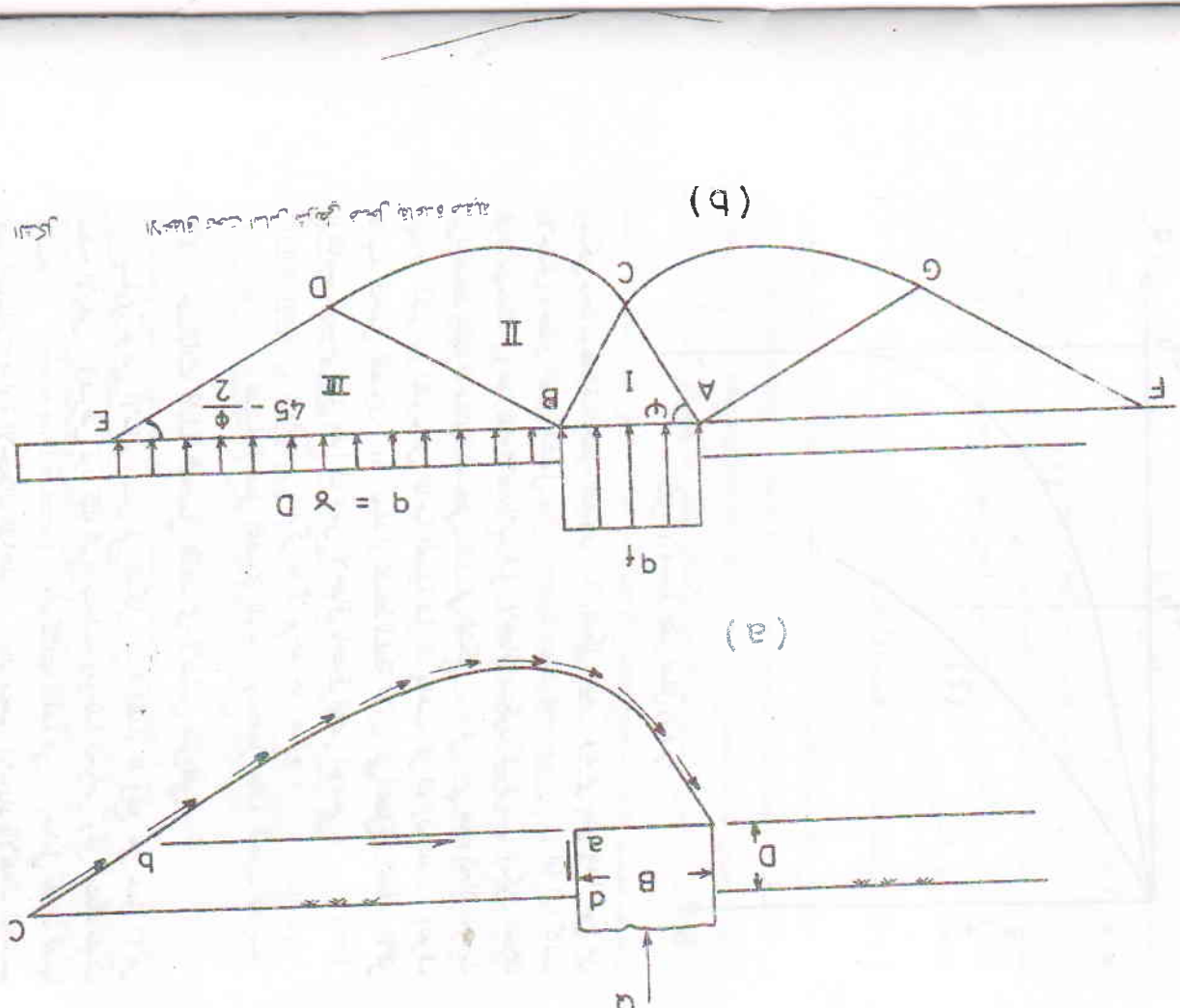
على الشكل الآتي :-

$$q_f = CN_c + qN_q \quad (4.1)$$

حيث ان N_c و N_q معاملات قابية تحمل التربة وان كلا منها دالة لزاوية الاستكاء α الخلوق وتقى

$N_q = e^{\pi \tan \alpha \tan^2 \left(\frac{\pi}{4} + \frac{\phi}{2} \right)}$

$N_c = (N_q - 1) \cot \phi$



وتكون قابلية تحمل التربة العديمة التهاسك التي ليس لها ضغط تثبيت (0) على الشكل الآتي

$$q_r = \frac{1}{2} \gamma BN_r \quad (4.2)$$

حيث إن N_r = معامل قابلية تحمل التربة الذي يتغير بسرعة مع الارواحة ϕ . وقد قرب فربت (Vesic 1973) العلاقة للمعامل N_r بالمعادل الآتي

$$N_r = 2(N_q + 1) \tan \phi \quad (4.3)$$

وتبين المعادل 4.1 القيمة العددية للمعامل N_r وكل الحالات التي فيها $\phi \neq 0.0^{\circ}$ بمعادلة واحدة

$$q_r = CN_c + q_{N_q} + \frac{1}{2} \gamma BN_r \quad (4.3)$$

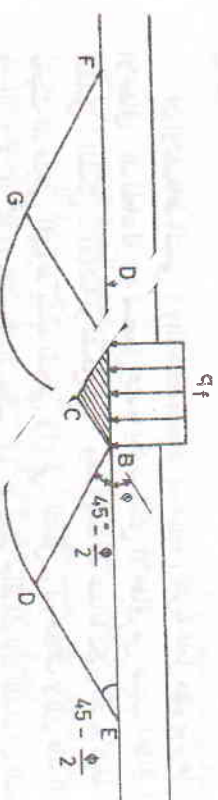
وتحرف هذه المعادلة بمعادلة بوريان - فراكي (Buisman - Terzaghi equation)

4.3.1 تأثير خصوصية قاعدة الأساس على قابلية التحمل .

يفترض فراكي أن قاعدة الأساس خشنة وعليه يمنع الاختلال ولا يتصادف ان وجها

ظهور حالة زانكين الفعالة تحت الأساس . هذا ويقى اسفين التربة ABC في الشكل -

4.3.3 المعاور للقاعدة في حالة التوارن المون ويكون جزءاً متمثلاً للأساس . وفي حالة اخفاق التربة على أي جانب من الأسفين المون تكون التربة في حالة التوارن المون . وفي اللدان صورة مختلفة لقص الشعاعي ومنطقه زانكين غير الفعالة



الشكل ٤.٣-٣ عوائق تحدث أساس شعاعي فحول مقادير مختلفة

المجدول ٢٤-١-١ معلمات قابلية تحمل التربة

| ϕ | N_c | N_q | N_T | N_r/N_c | $\tan \phi$ |
|--------|--------|--------|--------|-----------|-------------|
| 0 | 5.14 | 1.00 | 0.30 | 0.20 | 0.00 |
| 1 | 5.38 | 1.09 | 0.37 | 0.20 | 0.02 |
| 2 | 5.63 | 1.20 | 0.15 | 0.21 | 0.03 |
| 3 | 5.90 | 1.31 | 0.24 | 0.22 | 0.05 |
| 4 | 6.19 | 1.43 | 0.34 | 0.23 | 0.07 |
| 5 | 6.49 | 1.57 | 0.45 | 0.24 | 0.09 |
| 6 | 6.81 | 1.72 | 0.57 | 0.25 | 0.11 |
| 7 | 7.16 | 1.88 | 0.71 | 0.26 | 0.13 |
| 8 | 7.53 | 2.06 | 0.86 | 0.27 | 0.14 |
| 9 | 7.92 | 2.25 | 1.03 | 0.28 | 0.16 |
| 10 | 8.35 | 2.47 | 1.22 | 0.30 | 0.18 |
| 11 | 8.80 | 2.71 | 1.44 | 0.31 | 0.19 |
| 12 | 9.28 | 2.97 | 1.69 | 0.32 | 0.21 |
| 13 | 9.81 | 3.26 | 1.97 | 0.33 | 0.23 |
| 14 | 10.37 | 3.59 | 2.25 | 0.35 | 0.25 |
| 15 | 10.98 | 3.94 | 2.65 | 0.36 | 0.27 |
| 16 | 11.63 | 4.34 | 3.02 | 0.37 | 0.29 |
| 17 | 12.34 | 4.77 | 3.32 | 0.39 | 0.31 |
| 18 | 13.10 | 5.26 | 4.07 | 0.40 | 0.32 |
| 19 | 13.93 | 5.80 | 4.62 | 0.42 | 0.34 |
| 20 | 14.83 | 6.40 | 5.39 | 0.43 | 0.36 |
| 21 | 15.82 | 7.07 | 6.20 | 0.45 | 0.38 |
| 22 | 16.88 | 7.82 | 7.13 | 0.46 | 0.40 |
| 23 | 18.05 | 8.66 | 8.20 | 0.48 | 0.42 |
| 24 | 19.32 | 9.50 | 9.44 | 0.50 | 0.45 |
| 25 | 20.72 | 10.66 | 10.83 | 0.51 | 0.47 |
| 26 | 22.25 | 11.85 | 12.54 | 0.53 | 0.49 |
| 27 | 23.94 | 13.20 | 14.47 | 0.55 | 0.51 |
| 28 | 25.36 | 14.72 | 16.72 | 0.57 | 0.53 |
| 29 | 27.86 | 16.44 | 19.34 | 0.59 | 0.55 |
| 30 | 30.14 | 18.50 | 22.40 | 0.61 | 0.58 |
| 31 | 32.57 | 20.63 | 25.99 | 0.63 | 0.60 |
| 32 | 35.49 | 23.18 | 30.22 | 0.65 | 0.62 |
| 33 | 38.64 | 26.09 | 35.19 | 0.68 | 0.65 |
| 34 | 42.16 | 29.44 | 41.96 | 0.70 | 0.67 |
| 35 | 46.12 | 33.30 | 48.03 | 0.72 | 0.70 |
| 36 | 50.59 | 37.75 | 56.31 | 0.75 | 0.73 |
| 37 | 55.63 | 42.92 | 66.19 | 0.77 | 0.75 |
| 38 | 61.35 | 48.93 | 78.53 | 0.80 | 0.78 |
| 39 | 67.87 | 55.96 | 92.25 | 0.82 | 0.81 |
| 40 | 75.31 | 64.20 | 109.41 | 0.85 | 0.84 |
| 41 | 83.86 | 73.90 | 130.22 | 0.88 | 0.87 |
| 42 | 93.71 | 85.58 | 155.55 | 0.91 | 0.90 |
| 43 | 105.11 | 99.02 | 186.54 | 0.94 | 0.93 |
| 44 | 118.37 | 115.31 | 224.54 | 0.97 | 0.97 |
| 45 | 133.38 | 134.88 | 271.76 | 1.01 | 1.00 |
| 46 | 152.10 | 158.51 | 330.35 | 1.04 | 1.04 |
| 47 | 173.64 | 187.21 | 403.67 | 1.08 | 1.07 |
| 48 | 199.46 | 222.51 | 495.01 | 1.12 | 1.11 |
| 49 | 229.33 | 265.51 | 613.16 | 1.15 | 1.15 |
| 50 | 266.89 | 319.07 | 762.89 | 1.20 | 1.19 |

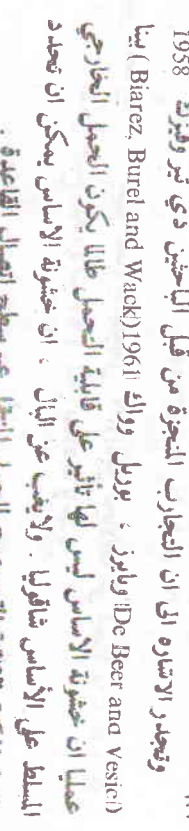
التي يمكن الحصول عليها بافتراض أن التنسق C والحاصلات C والحاصلات C للطريقة يساوي ثلثي القيم الممثلة من معادلة كولومب (Coulomb equation) أي أن

$$C = \frac{2}{3} C$$

$$\tan \phi' = \frac{2}{3} \tan \phi$$

(4.4)

حيث إن ϕ' هنا مماثل مقاومة الفحص وإن C زاوية التناقض بين محظوظين من مستويات $\phi + 90^\circ$ كما مبين في الصور التالي . فإن المستوى AC و BC على الأفق . وقد حصل تراكي على المعلمات N_c , N_q , N_u التي يمكن استعمالها في المعادلة 4.3 كـما هو مبين في الشكل 4.



4.3.3 - تأثير موقع سطح الماء الجوفي على قابلية التحمل

إن موقع مستوى الماء الجوفي له تأثير كبير على قابلية التحمل . وتعتبر الملاحظة من أن الكثافة التقليدية للترية المغمورة تقارب نصف مقدارها فوق مستوى الماء الجوفي . ول عليه عملها أن خصوبة الأساس ليس لها تأثير على قابلية العمل طالما يكون العمل الخارجي المسلط على الأساس شاقولي . ولا ينبع عن البال ، إن خصوبة الأساس يمكن ان تحدده مقدار المركبة الوظيفية المتصوّر Z للحمل الناتج عبر سطح اتصال القاعدة .

$$q_p = C N_c + q N_q + \frac{1}{2} B_7 N_i \quad (4.3)$$

يتضمن إذا تعرضت التربة للانهيار . ولهذا السبب . فإن قابلية التحمل تعتمد على افراط اعلى مستوى للماء الجوفي في الواقع المخصوص والترقي مدعي العمر المستشا الصمم فإذا كان اعلى مستوى للماء الجوفي يقع ضمن العمق $B < Z$ تحت مستوى الأساس . الشكل 4.5 - تكون الكثافة التقليدية المؤثرة على التربة تحت قاعدة الأساس في

$$q_p = C N_c + q N_q + \frac{1}{2} B_7 N_i \quad (4.3)$$

الشكل 4.4 - معلمات قابلية العمل (زراكي) يذكر

4.3.2 - تأثير انضغاطية التربة على قابلية التحمل

إن الانضغاط النسبي (relative compressibility) للترية عامل مهم يؤثر على شكل

الانهيار . إن المعادلة 4.2 تستعمل عندما يكزن شكل الانضغاط من صيغ احتساب الفحص الشكل 4(a) أو الشكل 4.2(b) . وهذا يبعد عدداً يكفيه وقوية الشكل ، الشكل 4(b) يحيط بشائبه المحسني (آ) في الشكل 4-4 . وبخلاف ذلك فإن الأساس يحيط أن منع تحني المهم بطيء التغير يعطى قبل أن تتشكل حالة التراكم اللذى القليلة في التربة غير السليمة أو غير الطبيعية يطرد ما يحيط بها . فالأساس D في الشكل 4(b) يحيط أن منع تحني المهم بطيء التغير يطرد ما يحيط بها (2) في الشكل 4.1 وعليه فإن القمية التقليدية لقابلية العمل q الأساس شرطي على تربة من هذا

وتتجذر ملاحظة التخمين السفليين AC و BC والأسفلين CGF ، CDE عند C . وبما أن وان الططحيين المتعددين CDE ، CGF ، CDE كونهما شاقولين عند C .

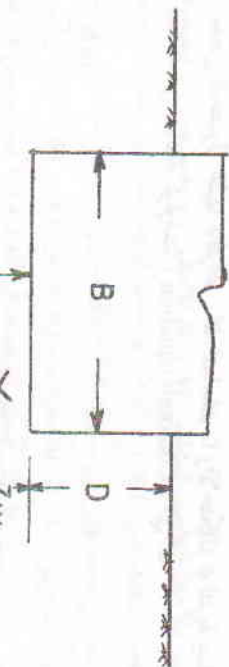
لأساس دائري فقط . أما لالشكال الأخرى للأسس ، فمن المقارنات لخصوص التعامل لأنسس مختلف الشكل ، أجري تعديل على المعادلة 4.3 وجاءت بالشكل الآتي :

$$q_f = C N_c S_c + q N_q S_q + \frac{1}{2} B N_r S_r \quad (4.6)$$

حيث إن S = معامل الشكل المقترن من فيل دي بير (De Beer) والمعدل من قبل فيرلوك (Verlak) واللين في الجدول - 4.2 .

الجدول - 4.2 معاملات الشكل للأسس الضحلة .

| شكل الأساس | S_c | S_q | S_r |
|---|--------------------------------|-----------------|--|
| أساس شرطي | 1.00 | 1.00 | 1.00 |
| أساس مستطيل | $\left(\frac{B}{L} \right)^2$ | $\frac{B}{L}$ | $1 - 0.4 \left(\frac{B}{L} \right) \tan \phi$ |
| أساس دائري أو مربع | $1 + N_q / N_c$ | $1 + \tan \phi$ | 0.60 |
| اما المقادير N_c و N_q فهم معاملات قابلية التحمل لأسس شرطي تؤخذ من الجدول - 4.1 . | | | |



B

R

الشكل 5 . بـ تغير منسوب الماء الحرفي في الرية

بالقاعدة للأساس أو رتبته . وفي الحالة التي يكون فيها مستوى الماء الجوفي ضمن العرض D يجزأ المقدار $D = 9$ وتزداد $\frac{N_q}{N_c}$ للترة غير المعمورة . ويتضمن كل ما تقدم أن الماء الساكن . وفي حالة التسرب يكون تأثير الماء على قابلية التحمل كبيراً . فاضافة إلى احتمال العوارة نتيجة وجود قوة التسرب (seepage force) تغير الكافية التقليدية للترة اعتماداً على اتجاه التسرب . ولا يتع على الحال ان قوة التسرب $= \gamma_z$ حيث إن : هو الانحدار المائي (hydraulic gradient) و γ_z الكافية التقليدية للماء . هذا وتساوي الكافية التقليدية γ التي يجب ان يستخدم في المعادلة 4.3 ناتج من الكيميات التجربة . وعلى سبيل المثال في حالة ترسب الماء باتجاه شاقولي من أعلى إلى أسفل تساوي الكافية التقليدية للترة بمجموع الكافية التقليدية المعمورة وقوة التسرب . وعلى النقيض من ذلك تساوي الكافية التقليدية الفرق بين الكافية المعمورة وقوة التسرب عند ترسب الماء باتجاه شاقولي من أسفل إلى أعلى .

تأثير شكل الأساس على قابلية التحمل 4.3.4 – أن الحل النظري لقابلية التحمل لأسس مختلف شكله عن شكل الأساس الشرطي يواجه صعوبات كبيرة . وقد تذكر الإيجاز من الحصول على حل لحالات التمثال المحوسي حالة القص غير المبروك هي السائدة في حالة الخافق . كذلك على فرض أن منحنى الطريق مشابهة للمتحني (1) في الشكل - 4.1 .

$$q_f = C N_c + q N_q S_q + \frac{1}{2} B N_r S_r \quad (4.6)$$

الحل :

4.1 - من الجدول -

$$\begin{aligned} N_c &= 5.14 \\ N_q &= 1.0 \\ N_r &= 0 \end{aligned}$$

4.2 - من الجدول -

ومن الجدول

$$\begin{aligned} S_c &= 1 + \frac{1}{3} \times 0.51 \\ &= 1 + 0.17 = 1.17 \end{aligned}$$

$$\begin{aligned} S_q &= 1 + \frac{1}{3} \times 0.47 \\ &= 1 + 0.16 = 1.16 \end{aligned}$$

$$\begin{aligned} S_q &= 1 + \frac{B}{L} \tan \phi \\ &= 1 + \frac{1.4}{4.2} \times \frac{1}{5.14} = 1.065 \end{aligned}$$

وأن

$$= 1$$

$$\begin{aligned} S_r &= 1 - 0.4 \times \frac{1}{3} \\ &= 1 - 0.134 = 0.866 \end{aligned}$$

4.5 المعادلة 5

$$\bar{\gamma} = \bar{\gamma} + \frac{Z_w}{B} (\gamma_i - \bar{\gamma})$$

إذا وضع أساس مستطيل الشكل ابعاده $1.4 \text{ m} \times 4.2 \text{ m} \times 1.4 \text{ m}$ على عمق 1 m من سطح الأرض في تربة طيبة مثبطة كافية القوية 21 KN/m^2 وعملاً مقاومة قصها $q_f = 120.5 + 21$

$$q_f = 141.5 \text{ KN/m}^2$$

الشكل - 4.2 -

وحذر وضع هذه المعاملات في المعادلة 4.6 نحصل على

$$q_f = (21 - 10) + \frac{0.35}{1.4} (21 - 11) = 13.50 \text{ KN/m}^3$$

فحصل القصر المضم والبرول (CD test) مما $\phi = 25^\circ$, $C = 4 \text{ KN/m}^2$.

منسوب الماء الجوفي على بعد 1.35 m عن سطح الأرض.

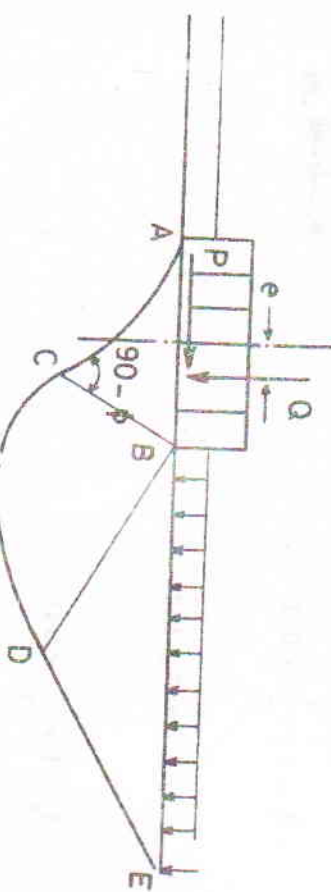
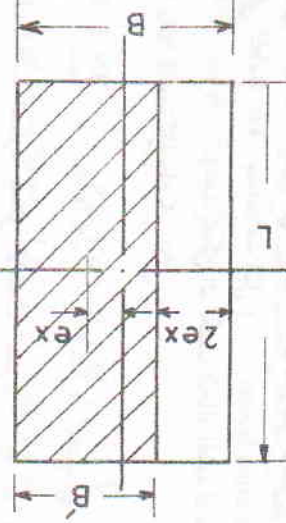
فاحسب قابلية التحمل القصوى على افراز أن سرعة تحمل الأساس بطيئة بحيث أن ضغط السام الزائد يساوي صفرًا أي أن حالة البرول (drained condition) هي السائدة في حالة الاختراق . وعلى فرض أن متغير الهبوط مشابه للمنحنى (1) في الشكل - 4.1 .

تأثير ميل الحمل وإنحراف تمركزه على قابلية التحمل

eccentric

إذا كان الحمل مائلـ (inclined) او غير متمركزـ (eccentric) .

او كان الحمل مائلاً وغير متمركز في وقت واحدـ . فأن مسالة قابلية التحمل تكون معقدةـ (4.6) .



الشكل ١٤.٦ مخطط الإنحراف النظري تحت الأحمال المائلة غير المتموّزة

وتجدر الملاحظة أن الأنحراف قد يحدث نتيجة إنلاقـ (sliding) الأساس على طبلـ (AB) أو القصـ (الشامـ (general shear) للتريةـ (softening) . وعندما يكونـ الأساس على حالة الإنلاقـ تكون العلاقة بين المركبةـ (P) والمركبةـ (Q) لردـ فعلـ الأساس بالشكل الآتيـ

$$P_{max} = Q \tan \phi + A' C_a \quad (4.7)$$

حيث أنـ A = مساحة التحميل المؤثرة للأساسـ (the eccentricity area) .

ويمثلـ C وـ ϕ على الترتيبـ (مقاومة الانصاقـ (adhesion) وزاوية الإنحرافـ (eccentricity) .

الداخلـيـ .

هذا وتشابه طريقة إيجاد المركبةـ (الشاقوليـ (eccentric) القصـ (eccentric) الى تسبـبـ (eccentric) الانلاقـ من القصـ (eccentric) .

الشاملـ (eccentric) الطريقةـ (eccentric) المستعملـ (eccentric) للحملـ (eccentric) المترکـ (eccentric) . وقدـ (eccentric) يبيـتـ (eccentric) البحوثـ (eccentric) النظرـ (eccentric)يةـ (eccentric) والتجـ (eccentric)ريـ (eccentric) .

انـ (eccentric) لهـ (eccentric) فيـ (eccentric) حالةـ (eccentric) الإنـ (eccentric)حرافـ (eccentric) المـ (eccentric)ركـ (eccentric)يـ (eccentric) . يـ (eccentric)تحـ (eccentric)بـ (eccentric) عـ (eccentric)رضـ (eccentric) موـ (eccentric)ثرـ (eccentric) . ويـ (eccentric)كونـ (eccentric) الحلـ (eccentric) الىـ (eccentric) حدـ (eccentric) ماـ (eccentric) وـ (eccentric) ذلكـ (eccentric) لـ (eccentric) وجودـ (eccentric) موـ (eccentric)ركـ (eccentric)يـ (eccentric) كـ (eccentric)افيـ (eccentric) الشـ (eccentric)كلـ (eccentric) .

وإذا كان ميل العمل باتجاه n . وبعمل زاوية θ_n مع اتجاه العزب العلوي للأساس . فإن المعامل m_n يمكن الحصول عليه من العلاقة

$$m_n = m_{l_m} \cos^2 \theta_n + m_p \sin^2 \theta_n$$

4.1.5

المثال - 4.3-

إذا كان الميل m_{l_m} مستقيم عرضه 1.4 m وعمره 4.2 m وعمره 1.0 m عن سطح لرباعية مشبعة كنافتها القليلة 21 kN/m^3 وعمرها مقاومة قصها من تجربة الفحص لمتر الماء خير المرونة (UUU test) $S_{q_u} = 0.8 \text{ kN/m}^2$, $\phi_u = 22^\circ$ وكان منصوب على بعد 0.8 m عن سطح الأرض . وكان الإنحراف المركب $P = 20 \text{ m}$ وكان الميل $m_p = 0.020 \text{ m}$ (B) ، وعقد المركبة الأفقية $P = 80 \text{ kN}$ بال بهذه عرض الأساس (B) ، وتحميمية العمل المعمد على فرضه ومقدار الركيزة الدافعية $Q = 220 \text{ kN}$. فاحسب قيمة العمل المعمد على فرضه أنه مدخل للتحميم سري (أداة فورن) . صعدت تدريجيًّا من خط الأساس .

المسار

$$S_{q_i} = \left[1 - \frac{P}{Q + B^2 L^2 C \cot \phi} \right]^m \quad (4.9)$$

$$B = 1.4 - 2 \times 0.20 = 1.0 \text{ m}$$

$$\begin{aligned} \text{فرض الأساس المائل} \\ \text{والأس} &= m_n \text{ هو من المعدلة } 4.1.1 \end{aligned}$$

$$S_{q_i} = \left[1 - \frac{P}{Q + B^2 L^2 C \cot \phi} \right]^{m+1} \quad (4.4.10)$$

حيث أن الأساس m يساوي

$$m_n = \frac{2 + B/L}{1 + B/L} \quad (4.4.11)$$

وعليه تكون معادلات الميل من المعدلات 4.9 - 4.14 .

$m_n = \frac{2 + 1/3}{1 + 1/3} = 1.75$

$$\begin{aligned} S_{q_i} &= 1 - \frac{1.75 \times 46.2}{1 \times 4.2 \times 22 \times 5.14} \\ &= 0.83 \end{aligned}$$

وس العل المعمد في الميل $= 4.1$ والإستناده من معاملات الميل . تساوي قابلية التحمل

$$\begin{aligned} \text{العوائق من المعدلة } &4.8 \\ \text{العوائق من المعدلة } &4.8 \end{aligned}$$

$$\begin{aligned} q_f &= 120.5 \times 0.83 + 49 \times 1 \\ &= 100 + 49 = 149 \text{ kN/m}^2 \end{aligned}$$

الجانب الأيمن . وفي نفس الوقت يمكن من الملازم ادخال تأثير ميل العمل وذلك بضرب الملاود المفتردة في المعدلة 4.6 بمعاملات الميل (S_{q_i}) . وعليه يمكن أن يكتب الحالة العامة لقابلية التحمل التي تتضمن حملًا لا متراكماً بالشكل الآتي :

$$q_f = \frac{Q_o}{B L} = C N_c S_q S_{q_i} + q N_q S_q S_{q_i} + \frac{1}{2} \gamma B N_s S_s S_{q_i} \quad (4.8)$$

ولاستناداً إلى التحليلات الصارمة لسائر العمل المسرى (plane strain) للأساس على توقيع عدمية الوزن ومحمولة بحمل دائم مركب . ومن التجارب العملية لأسس مستويات الشكل . اختر فيريل (Vesc) (تجربة على المعاملات التي وضعها برنوك هانسن (Brinch Hansen) على النكيل الآتي) :

$$S_{q_i} = \left[1 - \frac{P}{Q + B^2 L^2 C \cot \phi} \right]^m \quad (4.9)$$

$$m_n = \frac{2 + B/L}{1 + B/L} \quad (4.4.11)$$

حيث أن الميل m هو من المعدلة 4.1.1

$$m_n = \frac{2 + 1/3}{1 + 1/3} = 1.75$$

وعليه تكون معادلات الميل من المعدلات 4.9 - 4.14 .

$m_n = \frac{2 + 1/3}{1 + 1/3} = 1.75$

$$\begin{aligned} S_{q_i} &= 1 - \frac{1.75 \times 46.2}{1 \times 4.2 \times 22 \times 5.14} \\ &= 0.83 \end{aligned}$$

وس العل المعمد في الميل $= 4.1$ والإستناده من معاملات الميل . تساوي قابلية التحمل

$$\begin{aligned} \text{العوائق من المعدلة } &4.8 \\ \text{العوائق من المعدلة } &4.8 \end{aligned}$$

$$\begin{aligned} q_f &= 120.5 \times 0.83 + 49 \times 1 \\ &= 100 + 49 = 149 \text{ kN/m}^2 \end{aligned}$$

4.2. ومن الجدول

$$S_c = 1 + \frac{1}{3} \times 0.51 = 1.17$$

$$S_q = 1 + \frac{1}{3} \times 0.47 = 1.16$$

فرض أن يعني الجبروط مشابه إلى الشخني (1) في الشكل

الشكل 4.4
من المعلومات المتوفرة في الشكل — 4.3 . أحسب قابلية تحمل القصوي على فرض أن معدل التحميل يطلي إلى قدر ينالسي الزيادة في الضغط السادس . وإن معامل مقاومة التربة من فحص القص المضم والبزرو هما $\bar{C} = 4 \text{ KN/m}^2$, $\phi = 25^\circ$ وعلى فرض أن يعني الجبروط مشابه إلى الشخني (1) في الشكل

$$S_r = 1 - 0.4 \times \frac{1}{3} = 0.87$$

ومن المعادلة 4.8 —

$$q_f = 4 \times 20.72 \times 1.17 \times 0.67 + 1.9 \times 10.56 \times 1.16 \times 0.70$$

$$+ \frac{1}{2} \times 1.4 \times 11 \times 10.88 \times 0.87 \times 0.58$$

$$= 64.97 + 164.46 + 42.27$$

$$= 271.7 \text{ KN/m}^2$$

$$\begin{aligned} N_c &= 20.72 \\ N_q &= 10.66 \\ N_p &= 10.88 \\ N_g / N_c &= 0.51 \\ \tan \phi &= 0.47 \end{aligned}$$

الشكل 4.1 تحصل على
من الجدول 4.1

$$S_{qt} = \left[1 - \frac{46.2}{220 + 1 \times 4.2 \times 4 \times 2.14} \right]^{1.75}$$

$$= 0.70$$

ومن المعادلة 4.9 تحصل على :

$$S_{qt} = 0.70 - \frac{1 - 0.70}{20.72 \times 0.47} = 0.67$$

ومن المعادلة 4.10 تحصل على :

وأن أبسط الحالات التي يمكن اعتبارها ممثلة لقطع طبقتين هي :-

- 1 - طبقة تحمل ضعيفة فوق طبقة قوية . الشكل 4.8(a)
- 2 - طبقة تحمل قوية فوق طبقة ضعيفة . الشكل 4.8(b)

$$S_{qt} = \left[1 - \frac{46.2}{220 + 1 \times 4.2 \times 4 \times 2.14} \right]^{2.75}$$

$$= 0.58$$

إلكترون قابلية الحصول لكلا الطابتين على الشكل الآتي :-

$$q_r = C_1 N_m + q$$

(4.116)

حيث إن C_1 يمثل مقاومة القصر للتربة من فحص المبرول للطباقة العليا وإن N_m هو معامل قابلية التسخيم المعدل الذي يعتمد على النسبة المقدارتي القصر للتربة وإن الطابتين C_1 / C_2 والمسلك النسي للطباقة الفرقية H / D إضافة إلى شكل الأساس.

وقد أعطى فيرك (Vescic) المعادل N_m للحالات الأولى التي فيها كما هو مبين في الجدول 4.3 ..

الجدول 4.3

معامل قابلية الحصول المعدل N_m

| $C_2 / C_1 / B / H$ | 2 | 4 | 6 | 8 | 10 | 20 | ∞ |
|---------------------|------|------|------|------|-------|----------|----------|
| 1.0 | 5.14 | 5.14 | 5.14 | 5.14 | 5.14 | 5.14 | 5.14 |
| 1.5 | 5.14 | 5.31 | 5.45 | 5.59 | 5.70 | 6.14 | 7.71 |
| 2 | 5.14 | 5.43 | 5.69 | 5.92 | 6.13 | 6.95 | 10.28 |
| 3 | 5.14 | 5.59 | 6.00 | 6.38 | 6.74 | 8.16 | 15.42 |
| 4 | 5.14 | 5.69 | 6.21 | 6.69 | 7.14 | 9.02 | 20.56 |
| 5 | 5.14 | 5.76 | 6.35 | 6.90 | 7.42 | 9.66 | 25.70 |
| 10 | 5.14 | 5.93 | 6.69 | 7.43 | 8.14 | 11.40 | 51.40 |
| ∞ | 5.14 | 7.14 | 8.14 | 9.14 | 14.14 | ∞ | ∞ |

أساس مستطيل طويل ($L / B < 5$)

الجدول 4.3

معامل قابلية الحصول المعدل N_m

أسس دائري أو مربع ($L / B = 1$)

| $C_2 / C_1 / B / H$ | 4 | 8 | 12 | 16 | 20 | 40 | ∞ |
|---------------------|------|------|------|------|-------|-------|----------|
| 1 | 6.17 | 6.17 | 6.17 | 6.17 | 6.17 | 6.17 | 6.17 |
| 1.5 | 6.17 | 6.34 | 6.49 | 6.63 | 6.76 | 7.25 | 9.25 |
| 2 | 6.17 | 6.46 | 6.73 | 6.98 | 7.20 | 8.10 | 12.34 |
| 3 | 6.17 | 6.63 | 7.05 | 7.45 | 7.82 | 9.36 | 18.51 |
| 4 | 6.17 | 6.73 | 7.26 | 7.75 | 8.23 | 10.24 | 24.68 |
| 5 | 6.17 | 6.80 | 7.40 | 7.97 | 8.51 | 10.88 | 30.84 |
| 10 | 6.17 | 6.96 | 7.74 | 8.49 | 9.22 | 12.58 | 61.70 |
| ∞ | 6.17 | 7.17 | 8.17 | 9.17 | 10.17 | 15.17 | ∞ |

أساس دائري أو مربع ($L / B = 1$)

المعادل 4.3

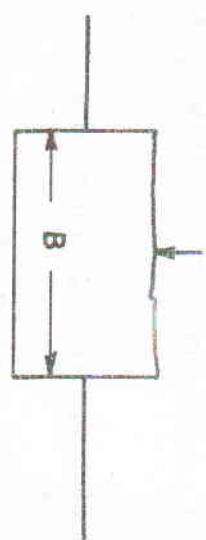
الشكل 4.8(a)

C_1, Φ_1

C_2, Φ_2

(b)

شكل 4.8 طبلان نمودجيان في مطلع التربة



C_1, Φ_1

C_2, Φ_2

طبلان نمودجي

(b)

الشكل 4.8(b) يوضح الأختلاف في التربة للحالة الأولى حداً ما، ويكون شكل الأختلاف للحالة

Brown (1969) قد يثبت أن الأختلاف في التربة للحالة الأولى في الشكل

4.8(a)

& Meyerhof يظهر على هيئة جبال لدن جانبى إلى حد ما، ويكون شكل الأختلاف للحالة الثانية من صيد الإختناق الخروي (punching shear) الذي يحصل حالة

نزول الأساس في التربة وقصها عند حفافات الأساس .

عمق الأساس D

عرض الأساس B

وتحسب للأساس المستطيل من العلاقة

$$N_m = \frac{1}{\beta} + \frac{C_2}{C_1} S_e N_c \quad (4.17)$$

حيث أن

$N_c = \left(1 + 0.2 \frac{B}{L} \right) \times N_e$

لأساس مستطيل

ويختلف مقدار N_e لأساس شرطي وصع من الشكل 4.9

وتحسب مقدار N_e لأساس شرطي وصع من الشكل 4.9

$$\beta = BL / [2(B + L)H]$$

لأساس شرطي

لأساس مستطيل

لأساس مستطيل

وأن $N_e =$ معامل قابلية التحمل من الجدول - 4.1

$S_e =$ معامل الشكل من الجدول - 4.2

أما في حالة وجود تربة ملبة زاوية اسكتوكها المثلثي

فوق تربة من نوع آخر . فاذ قابلية التحمل تكون بالصيغة الآتية :-

$$q_f = q''_{f'} \exp \left\{ 0.67 \left(1 + \frac{B}{L} \right)^{-\frac{32}{33}} \right\} \quad (4.18)$$

حيث أن

$q''_{f'} =$ قابلية التحمل لزوية أساس وهي بنفس الأبعاد والشكل مجال على الطريقة الثانية . وتعذر الملاحظة إن الزباد في المسلك بقليل من تأثير التربة السجحية على التربة الفرقية ويكون مقدار المسلك المرج H الذي يتلاشى بعده تأثير التربة

$$\left(\frac{H}{B} \right)^c = \frac{3 \ln \left(q'_{f'}/q''_{f'} \right)}{2(1+B/L)} \quad (4.19)$$

حيث أن

$q'_{f'} =$ قابلية التحمل للتربة الفرقية عند ما لا يكون ثمة تربة تحجيمية

الشكل 4.9 عامل قابلية التحمل للأساس على الرغبة الطبيعية

أساس مربع الشكل بالأبعاد $1m \times 1m$ في تربة طينية مشعهة

الشكل - 4.5

- 1 جمل أقل بعد D لتحمل بعده زيادة في قوة التحمل الأقصى الصافي
- 2 أحسب مقدار قابلية تحمل التربة الأقصى الكلي إذا علمت أن

$$y = 20 \text{ KN/m}^3$$

والحملة الناتجة التي فيها $1 < \frac{C_2}{C_1}$ ساوي المعامل N

لقد درس سكيمپتون (Skempton) تأثير عمق الأساس على قابلية تحمل التربة

- 1 تأثير عمق الأساس على قابلية تحمل التربة
- 2 تأثير عمق الأساس على قابلية التحمل

$$q_f = C_u N_c + q N_q$$

الحل :-

$$F = \frac{q_{nf}}{q_n} = \frac{q_f - \gamma D}{q_s - \gamma D} \quad (4.20)$$

الجدول - ٤-٤ معاملات الأمان الصغرى لتصميم الأساس الفضفحة .

| الصنف | منشأ نموذجي | مسيرة الصنف | تحريات التربية | معامله محدودة |
|--------|-------------|-------------|----------------|---------------|
| وهيكلة | | | | |

جسور

السلك العديدية

العمل العتم الأعظم

موجي وجوده غالباً

السترودعات

فرن الصهر

عواقب الانفاق

كارثة

صواعق جسيمات

جدار ساند هيدروليكي

جسور الطريق العائمة

الياباني التقنية الصناعية

والعامة

الحمل العتم الأعظم

قد يوجد ايجازاً

B

مباني الشقق
والسدارسر

من غير المرجح وجوده

C

الحمل العتم الأعظم

قد يوجد ايجازاً

D

٤.٥ حساب قابلية تحمل التربية من الفحوص الموقعة

٤.٥.١ فحص التحميل

ويتجدر الإشارة إلى أن الضغط الحقيقي على التربية المنسية عن وزان المنشآت يدعى

ان فحص التحميل (load test) يتضمن زيادة العمل على التربية بدرجات متزايدة (q_f) وهو الدرجة المقدار المطلوب انتظار كل رياضة . ونستخدم بذلك معطيات قياس العمل والمهبط لتحديد سلوك الأساس الحقيقي . والطريقة المتتبعة في الفحص هي استعمال صفات

لوبيه من المعلومات برامج الفصل الأول (تحريات المواقع) المقررة (المحرك تحويل المطبوعة)

ويعرف معامل الأمان F (بالنسبة لانفاق الفحص بدلاً لقابلية التحمل الفصوى)

٤-٩ من الشكل - ١

$$D = 4.5 \text{ m} \quad \frac{D}{B} = 4.5$$

$$q_f = 40 \times 9 + 20 \times 4.5$$

$$= 360 + 90 = 450 \text{ KN/m}^2$$

- 2

معامل الأمان

ان الحالات المبنية في هذا الفصل وضمت جميعها لفرض تقليل قيمة العمل الأقصى (q_f) أو القسط الأقصى (q_f) عند ما قد يعاني الأساس من الانخفاض أو التصدع في قابلية العمل . وكما أشرنا في الفقرة ٤-١ تسمم الأساس بحيث يكون فيها أساس كاف تزيد هذا النوع من الانخفاض . ان تقليل قيمة الأمان الكافي لعصر أو جزء أساسي من الإنشاء صعب وذلك لأن هذا النكير يعتمد على :-

- ١- اعتبارات خدمية وتتضمن صفة المنشأ والحياة المترقبة له
- ٢- اللاحقة الاقتصادية وتتضمن التكاليف الأساسية للأساس
- ٣- اعتماداته معطيات التربية وتتضمن المعرفة الحقيقية لقطع التربية كاملاً اعتماداً على منهاج الفحوص والتحريات الشاملة

- ٤- إتحمل الانفاق فقد تتيح كوارث نتيجة انفاق بعض المشات وقد لا تتيح عسر بضمها الأخرى امور جدية .
- ٥- عواقب الانفاق فقد تتيح كوارث نتيجة انفاق بعض المشات وقد لا تتيح عسر هذا وقد اعطي، فيرك (Vierik) ١٩٧٠ (Vesic) ٤٤ - (الجدول - ٤-٤)

كلي mm 25 وحيوط متباني 75% من الهرط السكلي . الشكل 4.10 . وتحدد الاشارة إلى أن الصنف 9 هو خصي التحمل المسموح به (allowable bearing capacity) وأن هذا الصنف هو عبارة عن شدة التحمل الصافية الإلامية التي عندها لا يحدث انحدار في التربة ولا يحدث هبوط يؤثر على عمل النشأ

عادة للترب العديمة التهالك تكون النتائج مقبولة إذا كانت التربة في الواقع كبيرة بالنسبة لبعاد الأساس .



الشكل 4.6 -

إذا علمنا أن قابلية تحمل زرية عديمة التهالك لمخففة ببعاد 0.3×0.3 m

ونعلم عمق 0.9 m تساوي 342 KN/m^2 . وإن الكفاية التقليدية للتربة 15.7 KN/m^2

\therefore فاحسب قابلية التحمل لأساس ببعاد $0.9 \text{ m} \times 1.8 = 1.62 \text{ m}$ وعلى عمق 0.9 m تتحدد مسحوق الأرض

الحمل : من العادلة 4.6 ومن البيدول 4.7 وتحصل على

$$q_r = q N_q (1 + \tan \phi) + 0.3 \gamma B N_y$$

وتعوض قيم q ، N_q ، ϕ و B نحصل على

$$342 = 0.9 \times 15.7 N_q (1 + \tan \phi) + 0.3 \times 15.7 \times 0.3 N_y$$

وابدأ طريقة التجربة والمحظا واستعمال الجدول 4.1 نحصل على $28^\circ = \phi$ وعليه

$$\text{تساوي } 9 \text{ للاساس} \\ q_r = 0.9 \times 15.7 \times 14.72 \times 1.53 + 0.3 \times 1.8 \times 15.7 \times 16.72$$

$$= 318 + 142 \\ = 460 \text{ KN/m}^2$$



4.5.2 فحص الانحراف القياسي

الشكل 4.10 المدقق بين مقادير الانحراف القياسي وضفت الحمل المسحوغ به

وليس حفظ الصنف المسحوغ به في الشكل 4.10 - مستند على افتراء كون مسحوب اليه على عمق أكثر من B . وإذا أقرب اليه من سطح الأرض ، فإن ضفت التحمل المسحوغ به يقل . وقد أشار إلى أن الاستكمال الخطي (linear interpolation)

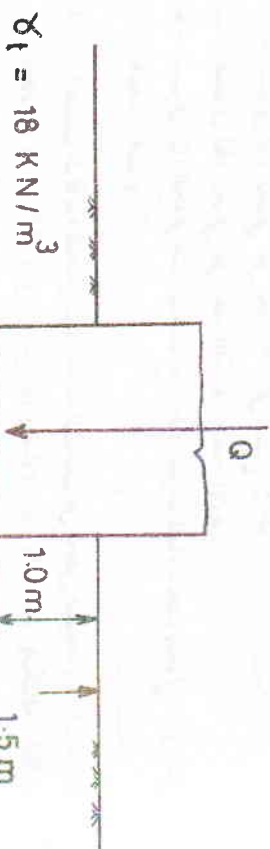
يعجب أن يستعمل بين تقليل مقداره 50% في حالة كون مسحوب الماء مع زتميل مقداره صغير في حالة تكون مسحوب الماء على عمق B تحت الأرض .

لزيادة المعلومات يوضح الفصل الأول (تعريات الموقع) الفرق في فحص الانحراف القياسي

مسائل

- 1- إذا كانت العلاقة بين الإجهاد والانفعال من صنف القص المرضي - في أساس الصغر في التصميم . ولاسس متوازية يكون الضغط الناتج من اختبار أكبر أساس همر الذي يستعمل لحساب ابعاد كل الأساس الباقية . وفي حالة أساس المعمير (foundation) يتعين أن يناسب التحمل المسموح به الناتج من الشكل - 4-10 وذلك لأن مقدار القيمة المهموظ المسموح به هو 50 mm

الحمل Q إذا كان معامل الأمان



$$\gamma_t = 18 \text{ KN/m}^3$$

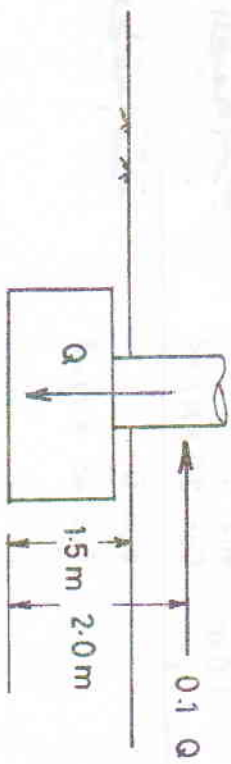
$$\gamma_e = 20 \text{ KN/m}^3$$

$$\gamma_w = 10 \text{ KN/m}^3$$

$$C = 27 \text{ KN/m}^3$$

$$\phi = 26^\circ$$

2- احسب مقدار الحمل Q لأساس دائري قطره 2.0m في تربة خواصها هيستة أدناه إذا كان معامل الأمان 3.



$$\bar{C} = 0$$

$$\bar{\phi} = 30^\circ$$

$$\gamma_t = 18 \text{ KN/m}^3$$

- 3- في حصر الخرائط الستاتيكية
الخرائط ما يهوف علاقه مبسطة لمعنى ضغوط التحمل المسموح به والهبوط لا يتجاوز 25 mm وتحمده العلاقه على متغيرات تراكي وييل . الشكل - 4-9 . ولاسس مرتبه الشكل او شريطية بعرض مساو الى ارتفاع من 1.2 m يكون التحمل المسموح به 40 هر حيث أن γ_{kd} = مقاومة المخروط .
 $q_a = 3.5 C_{kd} \text{ KN/m}^2 = \frac{C_{kd}}{30} \text{ KG/cm}^2$

$$q_a = 3.5 C_{kd} \left(1 + \frac{1}{B} \right)^2 \text{ KN/m}^2 \quad (4.21)$$

$$\text{حيث } \gamma_{kd} = \text{ مقاومة المخروط .} \\ \text{ولاسس مرتبه ارشطي يترافق من } 1.2 \text{ m يكون} \quad (4.22)$$

$$q_a = 2.1 C_{kd} \left(1 + \frac{1}{B} \right)^2 \text{ KN/m}^2$$

$$= \frac{C_{kd}}{50} \left(1 + \frac{1}{B} \right)^2 \text{ KG/cm}^2$$

هذا وإن قيم γ_{kd} المحسوبة من المعادلين 4-21 و 4-22 يجب أن تتحقق إلى الصعف إذا كان العمل في ميقطة إجهاد متمدنة بالباء . وقد ارتأى ما يهوف مقاطعة المقدار q_a لأسس الحصیر بطرقة مشابهة لما هو عند ترزيكي وييل عند حساب ضغط التحمل المسموح به من فحص الاختراق القياسي .

المفصل السادس

الهبوط وزيادة جهادات

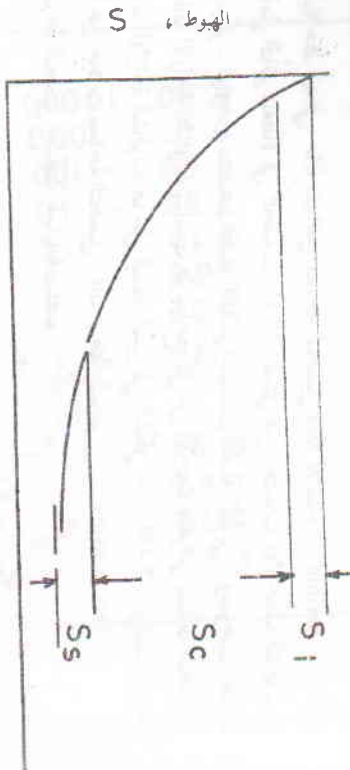
5.1 مقدمة

إن انتقال الحمولات من أساس المنشآت إلى التربة الحية بسبب التشوه (deformation) في التربة والهبوط لسطح الأرض تحت المنشآت وقويه . ونتيجة لهبوط الأساس . قد يضطر عمل المنشآت وأن التربة المساعدة لم تتحقق .

وللحد من اعتماد شكل الهبوط ولدالله على المنشآت على مقطع تربة (soil profile) في التربة وخصوصها فحسب ، بل يعتمد أيضاً على نوع المنشآت واستساجاته للهبوط وتفاعلاته مع التربة المصودة . ولأجل ذلك تضمن أهمية الهبوط الكلية للمغيرات الهيكلية للهبوط (differential settlement) .

هذا وإن سلكت الهبوط للتربة يتصف عادة بما يسمى بمتغير الأمان والهبوط كما هو مبين في الشكل - 5.1 . ويلاحظ أن الهبوط الكلي S . يحسب كمجموع لهبوط

الهبوط وكلاي



الشكل 5.1 علاقه الهبوط مع الزمن لخطه المتذبذبة على الأساس .

حيث إن S_i هو التهورط الأولي (immediate settlement) ، S_c هو التهورط الانضغاط (consolidation settlement) ، S_{sc} هو التهورط الانضغاط الثاني (secondary compression settlement) .

5.2 - حساب التهورط الأولي أو المباشر
5.2.1 - مساحة تحمل قابلة للإنتشار

إذا كان العمل وزعاً بانتظام على سطح طبقة عميقة ، فإن مقدار التهورط المباشر لأساس دائري أو مستطيل يحسب باعتماد نظرية المرنة الأولى :

$$S_i = \Delta q_s \frac{B(1-\mu^2)}{E} \quad (5.2)$$

حيث أن

- S_i - مقدار التهورط الأولي لقطة على السطح
- B - قطر الدائرة أو بعد الأضفاف للمستطيل (L = بعد الإتجاه)
- Δq_s - مقدار العمل المزمع بانتظام على السطح
- μ - نسبة بواسون (Poisson's ratio)
- E - معامل الشدود (deformation modulus)
- I_1 - معامل التأثير (influence factor)
- $I_1 = \frac{\text{النقطة ووحد من العدول}}{\text{النقطة ووحدة من العدول}} - 5.1$
- ويعتمد على الشكل وموقع

1. قيم معامل التأثير المقطعة في الجدول - 5.1
2. قيم معامل التأثير الشاقولية متصلة ومتعددة لطين مشبع . فإن الأفرضيات التقريريـة تتحـتـلـ الـمـرـكـرـ ، الـأـوـرـيـةـ . مـصـنـفـ الضـلـعـ الـقـصـيرـ وـيـسـتـصـفـ الضـلـعـ الطـوـلـ . وـمـوـجـبـ المـعـادـلـ
3. فإن الإرادة الشاقولية تتناسب طردياً مع كل من الإجهاد والعرض لمساحة التحمل . وإن توزيع الإرادة الشاقولية هو على النطـيـرـ فيـ الشـكـلـ - (a)ـ وـتـقـيـدـ الـأـرـاجـةـ بـعـيـدـاـ عنـ حـافـاتـ مـسـاحـةـ التـحـمـيلـ . وـانـ ضـغـطـ الصـاسـ (contact pressure) بين مساحة التحمل والمكتلة المسالدة متنظم .
4. وفي حالة وجود ترسـيات متـطلـة وـمـتـعـدـةـ لـطـينـ مشـبعـ . فإنـ الأـفـرـاضـ التـقـرـيرـيـ
5. للمـعـارـيـدـ ثـابـتـ فـيـ كـلـ مـكـانـ مـنـ التـرـسـاتـ يـكـونـ صـابـيـاـ وـانـ تـوزـعـ الـأـرـاجـةـ يـكـونـ بالـمـطـ

5.2.3 النوية المتطبقة

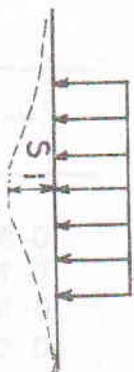
إن توصيات التربة عادة في الغلب الحالات تكون يسخن محدود وبطريقة تجنبية صلدة وللحالات التي فيها نسبة برواصوف 0.5 . فإن العمل لمعدل الإزاحة الشاقولية تحت المساحة القابلة للانشاء ومحملة بضغط منظم Δq_s قد تم من قبل يامبو (Janbu)

بيرم (Bjerrum) وكيرتسلي (Kjaernsli) . ويشتمل العمل المساحات الدائرية . المسطحية والشرطية لای عمق تحت السطح . وإن الإزاحة الشاقولية اعطيت بالشكل الآتي -

$$S_i = \mu_0 \mu_i \frac{\Delta q_s}{E} \quad (5.3)$$

وقيم الحالات μ_0 و μ_i يمكن الحصول عليها من الشكل 5.3 . وإن أساس الرأب (superposition) يمكن أن يستعمل لاحتساب الأزاحه في التربة الشاقولية التي لكل جملة منها قيمة مختلفة من معابر الشهوة .

(a) الدين



(b) الرمل



5.2.2 توزيع الإزاحة الشاقولية

السين في الشكل 5.2(a) . فإن القبضة للمعامل E تتغير مع الصيغة المحيط (confining pressure) . ولأن ذلك فهو زياده مع العمق لغير العرض لمساحة التحميل . وكلمه أكر تعرفت فرتك مساحة التحميل من على العوامل . فإن توزيع الإزاحة الشاقولية ستكون بالشكل 5.2(b) .

5.2.2.1 مساحة التحميل قابلة للانشاء

5.2.4 معابر التشوه

إن العمل الوارد إعلاه للإزاحة الشاقولية تستعمل في الدرجة الأولى لتخمين الهواء الأول للأسس على الطين الشمع . ولحدوث مثل هذا الهواء تحت حالات عدم الجر ، فإن القسم الملائم لنسبة برواصون كونها 0.5 . ويطلب قيمة العاير E_u للحمل المفروض . وتحذر الاشارة إلى أنه من الصعب جدا تقدير معابر التشوه E_u غير المبرولة . وذلك لأن المعاير خلال التحميل بخلاف عدم الجر حساس جدا المفروض له بشكل صحيح . وهو الحال في التربة غير المترابطة . فالطين والماء في التربة غير المترابطة يشكل صريح . ولذلك لا ينصح بالاستعمال في التربة غير المترابطة .

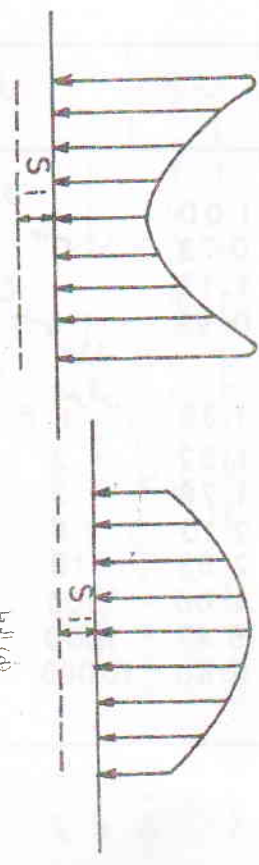
بعوامل كبيرة مثل معدل التحميل . علاوة على ذلك . فإن المعاير E_u متأثر إلى مسووب الإجهاد (stress level) . وهذا ينطبق على الحالات التي فيها معاير مختلفة عند استغراقها .

هذه أول اجراء الفحص غير المبرول (unconsolidated undrained)

UU (لترية يعطي نتائج واطحة جدا . وأنه بالامكان الحصول على نتائج للمعاير E_u أكثر وفعالية اذا اعيد اضماع) (reconsolidated) (العينات تحت مجموعة اتجاهات مساوية ل تلك الموجودة في الواقع او اذا اعيد اضماع العينات بجهد موحد)

العوامل (isotropic) مساواة $\frac{1}{2}$ الى $\frac{2}{3}$ الجهد الشاقولي في المرقع .

(c) الدين



(d) الرمل

(e) الورل

وأن ميترنباخ (Menzelbach) ثبت علاقة مستطلة بين ناتج فحص الانحراف

القياسي وعمر الشو₀ للترية الحسيبة وإن هذه العلاقة مبنية في الشكل

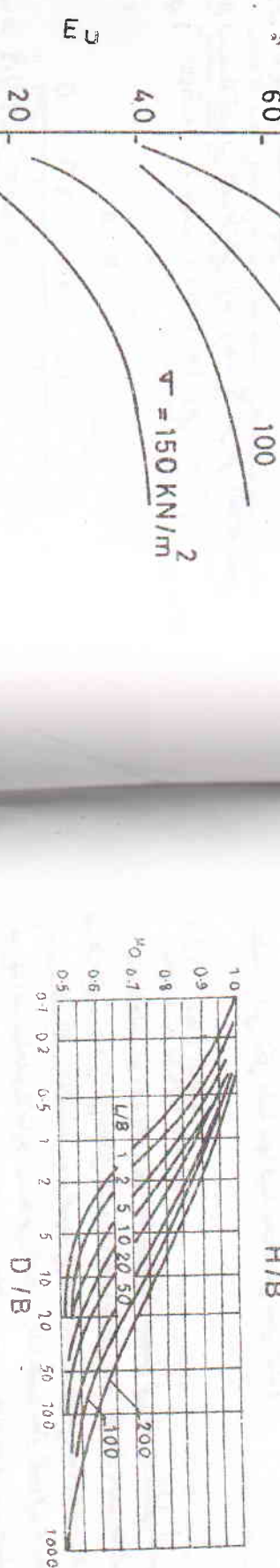
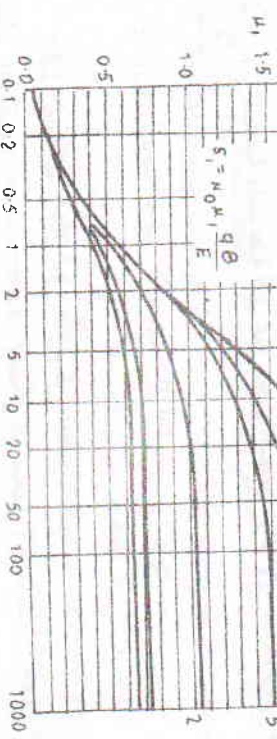
ل مختلف قيم ضغط التثبيل المتر⁰ وإن القسم لمعلمات الشو₀ تستخدم بعد

المحصول على مقدار الهيكل الأولي من المادة - 5.2 . وبمقدار الإشارة إلى أن نسبة

بواصون يجب أن تؤخذ 0.15 للترية الحسيبة الخشنة و 0.25 للترية الحسيبة

الذاعنة

برواصون يجب أن تؤخذ 0.15 للترية الحسيبة الخشنة و 0.25 للترية الحسيبة



الشكل 5.3-5.5: نتائج لآلات فحص الانحراف.

هذا وإن قيمة E_0 ممكن أن تعين من النتائج لفحص التحميل في الموقع . ومن النتائج تقل هذه الفحوص . فإن كل المعاملات في المادة 5.2 معرفة ماعدا العامل الذي يمكن بعد ذلك أن يعين . وأن فحص التحميل يصل إلى $\frac{E}{E_0} = 1$

تحيين أحسن المعاملات المؤنة التي تتحمل الإختبار الأولى للأسس . وعلى كل حال فإن صفات التحميل الصغرى لا يسكنها إن تستكملي بالاستقراء الإختبار . الأساس بالقياس الطبيعي وذلك لأن هيكل الأساس ممكّن أن يتأثر بوجود طبقات بعيدة تحت المنظمة المأثرة من صبيحة الشخص الصغيرة .

رسمن المحصل على عماري الشو₀ من مقدار مقاومة المحوط المسائية التي وضعتها

الشكل 4: عماري الشو₀ من فحص الانحراف القبلي

رسمن المحصل على عماري الشو₀ من مقدار مقاومة المحوط المسائية التي وضعتها

الشكل 5: عماري الشو₀ من فحص الانحراف

- 5.5 - عامل التأثير للأطفال الشفافي ، الشكل
 I_2 = عامل التأثير للأطفال الشفافي ،
 E = عامل الشوه للطبيقة التي يتخزن ، ΔZ
 C_1 = عامل الصحيح للمعكم ويؤخذ من المعادلة الآتية :-

$$C_1 - 1 - 0.5 \left(\frac{\sigma_0}{\Delta \sigma} \right) \geq 0.5 \quad (5.7)$$

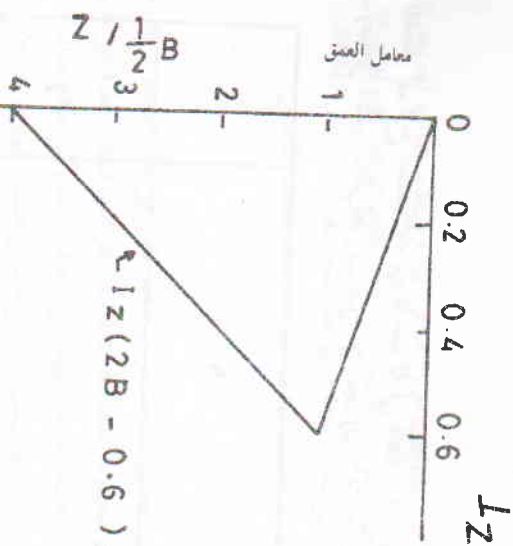
σ_{01} = ضبط التغيل المؤثر عند مستوى عمق الأساس
 C_{21} = عامل الصحيح المضمن الزيادة في الهبوط مع الزمن . ويؤخذ من العلاقة الآتية :-

$$C_2 = 1 + 0.2 \log_{10} \frac{t}{0.1} \quad (5.8)$$

t = الزمن بالسنوات الذي يكون فيه الهبوط معهها بالنسبة لالمشا

وقد أرسى شميرمان معيي مبسط للحصول على معامل التأثير للأطفال الشفافي
 I_1 وسماه معيي $0.6 - 2B$ حيث إن العامل I_1 هو متعلق بمعامل العمق
 للأبددي B وكما بين في الشكل

$$\frac{S_i}{S_0} = \frac{4}{(1 + B_0/B)^2} \quad (5.5)$$



حيث أن I_1 = الهبوط الأولي لأساس عرضه B
 $S_1 = S_0$ = هبوط صفيحة التحميل التي عرضها B_0
 ولا يتحقق أن العلاقة تكون جيدة للترية المتجانسة . وفي حالة وجود تربة متقطعة فإن
 النتائج مضللة ولا يمكن الأخذ بها .

هذا وإن شميرمان (Schmertmann 1970) أفسح الطريقة الآتية لحساب الهبوط
 للترية الرملية معمدنا على نتائج فحص الأختراق المخروطي . وفي هذه الطريقة
 يمكن الأخذ بنظر الأعتبرات في قيم عماير التشوه مع العمق . وأن المعادلة هي

$$S_i = C_1 C_2 \Delta \sigma \sum_0^{2B} \frac{1}{E_i} \Delta Z \quad (5.6)$$

الشكل 5.5 عامل التأثير للأختبار الأendum الشفافي .

حيث أن $\Delta \sigma$ = ضبط التحميل الصافي على عمق قاعدة الأساس .

حيث أن q_i = مقاومة المخروط السانتي Kg/cm^2 . ويمكن الحصول على مقدار
 q_c للتراب المختلفة من العلاقة بين q_i/N (N = عدد الضربات من فحص
 الأخيرق التقليسي) ونوعية التربة وكما بين أدناه :-

قيمة q_i/N

| نوع التربة | قيمة q_i/N |
|---|--------------|
| الغرين والغررين الرملي . والرمل الغربياني الشاذل | 2.0 |
| رمال نظيف ناعمة إلى متوسطة . رمال غritisية قليلًا | 3.5 |
| رمال خشندة ورمال معه قليل من الحصى | 5.0 |
| حصى رملية . وحصى | 6.0 |

5.2.5 - طرق تجريبية للاحساب الهبوط

إن العلاقة المستعملة كثيراً بين الهبوط على الرمل وبعد الأساس هي العلاقة التي
 وضعها تراكي (Terzaghi 1967) وبيك (Peck 1967) وهي :-

$$\frac{S_i}{S_0} = \frac{4}{(1 + B_0/B)^2}$$

حيث أن S_i = الهبوط الأولي لأساس عرضه B

S_0 = هبوط صفيحة التحميل التي عرضها B_0

ولا يتحقق أن العلاقة تكون جيدة للترية المتجانسة . وفي حالة وجود تربة متقطعة فإن
 النتائج مضللة ولا يمكن الأخذ بها .

الشكل 5.5 للحصول على عامل التأثير للأختبار الأendum الشفافي .

| رقم المستطيل | أبعاد المستطيل | I_p | L/B | BL_p |
|--------------|----------------|--------|----------------|--|
| 5.6 | الشكل - 4 | $2.5m$ | 4×1 | الأسس قابل للارتفاع على قرية طيبة بأبعاد |
| 5.6 | الشكل - 4 | $2.5m$ | 1×1 | حمل موزع بالظام مقداره . فإذا كان معدن معاير الشوه من تجربة |
| 0.56 | 1 | 0.56 | 1 | المحصر الملاحي المعاور 200 KN/m^2 وكانت نسبة بواسون 0.5 ، أحسب مقدار |
| 0.67 | 1.5 | 0.67 | 1×1.5 | الهواء الأولي تحت القطة 8 |
| 1.14 | 2 | 0.76 | 2 | |
| 0.88 | 3 | 0.88 | 1×3 | |
| | 4 | | 4 | |

3.25

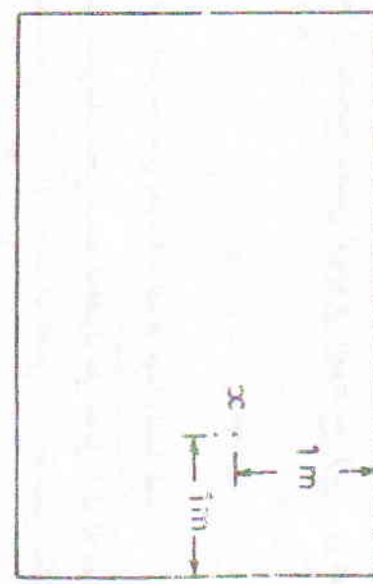
ومن المعادلة 5.2 نحصل على

$$S_i = \Delta q_s \frac{(1 - \mu^2) BL_p}{E}$$

$$= 200 \frac{(1 - 0.25)}{200000} \times 3.25$$

$$= 2.44 \text{ cm.}$$

المثال 5.2



الشكل 5.6

الحل

اساس بأبعاد $4m \times 2m$ عليه حممل صافي موزع بالنظم مقداره $E_u = 35 \text{ MN/m}^2$ وعلى عمق $1m$ من سطح ارض طينية يبغى $E_u = 45 \text{ MN/m}^2$ ويعاير شوها وتحتها طبقة اخرى من الطين يبغى $4m$ ولها مقاومة مقداره 5.1 وتحتها طبقة صلبة احسب معدل الهبوط الملاشر تحت الاساس.

الحل :-

إن الشكل - 5.3 يمكن ان يستعمل لтикيف الملاشر في معالجة الشوه E_u مع الحدق وذلك باستبدال المجموعه المتعدد للطبقات واخراضاها طبقة واحدة على قاعدة صلدة . وإن عمق هذه الطبقة الفترضية تمتد على العاقيب لنضم كل طبقة طبقية . وإن القسم الملاشر الى اربع مستطيلات يرواها مشترك في نقطة x وتكون ابعاد المستطيلات ومعدل التأثير الملاشر لكل مستطيل من العدوى 5.1 يمكن ايجاد الهبوط بكل طبقة ونجمع للطبقة فوق كل طبقة حقيقية . ويمكن ايجاد الهبوط بشكل متصل لكل طبقة ويجمع ليعطي الهبوط الكل . وإن الشكل - 5.7 يوضح الحل

المثال 5.1

الأسس قابل للارتفاع على قرية طيبة بأبعاد 4×1 ، فإذا كان معدن معاير الشوه من تجربة حمل موزع بالظام مقداره 200 KN/m^2 وكانت نسبة بواسون 0.5 ، أحسب مقدار المحصر الملاحي المعاور 20000 KN/m^2 ، وكانت نسبة بواسون 0.5 ، أحسب مقدار الهواء الأولي تحت القطة 8

| | |
|---|---|
| 4 | 1 |
| 3 | 2 |
| 2 | |

يمكن استعمال المعادلة 5.3 للحصول على مقدار البهظ

$$S_i = \mu_0 \mu_1 \frac{\Delta q_s B}{E}$$

$$D/B = 0.5$$

$$L/B = 2$$

$$\mu_0 = 0.9$$

يكون

وفي الحالة الأولى التي تضم المقدار S_{d_1}

$$H/B = 4/2 = 2$$

$$L/B = 2$$

$$\mu_1 = 0.7$$

$$\therefore S_{n_1} = 0.9 \times 0.70 \times \frac{200 \times 2}{35000} \times 1000$$

$$= 7.2 \text{ mm}$$

وفي الحالة الثانية التي تضم المقدار S_{d_2} يكون

$$H/B = 4.0$$

$$L/B = 2$$

$$\mu_1 = 0.85$$

$$\therefore S_{n_2} = 0.90 \times 0.85 \times \frac{200 \times 2}{45}$$

$$= 6.8 \text{ mm}$$

وفي الحالة الثالثة التي تضم المقدار S_{d_3} يكون

$$H/B = 2$$

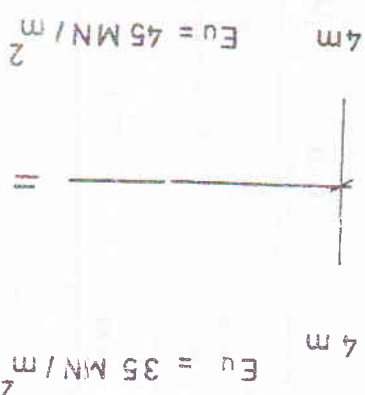
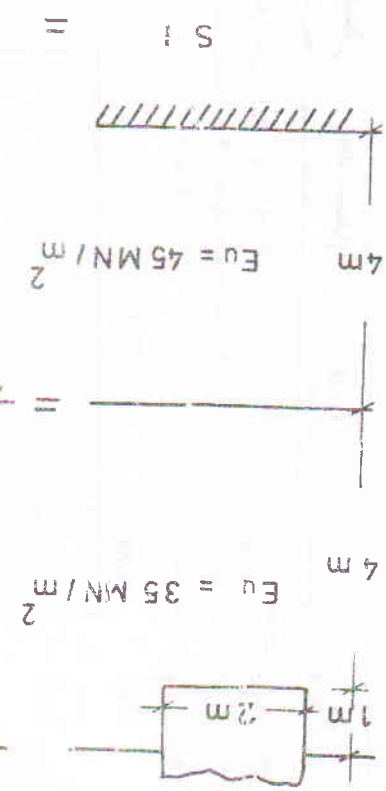
$$L/B = 2$$

$$\mu_1 = 0.70$$

$$\therefore S_{n_3} = 0.90 \times 0.70 \times \frac{200 \times 2}{45}$$

من الشكل 5.3

من الشكل

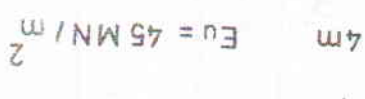
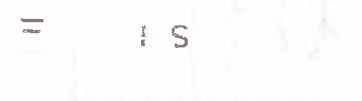


$$E_u = 35 \text{ MN/m}^2$$

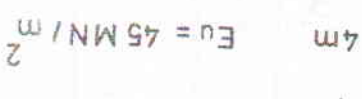
$$E_u = 45 \text{ MN/m}$$

$$= \text{---} + \text{---} + \text{---} + E_u = 45 \text{ MN/m}$$

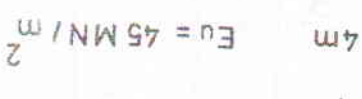
$$S_{11} + S_{12} - S_{13}$$



$$E_u = 45 \text{ MN/m}$$



$$E_u = 35 \text{ MN/m}^2$$



$$E_u = 35 \text{ MN/m}^2$$

الحل

يتحقق الحل الخطوات الآتية

1- ارسم المحنى $2B$ الذي يبين توزيع معامل التأثير للأفعوال = 0.6

2- وسنتاها إلى مقطع التوزيع مقاطعه المقاومة المخروط الساقية q والوزير 6.0

3- قسم العميق إلى عدد ملايين من الطبقات كثما هو ممكن في الشكل $5.8b$

4- حدد المعدل للمقدار q لكل طبقة ثم أحسب معابر الشهود E لها

من المعادلة 5.4 كثما هو ممكن في المعود (3) و (4)

5- احسب المقدار ΔZ () لكل طبقة ثم أحسب معابر الشهود E ()

6- عين المعن لتصبح كل طبقة C_1 من المعود (5) . وحد قيمه 1 للذلك العمق من الشكل $5.8a$ بين القيم في المعودين (r)

7- احسب المقدار C_1 طبقة وأجمع الناتج . المعود (7)

8- احسب C_1 من المعادله E ويسكون ضغط التقير الأولي على عيوب الأساس.

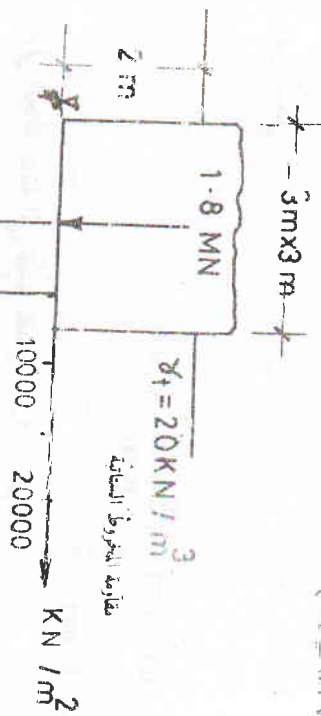
$\sigma_0 = 2 \times 20 = 40 \text{ KN/m}^2$

وأضغط الصافي على الأساس

$$\Delta\sigma = \frac{1800}{3 \times 3} = 40$$

$$= 160 \text{ KN/m}^2$$

$$C_1 = 1 - 0.5 \left(\frac{\sigma_0}{\Delta\sigma} \right) \\ = 1 - \frac{0.5 \times 40}{160} = 0.875$$



معامل التأثير للأفعوال



معامل التأثير للأفعوال



معامل التأثير للأفعوال



معامل التأثير للأفعوال



معامل التأثير للأفعوال



معامل التأثير للأفعوال



الشكل
أساس لشان على قرية من الرمل الغريني . الرسم التخطيطي له مبين في الشكل 5.8 . فإذا كان مقدار العمل الكلي 1.8 MN فاحسب مقدار الاهتزاز مباشرة بعد الشيء $(t = 0.1 \text{ sec})$

$$S_r = 7.2 + 6.8 = 5.6 \\ = 8.4 \text{ mm}$$

الشكل

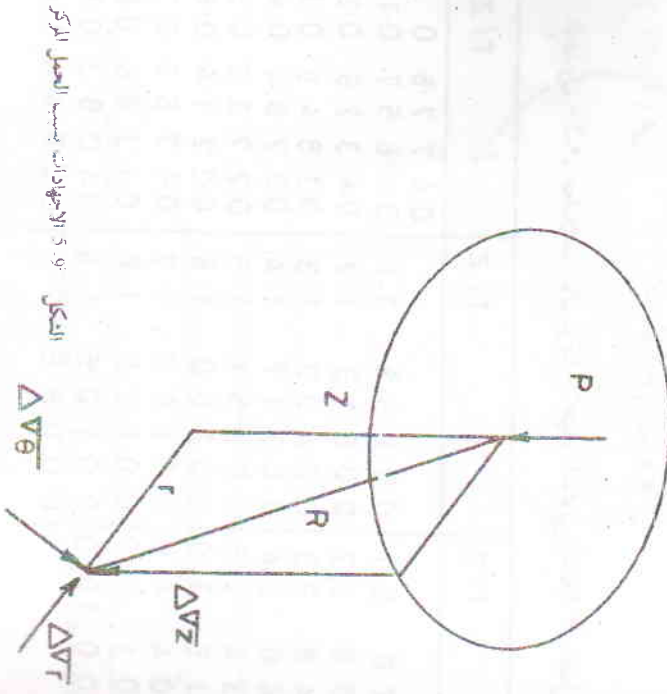
حساب الأجهادات داخل القرية

1.3.5 - مقدمة

إذا الأجهادات ضمن كلالة بعض غير محددة في . وتحالفة . ووحدة المعاصر .
 التي يمكن أن تتحقق عليها فرضية النسب الخطى بين الأجهاد والأفعال . والبسى عن
 حمل مركز على المسطح قد حدودت من قبل بوسينس (Boussinesq) في 1885
 يمكن الحصول على الأجهادات المنسية عن حمولات سطحية موزعة على مساحة معينة
 بكلالة العمل للحمل المركب في نقطة . وقد تم الحصول على الأجهادات في نقطه الناتجة
 عن أكثر من حمل سطحي واحد بالتزاكب (superposition) .

1.3.2 - الحمل المركز

الله اختيار بوسينس الحاله التي يكون فيها الحمل P مركزا في نقطه (point load) . ووحدة الأجهادات والأفعالات على عنقر Z ومسافة قيقية r . من نقطه المأمور كينا هو بين في الشكل - 5.9 .



| (1) | (2) | (3) | (4) | (5) | (6) | (7) |
|----------|------|-------|------|-------|------------------------|----------------------------|
| z | m | m | m | m | $\frac{1}{E} \Delta z$ | $(\frac{1}{E} \Delta z)^2$ |
| 0.000020 | 0.2 | 0.5 | 1.25 | 3.25 | 0.00012 | 0.000057 |
| 0.000057 | 0.38 | 1.0 | 3.5 | 10.0 | 0.00012 | 0.000020 |
| 0.00012 | 0.5 | 2.0 | 6.5 | 20.0 | 0.00020 | 0.000057 |
| 0.00020 | 0.62 | 2.5 | 8.5 | 25.0 | 0.00057 | 0.000020 |
| 0.00057 | 0.68 | 3.25 | 10.5 | 32.5 | 0.0012 | 0.000057 |
| 0.0012 | 0.72 | 4.0 | 12.5 | 40.0 | 0.0020 | 0.00012 |
| 0.0020 | 0.75 | 4.5 | 13.5 | 45.0 | 0.0057 | 0.00020 |
| 0.0057 | 0.78 | 5.25 | 15.5 | 52.5 | 0.012 | 0.00057 |
| 0.012 | 0.80 | 6.0 | 16.5 | 60.0 | 0.020 | 0.0012 |
| 0.020 | 0.82 | 6.75 | 17.5 | 67.5 | 0.057 | 0.0057 |
| 0.057 | 0.85 | 8.5 | 20.5 | 85.0 | 0.12 | 0.012 |
| 0.12 | 0.87 | 10.25 | 22.5 | 102.5 | 0.20 | 0.020 |
| 0.20 | 0.90 | 12.0 | 25.0 | 120.0 | 0.57 | 0.057 |
| 0.57 | 0.95 | 15.75 | 32.5 | 157.5 | 1.2 | 0.12 |
| 1.2 | 0.98 | 18.5 | 35.0 | 185.0 | 2.0 | 0.20 |
| 2.0 | 1.00 | 20.0 | 37.5 | 200.0 | 5.5 | 0.57 |
| 5.5 | 1.02 | 22.5 | 40.0 | 225.0 | 10.0 | 1.00 |
| 10.0 | 1.05 | 25.0 | 42.5 | 250.0 | 32.5 | 50.00 |
| 32.5 | 1.10 | 32.5 | 50.0 | 325.0 | 100.0 | 1000.0 |
| 100.0 | 1.15 | 40.0 | 60.0 | 400.0 | 325.0 | 10000.0 |
| 325.0 | 1.20 | 47.5 | 67.5 | 475.0 | 100.0 | 50000.0 |
| 1000.0 | 1.25 | 55.0 | 75.0 | 550.0 | 32.5 | 100000.0 |
| 50000.0 | 1.30 | 62.5 | 82.5 | 625.0 | 10.0 | 1000000.0 |
| 100000.0 | 1.35 | 70.0 | 90.0 | 700.0 | 5.5 | 0.000009 |
| 0.000009 | 1.40 | 77.5 | 97.5 | 775.0 | 2.0 | 0.000098 |

5.3.3 - الحمل المتنظم فرق مساحة دائرية

vertical stress increment

وبالنسبة إلى الأجهاد في الأجهاد الشاقولي (

في تلك النقطة 2

عند احتساب الأجهاد الشاقولي في الزاوية تحت المنشآت . يفترض عادةً كون المنشآت قابلة للانثناء (flexible) . وإذا كانت المساحة على السطح لكتلة راسمة جدًا عليها حمل موزع بانتظام مقداره Δq_s . فإن الزاوية في الأجهاد الشاقولي على إية نقطه N ، الشكل 5.10 . داخل كتلة التربة يمكن حسابها بقسم مساحة التحمل

إلى إجزاء صغير dA . كل واحدة منها عليها حمل $dP = \Delta q_s (dA)$ ويؤثر هذا الحمل في المركز المروسط للمساحة dA واستناداً إلى المعادلة 5.10 يولد كل حمل موكر في نقطة N زيادة في الأجهاد الشاقولي مقدارها

$$\Delta \sigma_z = \frac{P}{Z^2} \quad (5.10)$$

$$\Delta \sigma_z = \frac{3}{2\pi Z^2} \left[\frac{1}{1 + \left(\frac{r}{Z} \right)^2} \right]^{5/2} dA \quad (5.11)$$

$$\Delta \sigma_z = \frac{3}{2\pi} \left[\frac{1}{1 + \left(\frac{r}{Z} \right)^2} \right]^{\frac{5}{2}} dA \quad (5.11)$$

حيث إن

$$dP = \Delta q_s (dA) \quad (5.11)$$

ومن هنا يتبيّن أن معامل التأثير 1 . يعتمد على النسبة $\frac{r}{Z}$ وإن قيم معامل اللاملاط في الجدول 5.2 وستكون الزيادة في الأجهاد تحت الحمل مباشرة $(r=0)$ هي $\sigma_Z = 0.4775 P / Z^2$

الجدول 5.2 . معاملات التأثير المركبة للأجهاد الشاقولي لاتفاقية عن حمل موكر

| I | r/Z | I | r/Z | I | r/Z |
|-------|-------|------|--------|-----|-----------|
| 0.000 | 0.70 | 2.1 | 0.0658 | 1.1 | 0.47750 |
| 0.000 | 0.58 | 2.2 | 0.0513 | 1.2 | 0.46570 |
| 0.000 | 0.48 | 2.3 | 0.0402 | 1.3 | 0.43290 |
| 0.000 | 0.40 | 2.4 | 0.0317 | 1.4 | 0.38490 |
| 0.000 | 0.34 | 2.5 | 0.0251 | 1.5 | 0.32940 |
| 0.000 | 0.30 | 2.0 | 0.0200 | 1.6 | 0.27330 |
| 0.000 | 0.25 | 3.0 | 0.0170 | 1.7 | 0.22940 |
| 0.000 | 0.20 | 4.0 | 0.0160 | 1.7 | 0.17620 |
| 0.000 | 0.15 | 5.0 | 0.0129 | 1.8 | 0.13860 |
| 0.000 | 0.10 | 10.0 | 0.0105 | 1.9 | 0.10830 |
| 0.000 | 0.085 | 2.0 | 0.0085 | 2.0 | 0.08441.0 |



الشكل 5.10 . الأجهاد في الأجهاد الشاقولي

هذا وتحسب الزيادة في الأجهاد الشاقولي $\Delta \sigma_z$ عند القطة N والنسبية عن المساحة

الكلية من مكانة المادلة 5.11 لكل مساحة التحمل وتكون كالتالي :

$$\Delta \sigma_z = I \Delta q_s$$

حدا وان الاجهاد تحت اي نقطة على النجم او داخل مساحة مستطيلة مثل المقطفه

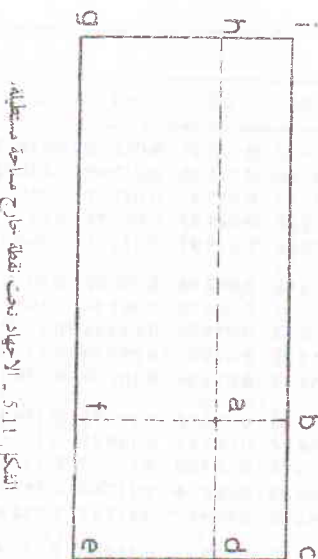
في الشكل - ٥.١١ يساوي مجموع الاجهاد الدائريه تحت الارواه للمقطفات

$$z_{hib} = abcd + aef + afgh + ghij$$

البعض تحت الارواه

يساوى مجموع الاجهاد الدائريه تحت الارواه

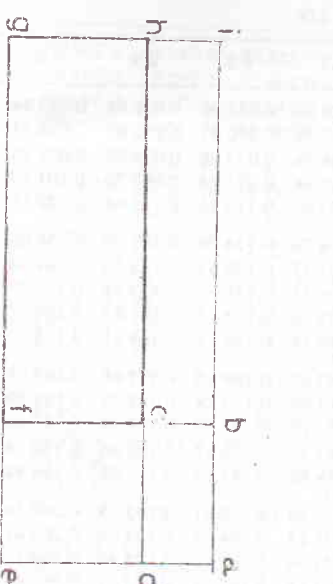
تحت المقطفه



الشكل ٥.١١ . الاجهاد تحت نقطه داخل مساحة مستطيلة

ويسكن حساب الاجهاد تحت نقطه a خارج مساحة مستطيلة محيطة كما في الشكل - ٥.١٢ على الشكل الآتي :

$$\Delta \sigma_r = \Delta q_s I_{neq} - I_{eq} + I_{adv}$$



الشكل ٥.١٢ . الاجهاد تحت نقطه داخل مساحة مستطيلة

الحمل المست sistem فوق مساحة مستطيلة

بن نومارك (Newmark) ان المركبة الشاقولية للرافدة في الاجهاد . $\Delta \sigma_r$.

على عمق Z تحت الارواه مساحة مستطيلة . وتحمل مستلزم ويطول L . وعرض B

$$\Delta \sigma_r = I (I \Delta q_s)$$

حيث ان

$I =$ معامل التأثير المعدل على Z/L او B/Z ويختلف من الجدول - ٥.٤ .

| Z/R | I | Z/R | I | Z/R |
|-------|-----|-------|-------|-------|
| 0.2 | 6.4 | 2.1 | 0.595 | 1.1 |
| 0.2 | 4.5 | 2.2 | 0.547 | 1.2 |
| 0.2 | 2.9 | 2.3 | 0.502 | 1.3 |
| 0.2 | 1.4 | 2.4 | 0.461 | 1.4 |
| 0.2 | 0.0 | 2.5 | 0.424 | 1.5 |
| 0.1 | 4.6 | 3.0 | 0.390 | 1.6 |
| 0.0 | 8.7 | 4.0 | 0.360 | 1.7 |
| 0.0 | 5.7 | 5.0 | 0.332 | 1.8 |
| 0.0 | 1.5 | 10.0 | 0.307 | 1.9 |
| 0.2 | 8.4 | 2.0 | 0.646 | 2.0 |

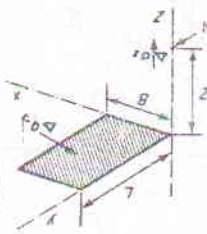
الجدول - ٥.٤ معامل التأثير للأجهاد الشاقولي للحمل الدائري الموزع بال sistem تحت المؤثر

بعد الافقي عن السطح داخل كلية التربية .

= معامل التأثير للأجهاد الشاقولي للحمل الدائري الموزع بال sistem تحت المؤثر .

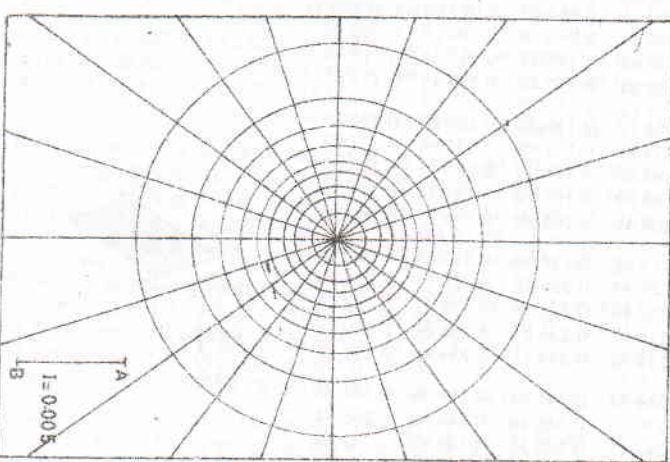
= تصف فظر المساحة الدائرية

= البعد الافقى عن المؤثر



5.3.5 - مخطط التأثير للإجهاد الشاقولي

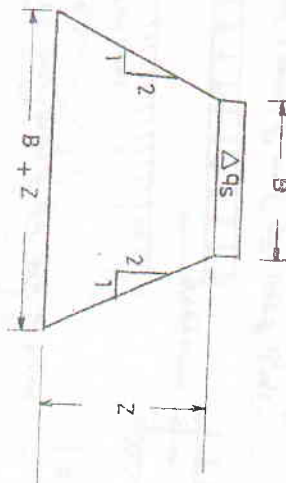
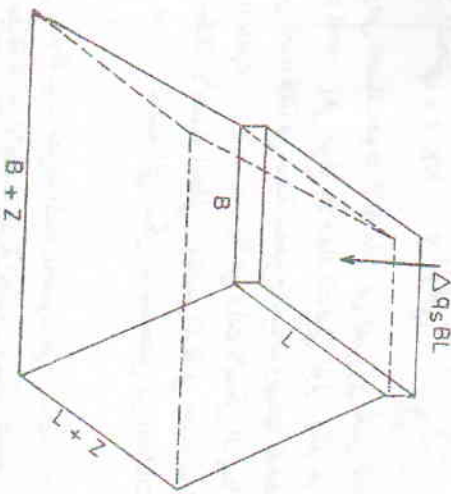
ووضع نموذج مخطط التأثير (influence chart) في المادلة 5.11 . ونوه يمكّن تعين الإجهاد الشاقولي في نقطة تحت ساحة الإجهاد الشاقولي في المادلة 5.13 على مخطط المخطط المبين في الشكل 5.13 . ويحتوي المخطط المبين في الشكل 5.13 على مساحات محمل ينبعض متنظم Δq_s . تضم كل منها هو خطان شعاعيان وقوساً دائريين هذا ورسماً ساحة التحميل في الشاقولي . تتم كل منها بخطاب شعاعيان وقوساً دائريين الذي عده يطلب الإجهاد الشاقولي . ويكونون موضع درق استئناف (paper tracing) بمقياس يحيط أن الطول المقابس الخط على المخطط يمثل المدى Z الذي عده يطلب الإجهاد الشاقولي . ويكون موضع ساحة التحميل على المخطط يعيّن أن النقطة التي تتحتها يطلب الإجهاد الشاقولي تكون في مركز المخطط والمخطط المبين في الشكل 5.13 قيمة ثالثي هي 0.005 . وعليه إذا كان عدد ساحات التأثير بالقياس المرسوم لساحة التحميل هو N ، فإن الإجهاد الشاقولي المطلوب هو $\Delta \sigma_z = N \Delta q_s$. وقدر اجزاء ساحة التأثير غير الكاملة الواقعة ضمن ساحة المشا وتصاف إلى العدد N .



5.3.6 - توزيع الإجهاد تحت بالطريق

لقد ابتكرت طرق تقريرية مختلفة لحساب الإجهاد في الأجهاد المتسب عن حمولات الأسس . والطريقة 2:1 هي تقرير جيد لمعدل الأجهاد تحت الأساس عند مسافة على مساحة بنفس الشكل مثل مساحة التحميل على السطح . ولكن بابعاد تؤدي بمقدار ضحايا العقد تحت السطح . وهذا موضوع في الشكل 5.14 الذي بين مساحة مستطيل يبعد عمق Z على السطح . وعلى عمق Z يفترض تكون الحمل الكلي وزاراً بالتفاصيل على مساحة $(Z + L) \times (B + Z)$. وهذا يعني أن

$$\Delta \sigma_z = \frac{(\Delta q_s) B L}{(B + Z)(L + Z)} \quad (5.14)$$



الشكل 5.14 توزيع الإجهاد تحت الطريق

(normally consolidated clay)

(overconsolidated clay)

under consolidated clay)

الطين الطبيعى الانضمام
الطين المفطط الانضمام
الطين الافقى الانضمام

عندما تنقل حمولات الأساس إلى التربة التحساسكية والمشببة ، فإن هناك

بعض الطرق لانتعال الحجمي يظهر في زيادة ضغط ماء السماء . وبعد مرور زمان كاف

إن الطين طبيعى الانضمام هو ذلك الذي لم يعرض للضغط مؤثر أكبر من ضغط التقبيل الموجود وإن الضغط قد تم بوسائله ضغط التقبيل الموجود . ويعرف التربة التي تعرضت إلى ضغط مؤثر أكبر من ضغط التقبيل الحاضر بالرتبة ذات الإنضمام (preconsolidation pressure) أو التربة الفرطة الانضمام (overconsolidated soil) وتدعى التربة التي انضغامها غير كامل تحت تأثير ضغط التقبيل الموجود بالرتبة الانضمام (underconsolidated soil) والجدير بالذكر أن طريقة وجود متقدار ضغط الانضمام (Casagrande method) مبينة في الشكل 16-5 وهي طريقة كازاگراندی 1936

تمثيل سائل حلبة كبيرة . ومع ان كثيراً من الوسائل الطبيعية قد تعاني انفلاط ثانوي و ثلاثي الأبعاد ، يمكن اعتبار الانضمام في سائل كبيرة احادي الأبعاد

النقدم (a) المحظطة لعين 50

النقدم (b) المحظطة لعين 50



(a)



(b)

$$e = \log \frac{h}{h_0}$$

الشكل 16-5. الحالات الناتجة التي تفرض المروط الحديدي الزائد
لزيادة قدرة التحمل

لوнос اختبار عبود الانضمام . من الضروري تعين العلاقات بين نسبة الفراخات (void ratio) في الواقع والأجهاد الشاقولي المؤثر . وكما هو مبين في موضع آخر ، دعهمنا نكون العباية فائقة في عملية استخراج العميات وتهيئتها للفحص . فإن بعض التشويش (disturbance) لا بد منه . ولا حل ذلك لا يمكن ان يمثل وعنص الانضمام المختبر . هيحقيقة الانضمام العظلي وتعتمد المقدار في حسابات الاهتزاز على العلاقة $e = \log \frac{h}{h_0}$ التي يمكن ان تستحصل من العلاقات لمحض الانضمام

وقبل محاولة بيان الطريقة المتبعة للمحصول على العلاقة $e = \log \frac{h}{h_0}$ المقلية ، من المخبر .

الصروري معرفة تاريخ الانضمام للتربة الطبيعية . وسken تقسم الطين ، من حيث

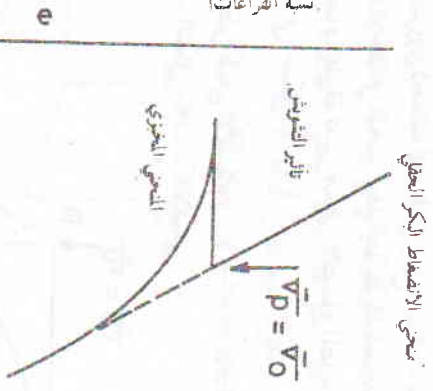
الانضمام ، إلى ثلاثة أصناف :



لوادرن الإجهاد الشاقولي

سمى الانضغاط البكر الحقل

نسبة الفراغات



σ'_e

σ'_0

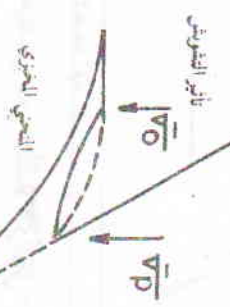
$\frac{\sigma'_e}{\sigma'_0}$

D_r

لوعارض اتجاه الانضغاط المؤثر

(a)

سمى الانضغاط البكر الحقل

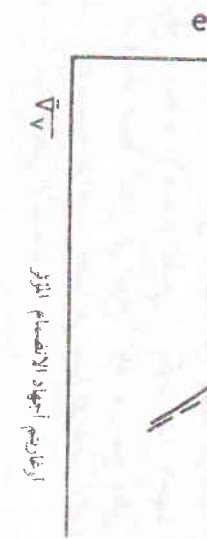


σ'_e

σ'_0

$\frac{\sigma'_e}{\sigma'_0}$

D_r

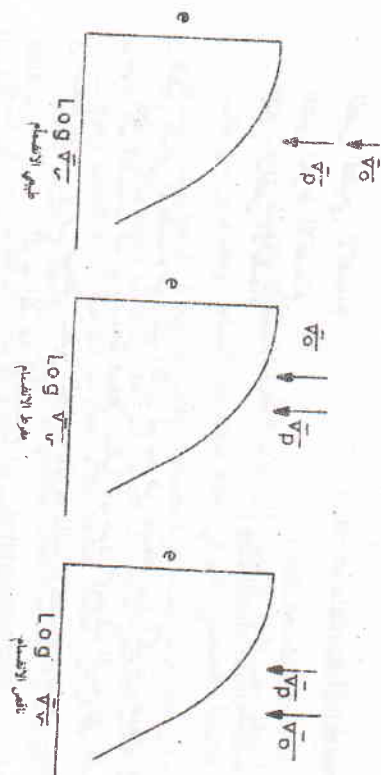


(b)

لوعارض اتجاه الانضغاط المؤثر

(رسم الشكل ١٨ ذائر الشوائب على الانضغاط

ومن الشكل ١٧ - علاقة ضغط الانضغاط المتقدم «بضغط العجلة»



σ'_e

σ'_0

$\frac{\sigma'_e}{\sigma'_0}$

D_r

لوعارض اتجاه الانضغاط المؤثر

(c)

والألاحظ في الشكل (a) - أن منحنى الضغط البكر الحقل يلي لطين طبقي الانضغاط المتقدم .ويوضح

يتنبي في المقاطلة التي يساوي فيها ضغط القليل . ضغط الانضغاط المتقدم . وأن

من الشكل أن الزيادة في العمل على هذا الطين تؤدي إلى تغير في نسبة الفراغات مناظر

الاستمرارية المقاطعة لمنحنى الضغط البكر . وتعرض العينات التي تجلب إلى المختبر

إلى انضغاط في قيمة ضغط الانضغاط المغير مع بقاء نسبة الفراغات ثابتة . الشكل -

إلا أن عند إعادة الأحماد للعمل في المختبر يظهر التقطان في نسبة الفراغات و تكون العلاقة بين

نسبة الفراغات والإجهاد الشاقولي المؤثر كما هو مبين في المنحنى المستور من الشكل -

وذلك كله بسبب الشوائب الذي يعيّب العينات .

في حالة الطين المرتبط الانضغاط البكر الحقل المسحمر إلى المقاطلة التي عليها الصبغة

في الواقع يمثل بمنحنى الانضغاط البكر الحقل إلى خطوط التقى الموجود . وأن

السابق الأكبر قد يصل وبعده نقص العدل إلى خطيط التقى الموجود .

المنحنى الراوح (rebound) يبين العلاقة في المواقع بين نسبة الفراغات ولوغاريتم

الضغط الشاقولي المؤثر خلال امتداد الإجهاد (stress relief)

الضغط البكر في الحال ينبع من منحنى امتداد الضغط الذي يحصل مع ضغط الانضغاط

المختبر عندما يصل إلى ضغط الانضغاط المتقدم . ومرة ثانية يقلل ذائر الشوائب ضغط

الانضغاط المؤثر على نسبة فراغات ثابتة ووصل منحنى المختبر الذين يحصل مستمر

الشكل -

206

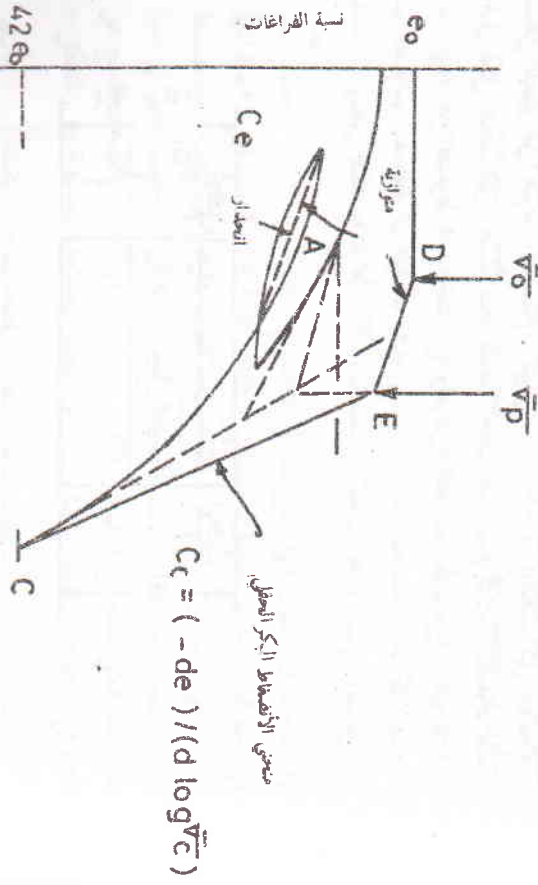
روجيه شمير تهان - 1955 اذ تessimin الاستفاضط المعتبري لمختلف درجات الشوش

وعليه من الضروري لحساب الهرط في الموقع اعتماداً على بناء مناسبة العلوي، وأملاقيات الملاحظة في المختبر. وهذا يتم بطرق شهير تمهي (Schnettmann).

هذا وفي الحالة التي يكون فيها الطفولة مفترط الانضمام . تكون المخطوطات المصطلحة

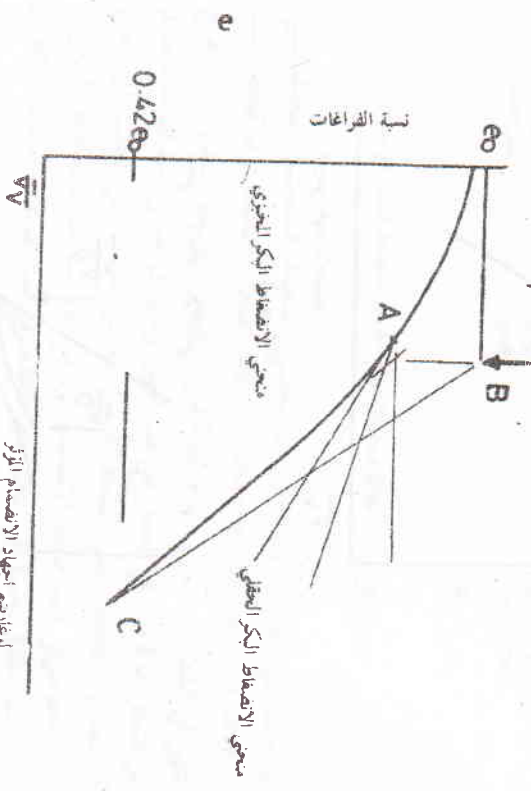
فإن الخطبات المطلوبة لـأعادة
الأنباء $= 5$ ، فإن الخطبات المطلوبة لـأعاد

بيان المعنى البحري: الشكل - ١٥٩، كلازي:



الشكل 20: 5 منحنى الانبعاث البصري العقلاني للطبل المطرد

للمعاشرات أجهزة الاتصال المتنقل



الشكل ١٩.٥ طريقة تعين ملحوظ الانبعاث البكتيري

- ١- ترسم نقطتان B و C وهذه النقطة تحمل التفاصيل المعنية الانضباط الضروري للنرية المنشورة ٥٠ لغوية فمحصل الانضباط .
- ٢- تعين نقطة C . وهذه النقطة تحمل التفاصيل المعنية الانضباط الضروري المبين في الموضع . يمكن هنا الإجهاد هو ضبط الأدلة في الموضع . وللحالة الانضمام الطبيعى . فإذا لم يسمح للطير أن يتضمن الأدلة المقدم وهو ضبط التشغيل في الموضع . وكانت نسبة الفراغات الخالية خلال المرحلة . تكون نسبة الفراغات الخالية هي نسبة الفراغات الأولى المساوية

1. ترسم نقطة D . وتمثل هذه النقطة الاجهاد المترتب في المروج ونسبة فراغات في

2. يرسم خط من نقطة D موازى الانحدار لمحني الارجع . يبعد هذا الخط حتى يقطع قيمة D^0 . ويسيرض كون الخط المستقيم DE هو المحني المحقق .

3. يأخذ الانسياق يسكن ترسن او قرب D^0 . يأخذ الانسياق وانحدار Ce . ويفصل نمسن Ce باجراء دورة الارجع

3. يعنى نقطة C . وتنشئ هذه النقطة تقاطع منحنى الانضغاط المختوى مع نسبة

فراغات تساوى $e_{EC} = 0.42$

4. يرسم الخط EC وينظر هذا الخط منحنى الانضغاط البكر الحالى

$$\Delta e_i = C_{oi} \log \left(\frac{\sigma_0 + \Delta \sigma}{\sigma_0} \right) \quad (5.17)$$

حيث أن $\Delta \sigma$ هو ضغط التقيل الأولي في متصرف الطبقه و σ_0 هو الريادة في الإجهاد الشاقوى في متصرف الطبقه C_{oi} هي قيمة معامل الانضغاط الصحيح.

ويتعرض قيمة Δe_i من المعادله 5.16 في المادله 5.17 في تحمل على

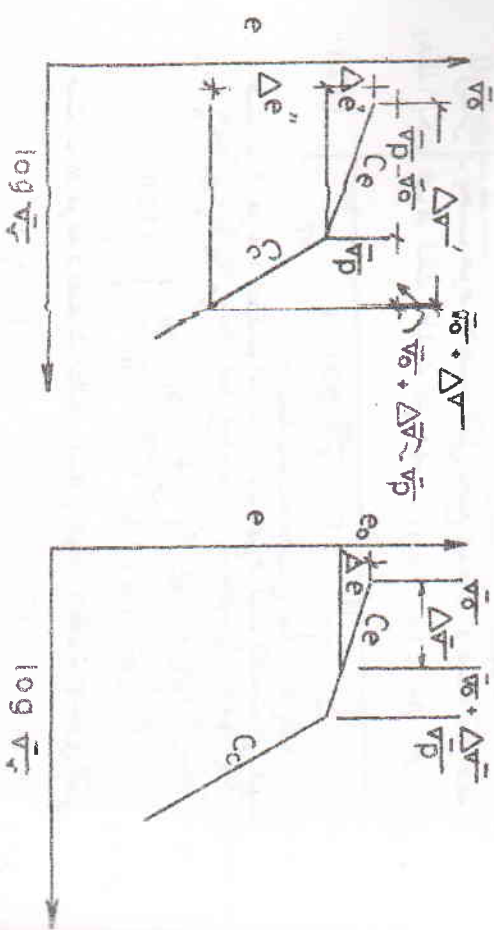
$$S_c = \sum_{i=1}^n \frac{C_{oi}}{1 + e_{oi}} \cdot Hi \log \frac{\sigma_0 + \Delta \sigma}{\sigma_0} \quad (5.18)$$

وفي الحاله التي يكون فيها الطين مفترط الانتمام ، الشكل - 5.20 . يعتمد التغير في نسبة الفراغات على مقدار الريادة في الإجهاد . فإذا كانت الريادة في الإجهاد $\Delta \sigma$ هي أكبر من σ_0 فإن انضمام التربه يتعرض إلى إعادة الضغط recompression (وللانضغاط البكر . ويمكن ان يحسب التغير في نسبة الفراغات الكلى كمجموع مركب Δe . وهي إعادة الانضغاط الناتج عن التغير في الإجهاد من ضغط التقيل 0 إلى ضغط الإجهاد H ، المذكورة في المادله 5.22 . وعليه فإن

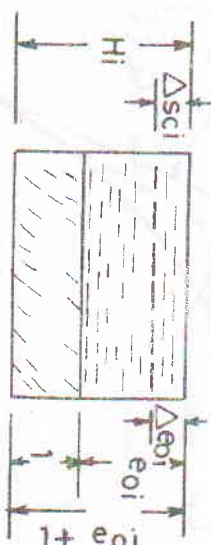
يمكن العبور عن هرط الانتمام النهائي . S_c . كافع كل بالاتجاه الشاقوى لـ كل عناصر التربه حيث يتبعه تصغير الحجم عند اتمام التلاسي لضغطه ما ، السام الزائد عن الضغط الميدوري سانية . ولفرض المسابقات يكون من الملائم عادة تقسيم الطبقات المتصرفه الى طبقات رقمية يمكن اختيارها متسانة . وإذا كان عدد المربعات n وتحس طبقه معنیه هو Hi فإن مقدار الانفعال العيشه المثل بالشكل -

5.4.2 - حساب الهبوط

يمكن العبور عن هرط الانتمام النهائي . S_c . كافع كل بالاتجاه الشاقوى لـ كل عناصر التربه حيث يتبعه تصغير الحجم عند اتمام التلاسي لضغطه ما ، السام الزائد عن الضغط الميدوري سانية . ولفرض المسابقات يكون من الملائم عادة تقسيم الطبقات المتصرفه الى طبقات رقمية يمكن اختيارها متسانة . وإذا كان عدد المربعات n وتحس طبقه معنیه هو Hi فإن مقدار الانفعال العيشه المثل بالشكل -



الشكل 5.22 رسم تخطيطي بين مقدار الانفعال الشاقوى



الشكل 5.23 رسم تخطيطي بين مقدار الانفعال الشاقوى

$$\frac{\Delta S_{oi}}{Hi} = \frac{\Delta e_{oi}}{1 + e_{oi}}$$

$$\Delta S_{oi} = \frac{\Delta e_{oi}}{1 + e_{oi}} \cdot Hi \quad (5.15)$$

$$S_c = \sum_{i=1}^n \frac{\Delta e_i}{1 + e_{oi}} \cdot Hi \quad (5.16)$$

حيث أن e_{oi} هي نسبة الفراغات الاولية في متصرف الطبقه i التي هي بست Hi .

الشكل 5.22 رسم تخطيطي نسبة الفراغات الطين الماء

الانصمام قد وصل إلى الموارد تحت ضغط التقليل السلطان كما هو الحال في المساحة المذكورة.

حيثما أو حين يكون سطح الباردة الحرارية قد خضر حدياً أو في الباردة المرسية حدثاً.

و عند تسلیط حمل إضافي على الباردة فلا يهدى الهراء تحت تأثير الحمل الموجرد

فقط ولكن تحدث تأثير الحيل الذي لم يتبع الانصمام بسببه بعد إيقافه وهذا موضح في الشكل - 5.23 الذي يبين تخطيطاً منحرفاً ل نسبة الفراغات ولوغاریتم الضغط للطين الناقص الانصمام. ويلاحظ أن ضغط الانصمام المقدم المحسوب في المختبر أقل من $\sigma_0 + \Delta\sigma$. وكما هو موضح في الشكل - 5.23 يساوي هرط الانصمام

$$\Delta e' = C_e \log \left[\frac{\sigma_0 + (\sigma_p - \sigma_0)}{\sigma_0} \right] = C_e \log \frac{\sigma_p}{\sigma_0} \quad (5.19)$$

$$\text{والآلية هي الانضغاط البكر. } \frac{\Delta e''}{5.22(a)} = \frac{\Delta e''}{\sigma_0 + \Delta\sigma} \quad (5.20)$$



$$\Delta e'' = C_e \log \frac{\sigma_0 + \Delta\sigma}{\sigma_p} \quad (5.21)$$

$$\text{ويعتبر التغير في نسبة الفراغات هو} \\ \Delta e = \Delta e' + \Delta e'' = C_e \log \frac{\sigma_p}{\sigma_0} + C_e \log \frac{\sigma_0 + \Delta\sigma}{\sigma_0} \quad (5.21)$$

وإذا كانت الزيادة في الأجهاد لا تتجاوز ضغط الانصمام المقدمة أي إن $\Delta\sigma < \sigma_p - \sigma_0$

فإن الباردة تعالى من إعادة الضغط فقط كما هو مبين في

(شكل - 5.22 (b)) فيكون التغير في نسبة الفراغات عند ذلك

$$\Delta e = C_e \log \frac{\sigma + \Delta\sigma}{\sigma_0} \quad (5.22)$$

ويمكن ان يحسب هرط الانصمام الكلي بجمع موطات الانصمام لكل طبقة. ويمكن ان يكون الهرط لتلك الطبقات التي فيها i ($\sigma_i - \sigma_{i-1} > \Delta\sigma_i$) هو

$$S'_i = \sum_{j=1}^n \frac{H_{ij}}{1 + e_{aj}} \left[C_e \log \frac{\sigma_p}{\sigma_0} + C_e \log \frac{\sigma_0 + \Delta\sigma}{\sigma_0} \right] \quad (5.23)$$

ويمكن ان يكون الهرط لتلك الطبقات التي فيها

$$S'_i = \sum_{j=1}^n \frac{H_{ij}}{1 + e_{aj}} \left[C_e \log \frac{\sigma_0 + \Delta\sigma}{\sigma_0} + C_e \log \frac{\sigma_0 + \Delta\sigma}{\sigma_0} \right] \quad (5.24)$$

حيث ان n هو عدد الطبقات المئوية . ويكون الهرط لتلك الطبقات التي فيها

$$S'_i = \sum_{j=1}^n \frac{H_{ij}}{1 + e_{aj}} \left[C_e \log \frac{\sigma_0 + \Delta\sigma}{\sigma_0} + C_e \log \frac{\sigma_0 + \Delta\sigma}{\sigma_0} \right] \quad (5.24)$$

حيث ان m هو عدد الطبقات المئوية . ويساوي هرط الانصمام الاحادي الكلي

$$S_c = S'' + S' \quad (5.25)$$

اما الطين الناقص الانصمام فان حالة تناهيا عادة في طبيعة الطين التي تمتلك ضغطاً اقصى الانصمام اقل من ضغط التقليل الموجود المحسوب . ونظير هذه الحالة عند لا يكمن

٥.٤ يساوي وتحدار ضغط التثليل

$$\begin{aligned}\sigma_{\text{و}} &= 17.1 \times 2 + 19 - 9.8(16) / 20 \\ &= 120 \text{ KN/m}^2\end{aligned}$$

$$\begin{aligned}\bar{\sigma}_p &= 120 \text{ KN/m}^2 \\ \sigma_p &= 120 \text{ KN/m}^2\end{aligned}$$

أـ بما أن ضغط الانصمام المتقدم
وتحدار ضغط التثليل

فإن التربة طيبة الانصمام . وعليه يحسب هبوط الانصمام من المعادلة

$$S_t = \frac{C_c}{1 + e_o} H \left(\log \frac{\bar{\sigma}_p + \Delta\sigma}{\sigma_p} \right) \quad (5.18)$$

$$= \frac{0.32}{1 + 0.855} \times 6000 \log \left(1 + \frac{60}{120} \right)$$

$$= 18.2 \text{ mm}$$

$$\begin{aligned}\sigma &= 200 \text{ KN/m}^2 \\ \sigma_p &= 120 \text{ KN/m}^2 \\ \Delta\sigma &= 60 \text{ KN/m}^2\end{aligned}$$

فإن التربة مفرطة الانصمام . وبهذا أن

$$\Delta\sigma < (\bar{\sigma}_p - \sigma_p)$$

فإن المعادلة ٥.٢٤ تستعمل

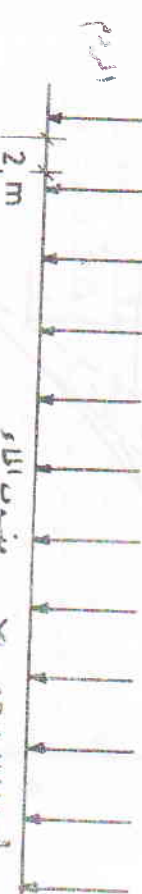
$$S_t = \frac{C_c}{1 + e_o} H \log \left(1 + \frac{\Delta\sigma}{\sigma_p} \right) \quad (5.24)$$

أـ مقدار الزيادة في الضغط ٥ من ثواب الردم في متصرف الطبقية هو

$$\begin{aligned}\Delta\sigma &= 20 \times 3 \\ &= 60 \text{ KN/m}^2\end{aligned}$$

المثال ٥.٤

إذا كان متصرف الطبقية المبين في الشكل أدناه مكونا من الم Relief ومسطح الأرض ومساحة واسعة من سطح الأرض تحت سطح الأرض . إذا ردت مساحة ٢m² بزابار ارتفاع ٣m ومسافة العلية ١٠٠ KN/m² . فاحسب مقدار هبوط الانصمام



- ١ـ ضغط الانصمام المتقدم في متصرف الطبقية الطيبة
- ٢ـ ضغط الانصمام المتقدم في متصرف الطبقية الطيبة
- ٣ـ ضغط الانصمام المتقدم في متصرف الطبقية الطيبة
- ٤ـ ضغط الانصمام المتقدم في متصرف الطبقية الطيبة

$$\begin{aligned}\sigma_p &= 120 \text{ KN/m}^2 \\ \sigma &= 200 \text{ KN/m}^2 \\ \sigma_p &= 120 \text{ KN/m}^2 \\ \sigma_p &= 100 \text{ KN/m}^2\end{aligned}$$

$$\begin{aligned}2 \text{ m} \\ \downarrow \\ \text{مشدبة} \\ \downarrow \\ 8 \text{ m} \\ \downarrow \\ 3 \text{ m} \\ \downarrow \\ 17.1 \text{ KN/m}^2 \\ \downarrow \\ 19 \text{ KN/m}^2\end{aligned}$$

$$e_o = 0.855$$

$$6 \text{ m } C_c = 0.32$$

$$6 \text{ m } \text{ ضبط } \delta s = 20 \text{ KN/m}^3$$

$$Ce = 0.1$$

ومعده . ولهذا الفرض استعملت طرائق نصف وضعيية ، لحساب
هوبيط الانضغام الثلاثي الأبعاد . وأغلب التطبيقات الشائعة لهذه الحالة هي الطريقة
المطرورة من قبل سكمپتون وبريرم (Skempton & Djerrum) .

لهوبيط الانضغام المحسوب على افتراض الضغط أحادي الإبعاد . هذا وإن
تمحيص معامل الانضغام (المروردة للشكل الهندسي للمسافة والقيمة ضعف ما في السام
معامل الضغط) هو معامل ضعف ما في السام في معادلة سكمپتون (1954) .

أ: ولا يعنـى أن A هو معامل ضعـف ما في السـام في معادـلة سـكمـپـتون (1954) .

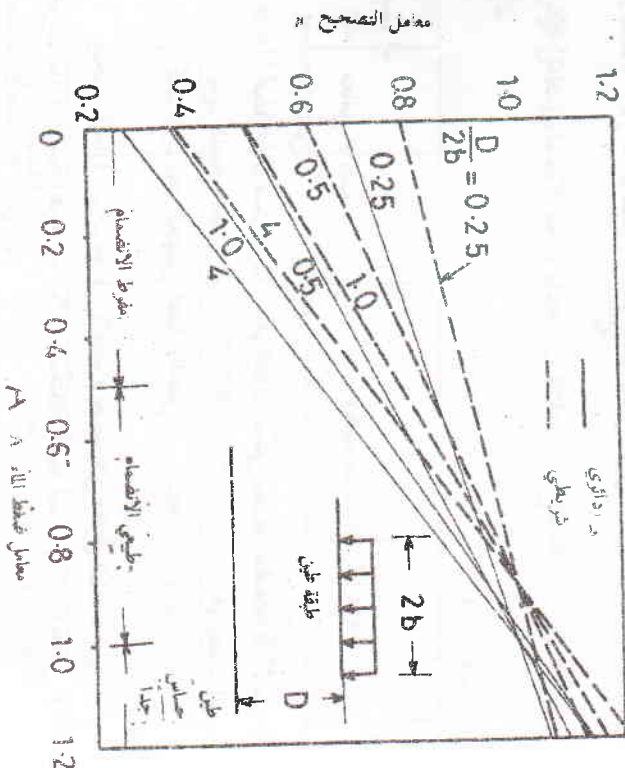
بـ: فـإنـ باـلـمـكـانـ استـعـدـ المـطـلـقـةـ

المـشـعـةـ بـالـلـاءـ :

$$\Delta u_c = \Delta \sigma_3 + A(\Delta \sigma_1 - \Delta \sigma_3)$$

ويجدر الإشارة إلى أن القيمة الصغيرة للمعامل A تاقريرية ضعفه لعامل التصريح .
وان هوبيط الانضغام العقلي يساوي بالشكل 5.24 - 5.24 . مفروضاً في هوبيط المحسوب
على أساس انضغام أحادي الإبعاد .

1.2



$$S_c = \frac{H}{1 + c_o} \left[C_c \log \frac{\bar{\sigma}_p}{\sigma_o} + C_i \log \frac{\bar{\sigma}_o + \Delta \bar{\sigma}}{\bar{\sigma}_p} \right]$$

$$= \frac{6000}{1 + 0.855} \left[0.4 \log \frac{160}{120} + 0.32 \log \frac{120 + 60}{160} \right]$$

$$= 40.4 + 52.9$$

$$= 93.3 \text{ mm}$$

د - بما أن ضعـفـ الانـضـامـ المقـدـمـ

وأن مقدار ضعـفـ التقـيلـ

فـإنـ المرـبةـ نـاقـصـةـ الانـضـامـ وـعليـهـ يـسـكـونـ

$$S_c = \frac{C_c}{1 + c_o} H \log \frac{\bar{\sigma}_o + \Delta \bar{\sigma}}{\bar{\sigma}_p} \quad (5.27)$$

$$S_c = \frac{0.32}{1 + 0.855} \times 6000 \log \frac{120 + 60}{100}$$

$$= 264 \text{ mm}$$

5.4.3 هوبيط الانضغام الثلاثي الأبعاد

إن الحسابات السابقة لهوبيط الانضغام الناتجة عن تأثيرات الانضغاطية ومصمورة
على اعتبارات أحادي الإبعاد . وفي تلك الحالات التي فيها سملك الطيفية لمعرفة كثـيرـ

الشكل 5.24: هوبيط حساب هوبيط الانضغام أحادي الإبعاد

ـ جـ: إنـ ضـعـفـ الانـضـامـ المقـدـمـ

وـمـقـدـارـ ضـعـفـ التقـيلـ

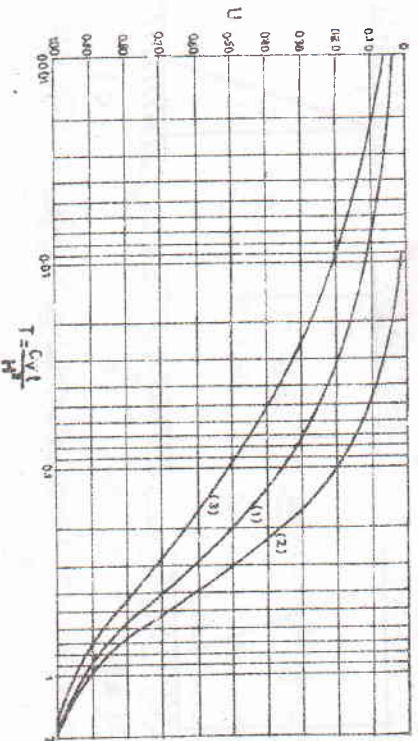
وـلـكـانـ مقـدـارـ

هذا وأن العلاقة بين معامل الزمن T ونسبة الانضمام هي دالة معرفة تعتمد على موضع

الحجم Δ العائد وتوزيع الأجهاد σ في الطبيعة كما هو مبين في الشكل - 5.25 .
ويذكر عادة في الممارسة تقرير التغير الأولي لاضطط ماء المسام في طبقة الطين يتوزع

حديدي . وتحتل المحيطات (1) و (2) و (3) في الشكل 5.25 . الحال للمعادلة

للحلاط المائية في الشكل 5.26 .



الشكل 5 العلاقة بين معدل درجة الانضمام ومعامل الزمن

5.4.4 - المعدل الزمني للهوبرط

تتضمن عملية الانضمام تصريف الماء من الرغوة المقسولة . وقد تضمنت الدراسة السابقة تعين هوبرط الانضمام الباهي . وهذا يعني الهوبرط الذي يحدث بعد أن يلاشى كل ضغط ماء المسام الأولي وتقرب الرغوة من حالة الوراز . وفي أي وقت ما ينجز تسلیف

التحمل المستحق للأرضي والزمن الذي يحدده فيه 100% الانضمام . يمكن وصفه بقولي

الهوبرط بعدد درجة الانضمام :

$$U_{100} = \frac{S_{100}(t)}{S_t} \quad (5.25)$$

حيث يرمز $S_{100}(t)$ إلى الهوبرط للطبقة المقسولة في الوقت t ويعنى بمقدار

يمكن استعمال المعادلة 5.25 لتخمين التاريخ الزمني للهوبرط إذا أمكن تعين $S(t)$

هذا وأن المعادل ل نسبة الانضمام U_{100} يعتمد على مقدار الهوبرط وناميسكي C_p (غالباً ما يدعى نسبة الانضمام أو درجة الانضمام) حسداًلة لمعامل الزمن T . - time factor .

$$U_{100} = f(T) \quad (5.26)$$

$$T = C_p t / H^2$$

$$\text{حيث } f = \text{ معامل الانضمام} \\ t = \text{ الزمن} \\ H = \text{ طول اطارات مسار للبر} : \text{ وهو اطول الكلى للطبقة المقسولة اذا كانت الطبقه} \\ \text{تتول بالتجاه واحد . } \quad (1) \quad \text{one way drainage} \\ \text{كان البر نحو الجبهتين العليا والسفلى } \quad (2) \quad \text{two way drainage} \quad (3)$$

وتتجدر الاشاره الى أن معامل الانضمام يعتمد على معامل النفاذه k (باختصاره k_{rw}) . ونسبة الفراغات e_n . وكذلك التقليد للداء γ . وبمعامل الانضغاطية

استد β البهد η . اي ان

الشكل 26 5 الممار الاولى للصيغه ماء المسام الاولى:

$$C_p = \frac{k(1 + \beta e_n)}{a_{rw}}$$

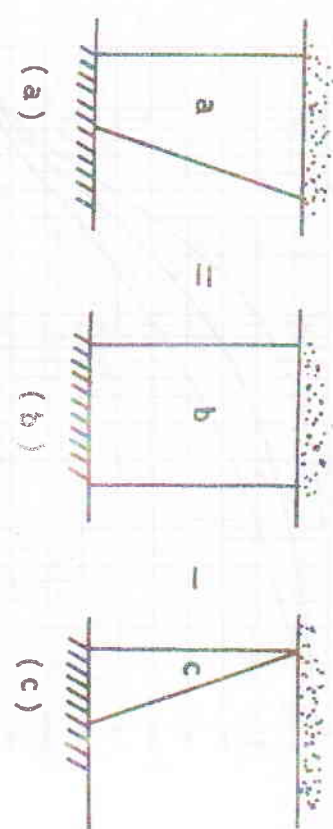
$$U = \frac{1}{S_c} (U_1 S_{c1} + U_2 S_{c2} + \dots) \quad (5.30)$$

حيث أن S_c و S_{ci} هما معدل درجة الانضغاط والهبوط النهائى للانضغام على التوالي لكل الطبقات . وان U_1, U_2, \dots هي ارقام الطبقات المضمنة

$$S_c = S_{c1} + S_{c2} + \dots \quad (5.31)$$

ويمكن اتباع الطريقة الآتية لحل هذا النوع من المسائل :

1. يحسب مقدار S_{c1}, S_{c2}, \dots بالطرق الأعتيادية ويحسب مقدار S_c باستعمال المعادلة $S_c = S_{c1} + S_{c2} + \dots$ 5.31
2. يفرض زامن معين t ويعصب مقدار معامل الزمن T المتراوھ من العادلة 5.27 .
3. يحسب مقدار درجة الانضغام المتأثر لمعامل الزمن من الشكل -5.25 لكل طبقة (T_2, T_1, \dots, T_n) .
4. يحسب معدل درجة الانضغام لكل الطبقات باستعمال المعادلة 5.30 .



الشكل 5.27. تعيين معدل درجة الانضغام

يجمع درجات الانضغام الموزونة المساحة النسبية للتوزيعات الأولية . هذه الطريقة موضحة في الشكل 5.27 الذي يطلب فيه تعيين معدل الانضغام الناتجة عن ضغط سام زائد أولى ، مبين في الشكل 5.27(a). ان ضغط السام الأولي هو الفرق بين مسام زائد أولى . الشكل 5.27(b) والصورة الثاني المبين في الشكل 5.27(c) . أي ان

5.5 هبوط الانضغاط الثانوي

- يدعى الانضغاط المستمر البطيء الذي يستمر بعد ان تکون ضغوط المسام الزائدة قده تلاشت فعليه الانضغاط الثانوى . ويحدث الانضغاط الثانوى بسبب العلاقة بين نسب المراجحات والإجهاد المؤثر ويعتمد ذلك على الرم من بعض الشئ . وكلما بقى الطين مدة اطول تحت اجهاد مؤثر ثابت صار الى الاختف . وإن العدل الزمني للانضغاط الثانوى هو الاكبر للرتب ذات اللدودية العالية وعلى الانخفاص الرب المضبوطة organic soil .
- ويغير قيمه الانضغاط الثانوى غالباً بالاتساع او للجزء الاخير من منحنى الانضغاط الرماني (time compression curve) على ورق نصف لوغارىتمي الشكل 5.28 .

في الحالات التي فيها الطبقات القليلة للانضغاط تتحوي بينها على اثواب واحد او أكثر من مادة قذادة تصل كثافة بزل . يمكن وجود درجة الانضغام من العلاقة الآتية :

$$\text{حيث ان } A(a) \text{ و } A(b) \text{ و } A(c) \text{ على التوالي :} \\ (5.29) \quad \frac{U_a(T)}{A(a)} - \frac{U_b(T)}{A(b)} - \frac{U_c(T)}{A(c)} = \frac{U_a(T)}{A(a)} - \frac{U_b(T)}{A(b)} - \frac{U_c(T)}{A(c)}$$

طبقات البرلس المائية

ولأن العادلة الفاضلية للانضغام هي خطية . يمكن ان تضاف الحلول للمعادلة وكذلك اذا امكن تمثيل التوزيع الضغط المسام الاولى كمجموع لوزعين او أكثر من المدعى في الشكل 5.27 . فان معدل درجة الانضغام على هذه الحالة يمكن ان يحسب من معدل درجات الانضغام المخضبة المفروط المسام الاولى و يتم هذا

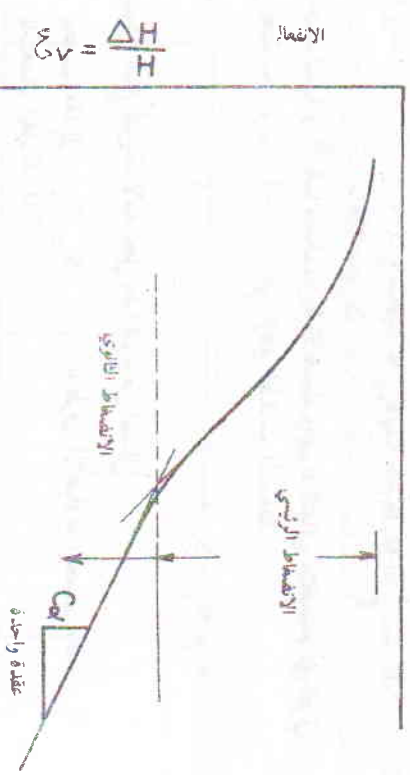
$$t_1 = H^2 / C_r \quad (5.34)$$

على افراض

$t_1 =$ الزمن الذي عده بطلب حساب الهبوط الثاني

$H_1 =$ طول مسار البريل

$C_r =$ معامل الانضمام



الشكل 28.5 العلاقة بين الانضباط ولوغاريتم الزمن

إذا كان توزيع ضغط ماء المسام الاولادي في تربة طيبة كما هو مبين في الشكل 5

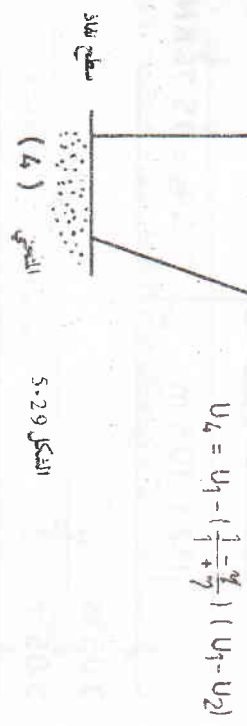
برهن على أن معدل درجة الانضمام U_1 هو:



مسائل

إذا كان توزيع ضغط ماء المسام الاولادي في تربة طيبة كما هو مبين في الشكل 5

برهن على أن معدل درجة الانضمام U_1 هو:



$$U_1 = \frac{1}{1 + \frac{q}{7}} \quad (5.2)$$

ويبين الجدول - 5.3 قيمة نمودجية للانحدار

| البعد t | قيمة C_x |
|-----------------------|------------|
| البعدول | 5.3 |
| قيمة نمودجية للانحدار | |
| | |

$$C_x = \frac{\Delta H / H}{\Delta \log_{10} t} = \frac{C_p}{\Delta \log_{10} t} \quad (5.32)$$

ويبيين الجدول - 5.3 قيمة نمودجية للانحدار

حيث أن :

$$C_p = \frac{\Delta H / H}{\Delta \log_{10} t}$$

طين طيبي الانضمام
ترية لمدة جدأ ، تربة عصرية
 > 0.03
 < 0.001

طين متقدم الانضمام مع نسبة الأفراط في الانضمام $> 2 > \text{OCR}$

هذا ويحسب معدل الهبوط للانضمام الثاني S_s من العلاقة الآتية

$$S_s = C_x H \log_{10} \frac{t_2}{t_1} \quad (5.33)$$

حيث إن H يمثل الطبلقة المنضغطة

$t_1 =$ الزمن اللازم للانضمام النهائي وتحسب من العلاقة

العنصر على المسطوح غير المفاز

المقدمة

يعود الاسس كلها في السواب مساواة للصغر . نظر الى وجود الاسس الخارجية المدرونة من الخارج .

6.14 اختبار مقاس الاسس لتقليل الاهتزاز التبايني

| الأساس | النقطة | القيمة | الكتلة |
|--------|--------|--------|--------|
| B | A | 550 | KN |
| C | B | 400 | KN |
| 350 | C | 600 | KN |
| 150 | | | |

الطلب ايجار ابعد الاسس A و B و C بحيث يكون هبوط البasis يساوي قليلا .

$$\text{النقطة بين } \frac{\text{النقطة}}{\text{النقطة}} = A = 1.09$$

$$\begin{aligned} \text{نقطة } B &= 0.88 \\ \text{نقطة } C &= 0.43 \end{aligned}$$

مساحة الأساس الذي عليه أكبر نسبة من القفل الحرجي الى القفل الباقي تساوي :

$$\frac{500 + 600}{200} = 5.75 \text{ m}^2$$

ضغط الصخور لكل الأساس يساوي

$$\frac{520 + 0.5(600)}{5.75} = 147.82 \text{ KN/m}^2$$

وعليه تساوي مساحة الأساس B

$$\frac{400 + 0.5(350)}{147.82} = 3.89 \text{ m}^2$$

وتتساوي مساحة الأساس C

$$\frac{350 + 0.5(150)}{147.82} = 2.85 \text{ m}^2$$

$$\begin{aligned} \text{وعليه نكون مساحة الأساس الأخرى} \\ \frac{\text{النقطة}}{\text{النقطة}} = A = \frac{P}{q_s} \end{aligned}$$

6.1.5 التصميم الانشائي للأساس المفصلي

تصمم الأساس المفصلي (spread footings) بتابع مطلبات مدونة

للحراستة المساحة للمشتات (Building Code Requirements for Reinforced Concrete, ACI 318 - 77)

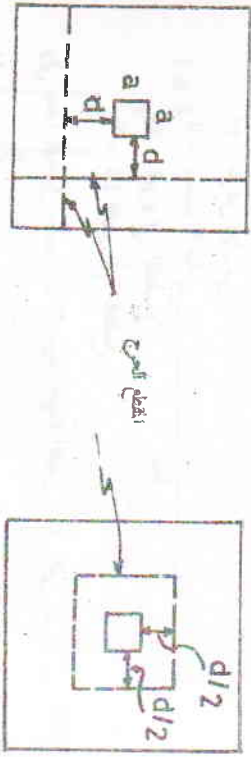
ويكون تلخيص المطلوبات الجيدة بالصيغ كالتالي :-

- تحسب ابعاد الأساس (A_r) كما يلى :-
- تحسب ابعاد الأساس أو مساحته (A_r) كما يلى :-

- يكون موقع القطع الصاج (beam action) على مسافة (d) من وجہ العسود او القاعدة .
- يكون موقع القطع الصاج (beam action) على مسافة ($d/2$) من وجہ العسود او القاعدة وصورة مستقرة حول العرسد او القاعدة

$$A_r = \frac{D + L}{q_u} \quad (6.10)$$

- العمل باتجاهين (two - way action) يكون موقع القطع الصاج (beam action) على المقدمة ($11.11.1.2$).



(a) عمل الارجح
الأساس باتجاهين

شكل 6.5 - القطع الصاج

- تحول الاعقال إلى المثل قصري (ultimate loads) إلى بموجب متطلبات المدورة (ACI - 318 - 77)
- فليأتى أن القلق الأقصى (U) العامل على الأساس تحت تأثير الاعقال المثلية والجية

$$U = 1.4 D + 1.7 L \quad (6.11)$$

- فإذا اخذنا تأثير الرياح بضرر الاعتبار فإن القلق الأقصى بحسب القراءة (9.2.2) هو

$$U = 0.75 (1.4 D + 1.7 L + 1.7 W) \quad (6.12)$$

حيث ان

- W = القلق الناتج من تأثير الرياح .
ويمكننا بالنسبة للفرات الأخرى التي تفصل كيفية احتساب الأعقال الفموي بالنسبة لحالات التحمل المختلفة .

٥. يحسب العزم ومساحة السطح . إن المقطع الحرجة لوجود العزم المطلوب في التصميم هي كالآتية في الشكل - ٦٦ ويسوّب الفقرة ١٥.٤.٢ من المدونة

وكمما يأنسي :-

- في وجه العمود أو القاعدة أو العجلة في الأس - ٦٦(a) .
- بخسافية أو جدار آخر سلبي . الشكل - ٦٦(b) .
- في متصف المسافة بين حافة الجدار ومتتصفه في الأس التي تسمى جدرانا من المطابق أو العجور . الشكل - ٦٦(c) .
- في متصف المسافة بين وجه العمود وحافة القاعدة الحدية للأس التي تسمى المكعبية مع قواعد حدية . الشكل - ٦٦(c) .

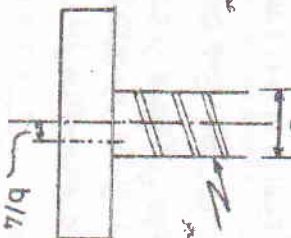
جوار

عمود أو قاعدة من الخرسانة



(a)

جدار من الطوب أو الممبر



(b)

الشكل - ٦٦(a) المقطع الحرجة للمرة

(ب) إذا أفرضت أن الأساس يعيل باتجاهين (two way action) فإن (جهاد المقص بيسوّب الفقرة ١١.١.٢ هو كما يأنسي :-

$$\frac{V_c}{M_u} = \frac{A_s}{b^d} \cdot \frac{V_d}{M_u}$$

حيث إن

وفي هذا التحليل يحسب إن لا يزيد إجهاد المقص V_c على $\sqrt{\frac{f'_c}{f_c}} \cdot 0.29$ وإن لا تزيد الكمية $\frac{V_d}{M_u}$ على ١.٠

(ج) إذا أفرضت أن الأساس يعيل باتجاهين (two way action) فإن (جهاد المقص بيسوّب الفقرة ١١.١.٢ هو كما يأنسي :-

$$V_c = 0.083 \phi (2 + \frac{4}{\beta_c}) \sqrt{f'_c} \dots 6.16$$

ومن العزم المستخرج في المقطع الحرجة يمكن وجود مساحة المسلح اللازمة للأساس

كما يأنسي

$$A_s = \frac{M_u}{\phi f_s (d - \frac{a}{2})} \quad (6.17)$$

حيث إن

$$\beta_c = \text{نسبة طول المسلح الطويل إلى المسلح (العمود)}$$

$$V_c = 0.17 \phi \sqrt{f'_c}$$

$$6.14$$

حيث إن

$$\phi = \text{عامل التحمل} = 0.85 \quad \text{في حالة المقص}$$

$$\phi = \text{قدرة ضغط الخرسانة} = \text{compressive strength}$$

$$6.15$$

$$\text{الفقرة (١١.٣.١) } \quad 11.3.1$$

وفي حالة استعمال التحليل المفصل يسوي جهاز المقص كما يأنسي :-

$$V_c = \phi (0.16 \sqrt{f'_c} + 17.2 \rho_w \frac{V_{ud}}{M_u}) \quad 6.15$$

يكسرن

6. فحص طبل الجسر، المطمور من الحديد (reinforcement) يوجب الفقرة (12.2) من المدونة (development of the steel reinforcement from column to footing)

$$L_d = \frac{0.019 A_b f_y}{\phi} \quad (6.21)$$

ϕ = عامل يأخذ بظاهر الاعتبار عملية الأشارة

f_y = مقاومة المطاوعة في الحديد (yield strength)

A_b = سطك الأساس

$$L_d = (m \cdot m) \quad (m \cdot m^2)$$

حيث إن طول الجزء المطمور من حديد السطح (depth of compression block)

مساحة قضيب السطح

$$A_b = (m \cdot m) \quad (m \cdot m^2)$$

فهي الإجهادات الناتجة من نقل الحمولة إلى الأساس (load transfer from column to footing)

$$7. \quad \text{تحصي الإجهادات الناتجة من نقل الحمولة إلى الأساس (load transfer from column to footing)} \quad (15.81)$$

أ) قوى التسليط (compression forces)

تنتقل مباشرة بالحمل

ب) قوى التشتت (tension forces)

إن تنقل من العود

إما فوق الشد (tension forces) إن وجدت فيجب أن تنقل من العود إلى الأساس بغير الطول الكافي من حديد التسلیح بالنسبة إلى الدواوس (dowels)

وان اتجاه العمل الأقصى (ultimate bearing stress) وإن اتجاه العمل الأقصى (ultimate bearing stress)

$$0.85 \quad (10.16.1)$$

يوجب الفقرة (10.16.1) من المدونة هو 5°

إما قابلية تحمل قاعدة العود P_c فهي :

$$P_c = 0.85 f_y A_t \quad (6.22)$$

حيث إن A_t = مساحة التحميل

وهذا العدد يضرورياً بالعامل ϕ يجب أن يكون أكبر من الإنقال القصوى التي يتحملها العود . أي إن

$$\mu = \frac{A_t}{A_r} \leq \phi P_c$$

$$\text{حيث إن توفر مساحة السطح الكلية في الاتجاه القصير (7.12) من المدونة الخاصة بالتناقص وتغير درجات الحرارة . وكذلك يجب أن توفر مطلبات الفقرة (10.5) من المدونة الخاصة بالحد الأدنى لمساحة السطح كما يأتي :}$$

$$\rho_{min} = \frac{1.4}{l_y} \quad (6.20)$$

حيث إن ρ = نسبة طول الأساس إلى عرضه = $\frac{l_x}{B}$

في هذه الحالة $\phi = 0.70$

اما بالنسبة لقابلية تحمل خرسانة الأساس فإنها ستكون أكبر من قابلية تحمل العود إذا كان كلاهما من نفس نوعية الخرسانة . وإذا كان العود مصبوغاً من خرسانة ذات قدرة عالية جداً والأساس مصبوغاً من خرسانة ذات قدرة أوطأ فيمكن ان تكون قابلية تحمل الخرسانة للأساس هي المسيرة في نقل الحمل من العود إلى الأساس أو يجب التأكد منها كما يأتي :-

$$a = \frac{A_s f_y}{0.85 P_c b} \quad (6.16)$$

a = العرض

وللإخطار بوزع السطح يكون بصورة متقطعة في الأساس المربعة مما في السطحية فيجري توزيع السطح يوجب الفقرة (15.4.4) من المدونة وكما يأتي :

- في الاتجاه الطويل - يوزع السطح بصورة متقطعة .

ب- في الاتجاه القصير : - توضع نسبة من السطح الكلي يوجب المادلة 6.19 في وسط الأساس وتؤثر على مسالمة تساوي عرض الأساس . أما الجسر ، الذي

من السطح يوزع بصورة متقطعة على الجزء الباقي من الأساس على جانبي العوره الرسلي

$$\frac{A_B}{A_T} = \frac{2}{(\beta + 1)}$$

$$(6.19)$$

$$\text{حيث إن } A_r = \text{مساحة السطح الكلية في الاتجاه القصير}$$

$$A_s = \text{مساحة السطح في وسط الأساس الذي يساوي عرض الأساس}$$

$$\beta = \text{نسبة طول الأساس إلى عرضه} = \frac{l_x}{B}$$

هذا يجب أن توفر مساحة السطح مطلبات الفقرة (7.12) من المدونة الخاصة بالتناقص وتغير درجات الحرارة . وكذلك يجب أن توفر مطلبات الفقرة (10.5) من المدونة الخاصة بالحد الأدنى لمساحة السطح كما يأتي :-

حيث إن A_s = مساحة السطح في وحدة طول من الأساس

$$\phi = \text{عامل يأخذ بظاهر الاعتبار عملية الأشارة}$$

$$d = \text{سمك الأساس}$$

مسلك العجز الذي تحدث الانهكاظ من الأساس (compression block)

$$f_y^p = 20 \text{ MN/m}^2 (\text{N/mm}^2)$$

$$f_y^t = 346 \text{ MN/m}^2 (\text{N/mm}^2)$$

خطوات الحل : -

وجود مساحة الأساس وأبعاده

$$A_f = \frac{D + L}{q_a} = \frac{300 + 450}{200} = 3.75 \text{ m}^2$$

وأن

$$2.0 \times 2.0 \text{ m} \quad \text{(ultimate loads).}$$

$$U = 1.4 D + 1.7 L$$

$$= 1185 \text{ KN}$$

ضبط الترية الأعظم

$$q_u = \frac{1185}{4} = 296.25 \text{ KN/m}^2$$

- 4 - وجود سملك الأساس باتجاهين (two - way action) يعمل بالأساس باتجاهين (beam action) .

$$V_r = 0.083 \phi \left(2 + \frac{4}{\beta_c} \right) \sqrt{\frac{T_c}{L}}$$

$$= 0.083 \times 0.85 \left(2 + \frac{4}{20} \right) \sqrt{1893} = 1.893 \text{ MN/m}^2$$

وعلمه العيادة يجب أن لا تزيد على $0.34 \times 0.85 \sqrt{20} = 1.292 \text{ MN/m}^2$ التي تسارى

لذلك يجب اسعمال القبضة الأخيرة



$$B = 2.0 \text{ m}$$

شكل - 6.7 المطالع المقترن

$$P_f = 0.85 \phi M_A \chi_b$$

قابلية تحمل خرسانة الأساس

حيث $M_A = \phi = 0.70$ عامل زيادة المساحة ومتراوح فيجه بين 1 و 2 .

$$x_b = \sqrt{\frac{A_2}{A_1}} < 2$$

حيث أن A_1 = مساحة العصبي لجزء المطلع المسلط . إلى شبه هندسيا المساحة الحائل . وتحمل مركبها معاً (concentric).

وهذا يحدث في الأعمدة المستطيلة أو ذات الأشكال المختلفة . ومن الملاحظ أنه في حالة نقل الحمل بواسطة تحمل الخرسانة فإن الفقرة (15.84) تتطلب وضع جبل إداري من السليح في الحال الفاصل بين المعلوم والأساس ويساوي 5% من مساحة العتيل في العمود أو القاعدة ويجب أن تختلف مساحة السليح من أربعة قطبيساً (dowels) عن قطر قضبان المعلوم بأكثر من 4 mm . أما طول العزء المعلوم من الدواوس فيحسب بوجب الفقرة (12.3) ويكون بحسب المقادير الآتية :

$$L_d = \sqrt{\frac{f_{t_d}}{T_c}} \quad (6.24)$$

حيث أن f_{t_d} = قطر قضبان السليح (mm)

الماء 6.2

صم الأساس ليست عموداً بأبعد $0.40 \times 0.40 \text{ m}$ ويسمى المعلومات الآتية

$$D = 300 \text{ KN}$$

$$L = 450 \text{ KN}$$

$$q_a = 200 \text{ KN/m}^2$$

أفضل القيمة $B = 2.0$
أفضل المساحة على الرأة

$$a = \frac{A_s f_y}{0.85 f'_c b} \quad (2)$$

$$= \frac{A_s \times 346}{0.85 \times 20 \times 1} = 20.35 A_s$$

وتحصل على مساحة حديد السليج
عندما ينبع -

$$A_s = \frac{94.8}{0.9 \times 346000 \left(0.3 - \frac{20.35}{2} A_s \right)}$$

$$33423 A_s^2 + 9854 A_s + 1 = 0$$

حيث أن A_s هي الأضمار المرتبة لكل متر من عرض الأساس
وأن مساحة الحديد الكلية المطلوبة لكل اتجاه في الأساس هي

$$A_s = 0.00105 \text{ m}^2 / \text{m} = 105 \text{ cm}^2 / \text{m}$$

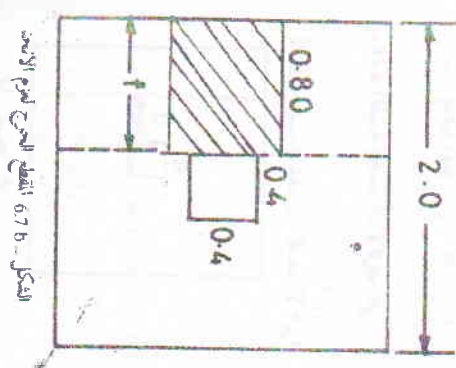
$$105 \times 2 = 210 \text{ cm}^2$$

6. يجب الالتفاد من أن هذه الكمية من حديد السليج توفر مطلبات الفقرة (10.51) من المرونة التي تتطلب حدأً أدأً من حديد السليج كما يأتي :-

$$\rho_{min} = \frac{1.4}{\int_b^d A_s}$$

$$\rho_{min} = \frac{A_s}{bd}$$

حيث أن



5. وجود انحراف ومساحة السليج
 $M_u = q_u \frac{l^2}{2}$
 $= \frac{29625 (0.8^2)}{2}$

$$A_s = \frac{M_u}{\phi f_y \left(d - \frac{a}{2} \right)} \quad (1)$$

$$A_s = 0.0041 bd = 0.0041 \times 200 \times 30$$

$$= 246 \text{ cm}^2$$

$$V_d(a + d)d = q_u [B^2 - (a + d)^2]$$

$$d^2 \left(V_c + \frac{q_u}{4} \right) + d \left(V_c + \frac{q_u}{2} \right)a = \frac{B^2 - a^2}{4} - q_u$$

$$q_u = 29625 \text{ KN/m}^2$$

$$V_c = 1292 \text{ KN/m}^2$$

$$a = 0.40 \text{ m}$$

$$B = 2.0 \text{ m}$$

$$d^2 \left(1292 + \frac{29625}{4} \right) + d \left(1292 + \frac{29625}{2} \right) 0.4 \\ = \frac{2^2 - 0.4^2}{4} \times 29625 \\ 1366 d^2 + 576 d = 2844$$

$$V_c = 0.17 \phi \sqrt{\frac{l^2}{l}} = 0.17 \times 0.85 \sqrt{\frac{20}{20}} = 0.646 \text{ MN/m}^2$$

$$646 \times 2.0 d = 29625 \left(\frac{2}{2} - \frac{0.4}{2} - d \right) 2$$

$$646 d = 29625 - 5925 - 29625 d$$

$$d = 0.25 \text{ m} < 0.30 \text{ m} \quad O.K$$

ذلك يجب زيادة حديد التسلیح الى هذا القدر او الومنيوم معلمات المدفأة الارضي في المدرسة

استعمل قصبات تسلح قطر 20 mm وسماكة 2 cm^2 يطلب التصميم

ان مساحة الحديد الكلية المترفة الارض في كل اتجاه



$$A_s = 25.12 \text{ cm}^2$$

وهي كافية

- فحص طول الاجر و الماء من الحديقة
بحوجب الفقرة (12.2) من المدونة .

$$L_d = (0.019 A_b) \sqrt{\frac{F_y}{E}}$$

حيث ان
 L_d طول الاجر المطمور في الخرسانة من حديد التسلیح
 A_b = مساحة قبیب التسلیح (m m^2)

من هذه المقادير

$$L_d = (0.019 \times (314)) \times 346 / \sqrt{20} \\ = 462 \text{ mm} = 46.2 \text{ cm}$$

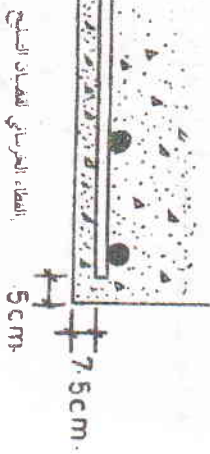
وهو أقل بكثير من الطول المطرور المقرر باللغ

$$80.0 - 50 = 75 \text{ cm}$$

ان المسافة السككية للأساس D

$$D = 30 + 1.0 + 2.0 + 7.5 = 40.5 \text{ cm}$$

ويسكن استعمال سطل كل الأساس 42 cm



الشكل .. 6.8 .. الخداميل المائية للأسرار

البيان : 6.3

$$\left(v_c + \frac{q_u}{2} \right) a = \left(1.315 + \frac{0.210}{2} \right) 0.30 = 0.426$$

$$\frac{B^2 - A_c q_u}{\pi} q_u = \left(4 - \frac{(0.30)^2}{4} \pi \right) \frac{q_u}{\pi} = 0.263$$

$$1.367d^2 + 0.426d - 0.263 = 0$$

$$\therefore d = 0.31m = 31 \text{ cm}$$

بعد إدخاله في المقدمة يتحقق المطلوب بالنسبة للعزم

بعد إدخاله في المقدمة يتحقق المطلوب بالنسبة للعزم

$$a = \sqrt{\frac{\pi (3)^2}{4}} = 0.26 \text{ m}$$

وزن الأثنتين

$$M = \frac{q_u L^2}{2}$$

$$L = (2 - 0.26)/2 = 0.87 \text{ m}$$

$$M = 210(0.87)^2/2 = 79.44 \text{ KN.m}$$

أن إجهاد الشد المسموح به بموجب الفقرة 15.1.1.1

$$f_t = 0.415 \Phi \sqrt{f'_c}$$

$$= 0.415 \times 0.65 \sqrt{20.7}$$

$$f_t = \frac{M}{S} = \frac{79.44}{bd^2/6} = 122.7$$

فإذا افترضنا أن $a = 2$ نحصل على

$$d^2 \left(v_c + \frac{q_u}{4} \right) + d \left(v_c + \frac{q_u}{2} \right) a = \frac{B^2 - A_c q_u}{\pi}$$

$$d = \sqrt{\frac{0.79447 \times 6}{1.227}}$$

$$d = 0.62 \text{ m} = 62 \text{ cm}$$

يجب أن يكون سماكة الأساس

$v_c = 62 \text{ cm}$

بيان تصميم أساس خرساني عادي (plain concrete) متعدد للملاط الآلي :

النقل إليت

النقل السري

قطر العصود

$q_u = 140 \text{ KN/m}^2$

 $f'_c = \frac{20.7 \text{ MN/m}^2}{34.5 \text{ MN/m}^2}$

الحل :-

حساب أمداد الأسس

$$B = \sqrt{\frac{226 + 308}{140}} = 1.95 \text{ m}$$

$$q_u = \frac{1.4 \times 226 + 1.7 \times 308}{2 \times 2}$$

$$= 210 \text{ KN/m}^2$$

حساب $q_u = 2$

- حساب سماكة الأساس

$$v_c + \frac{q_u}{4} = 1.315 + \frac{0.210}{4} = 1.367$$

١٥٦) المقدار (bearing strength) معاودة التحصيل (العدور)

$$A_1 = \frac{\pi}{4} (0.30)^2 = 0.071$$

مساحة مقطع العدور

مساحة الأساس المكافئة

$$\alpha_b = \sqrt{\frac{A_2}{A_1}} = \sqrt{\frac{3.14}{0.071}} = 6.6$$

$$\alpha_b = \sqrt{\frac{A_2}{A_1}} = 2$$

استعمل

ضغط التحمل النسبي

$$f_c = 0.85 \cdot \Phi f'_c \cdot \sqrt{\frac{A_2}{A_1}} = 0.85 \times 0.7 \times 20.7 \times 2 \\ = 24.633 \text{ MN/m}^2$$

ضغط التحمل

$$f_c = \frac{1.4(226) + 1.7(308)}{0.071}$$

$= 1183 < 24633$ O.K.

هذا ويجب ان يدقق المقدار والمدورة ويبين ان يتم التعميم باستعمال سلك

ثابت مقداره cm او

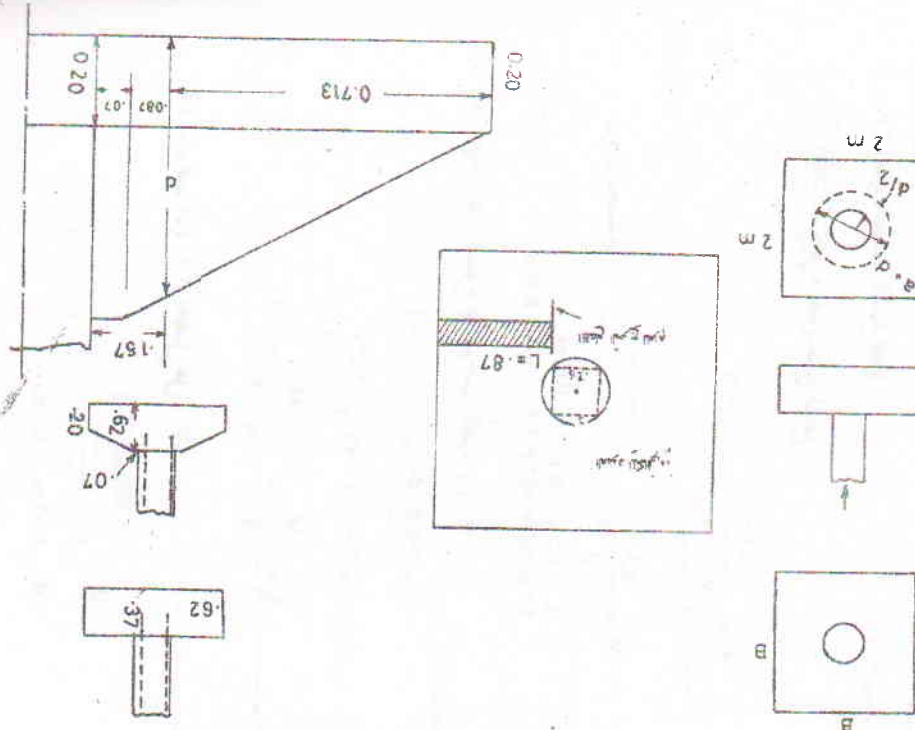
- استعمال أساس مدرج

- أساس منحدر

وفي حالة استعمال أساس منحدر يجب ان لا يقل سلك الأساس عند العداقة عن $20 cm$

كما ان سلك الأساس يجب ان يدقق على بعد $0.157 m$ بعد حافة المصور وينضل ترك مسافة $7 cm$ مستوية عن حافة المصور لتهليل وضع القلب بالنسبة للمصور

$$d' = \frac{71.3}{80} - (42) + (20) = 57.4 \text{ cm}$$



الشكل - ٩- التفاصيل الهامة للأساس

وسيكون عزم الابدنة

$$q = \frac{\sum P}{A} + \frac{\sum P \cdot e}{L}$$

(6.25)

حيث أن

e = ضعف التردد في نهاية الأساس

P = مجموع القوى الشاقولية العاملة على الأساس

L = بعد القاعدة المطلوب وجود الفتحة فيها عن مركز الأساس

I = عزم القنطرة الدائري لساحة الأساس

ويسكن إعادة كتيبة المعادلة 6.25 بالشكل الآتي

$$q = \frac{\sum P}{B L} \left(1 + \frac{6e}{L} \right) \quad (6.26)$$

أ- إن التردد لا يسكن أن تتحمل شداً يصرمه يمكن الأعتماد عليهما وللخلف ذلك ي Nes

- إن تكون الألتوركية $\frac{1}{6} < e$
- أن التردد يسكن أن تتحمل شداً يصرمه يمكن الأعتماد عليهما وللخلف ذلك ي Nes

وفي حالة تكون قيمة e أكبر من $\frac{1}{6}$ يعرض قسم من الأساس أن الشد يمكنه أن يظهر جزئياً أن مساحة الأساس المعرفة إلى الشد تكون عديمة الفائد ويجب تخطي مثل هذه الحالة قدر الإمكان.

ب- عندما تكون $e = 0$ يكون ضغط التربة الأقصى q_{max} مساواً لضعف معدل الضغط وضغط الرسبة الأدنى q_{min} سيكون صفرًا.

ج- عندما يكون التحصيل الألتوركي بالجاهين ($e > 0$) أي عند ما يكون هناك حرم حول المحرور (X) وحرم حول المحرور (Y).

يمكن وجود ضغط التربة من المعادلة الآتية :

$$q = \frac{\sum P}{BL} \left(1 + 6 \frac{e}{L} \right) \quad (6.27)$$

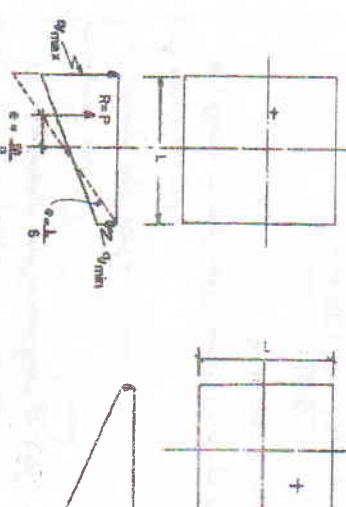
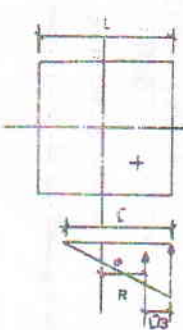
- عندما يمكن التحصيل الألتوركي باتجاه واحد يحصل حمل الأساس مستطيلاً بحيث يكون طوله L باتجاهه الألتوركي ليوفر مقاومة أكبر ضد التحصيل الألتوركي

$$M = 209.9 - \frac{(0.713)}{2} = 53.37 \text{ KN.m}$$

$$d = \sqrt{\frac{6(53.37)}{1(1227)}} = 5.1 \text{ cm} < 57.4 \text{ O.K}$$

الأساس البلاستيكي المحمولة لا مركزياً

تكون الأساس العريض (rigid footings) محملة لأمكرياً عندما لا تطبق محصلة القوى العاملة على الأساس مع مركز مسامحة، أو عندما تكون الأساس معرض إلى العروم إضافة إلى القوى الشاقولية المطبقة مع مركز مسامحة الأساس. وفي هذه الحالات فإن ضغط التربة على الأساس لن يكون متسطلاً. وينبئ الشكل 6.10 بذلك.



الشكل 6.10- حالات التحصيل الألتوركي دوّن ضغط التربة على الأساس البلاستيكي

حساب ابعاد الأساس

يمكن حساب ابعاد الأساس من العلاقة

$$q_a \geq \frac{P}{A} \left(1 + \frac{6e}{B} \right)$$

$$192 > \frac{872}{B^2} \left(1 + \frac{6 \times 34}{872 B} \right)$$

$$B = 2.25 \text{ m}$$

وتتابع طريقة التجربة والخطوات الحصول على

وتحسب ضعفه الترية من العلاقة

$$\begin{aligned} q &= \frac{P}{A} \left(1 \pm \frac{6e}{B} \right) \\ &= \frac{872}{2.25^2} \left(1 \pm \frac{6 \left(\frac{34}{872} \right)}{2.25} \right) \\ &= 1906 \text{ KN/m}^2 < 192 \text{ OK} \end{aligned}$$

$$= 154.3 \text{ KN/m}^2 < 192 \text{ OK}$$

احتساب q_u

$$P_u = 1.4(316) + 1.7(556) \\ = 1387.6 \text{ KN}$$

$$\begin{aligned} q_u &= 1906 \left(\frac{1387.6}{872} \right) = 303.3 \text{ KN/m}^2 \\ q_u &= 154.3 \left(\frac{1387.6}{872} \right) = 245.5 \text{ KN/m}^2 \end{aligned}$$

- 2 احتساب سلك الأساس الذي يحتاجه القص
- بما أن توزيع القصchet خططي يمكن استعمال معدل القصchet

$$303.3 \text{ KN/m}^2$$

$$244.7 \text{ KN/m}^2$$

$$q_{uu} = \frac{303.3 + 244.7}{2} = 274 \text{ KN/m}^2$$

- إن ضعف الترية المحسوب يوجب هذه الطريقة المبنية على فرضية الأساس الجامسي،
يعبر عالي والجانب الأمين حيث أن أي انحناء في الأساس سوف يؤدي إلى
تقليل الضغط.

هذا ويوضح المثال 6.4 تفاصيل تصميم الأساس الموصى إلى تحويل غير مرئي.

6.4 الحال

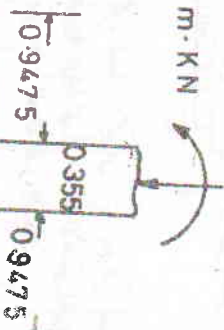
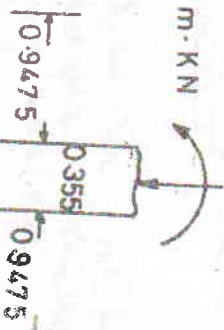
يطلب تصميم أساس لمحاللهالية أدناه

$$\begin{aligned} D &= 316 \text{ KN} \\ L &= 556 \text{ KN} \\ M &= 34 \text{ mKN} \\ q_u &= 192 \text{ KN/m}^2 \\ f_c &= 20.7 \text{ MN/m}^2 \\ f_y &= 34.7 \text{ MN/m}^2 \end{aligned}$$

ضعف الترية المسموح به

34 m - KN

الحل



- احتساب العزم لشواحد

$$M = \int_0^x V dx = \int_0^{0.9475} (303.3x - \frac{25.7}{2}x^2) dx$$

$$V_c = 0.34 \times 0.85 \sqrt{20.7} = 1.315 \text{ mN/m}^2$$

$$= \left[\frac{303.3x^2}{2} - \frac{25.7x^3}{6} \right]_0^{0.9475}$$

$$= 132.5 \text{ KN-m / m}$$

اما بقية المخاطرات فهي مماثلة للمسائل الاخرى .

الاسس المتعددة او المشتركة

6.2.1 القدمية

الاسس المتعددة (combined footings) هي الاسس التي تسد اكبر من عبود واحد على نفس الخط . و هناك اسباب عديدة تتطلب وضع اكبر من عبود واحد على نفس الاساس . ومنها :-

- عندما يكون العمود على الحد الفاصل بين ملكيتين مجاورتين ولا توفر مساحة كافية لانشاء اساس منفصل بدون خلق حالة من التحميل الالاموري (eccentric loading)
- اذا كانت المسافة بين الاسس المتصلاة قليلة جدا (اقل من عرض الأساس) .
- ولذلك يسبب التحميل او تحمل الاربة او المسافات بين الاسس فهن المفضل جعل الاسس متعددة بدلا من جعلها متحصلة .

6.2.2 انواع الاسس المتعددة

- ان اكبر ا نوع الاسس المتعددة شيوغا هي
- الاسس المسططة . الشكل ١١.١

$$d^2 \left(V_c + \frac{d}{4} \right) + d \left(V_c + \frac{q_u}{2} \right) a = \frac{B^2 - a^2}{4} q_u$$

$$V_c + \frac{q_u}{4} = 1.384$$

$$\left(V_c + \frac{q_u}{2} \right) (0.355) = 0.515$$

$$\frac{B^2 - a^2}{4} q_u = 0.338$$

$$\therefore d^2 + 0.372d - 0.338 = 0$$

$$d = 0.342 \text{ m}$$

$$d = 35 \text{ cm}$$

يدهق السملك بحسب ما يتطلب العمل العتببي

$$V_c = 2.25 (0.9475 - d) \left[\frac{303.3 + 303.3 - \frac{57.8}{2.25}}{2} \right]$$

$$V_c = 620.3 - 592.2d - 65.925d^2$$

$$V_c = 657.5 \text{ KN/m}^2$$

$$\Rightarrow$$

$$657.5 \times 2.25 d$$

$$\Rightarrow$$

$$d^2 + 31.42d - 9.41 = 0$$

$$\therefore d = 0.29 \text{ m}$$

$$\therefore \text{مساحة الاساس} = 3.5 \text{ cm}^2$$

وتساوية قرفة القص مع مقاومة القصر تحمل على

$$b_1 = 2.53 b_2$$

$$2.53 b_2 + b_2 = 5.846$$

$$b_2 = 1.656 \text{ m}$$

$$b_1 = 4.19 \text{ m}$$

$$1.66 \text{ m}$$

$$4.20 \text{ m}$$



3- تحول الأقطال إلى أقال فصوصى :

$$(P_1)_u = 1.4 D + 1.7 L = 1.4 \text{ m} (2000 + 1.7 \times 1000)$$

$$= 3380 \text{ KN.}$$

$$(P_2)_u = 1.4 \times 900 + 1.7 \times 700 = 2450 \text{ KN.}$$

$$A = \left(\frac{1.66 + 4.20}{2} \right) 6.5 = 19.045 \text{ m}^2$$

$$\text{ضغط التربية الأقصى } q_u$$

$$q_u = \frac{3380 + 2450}{19.045} = 306 \text{ KN/m}^2$$

4- يرسم القص .

في جهة العمود الخارجى (1) سيكون ضغط التربية الأقصى في حافة الأساس يساوى : -

$$q = 4.20 \times 3.06 = 1285.2 \text{ kN/m}$$

وفي حافة الأساس من جهة العمود الداخلى (2) سيكون ضغط التربية :
وسيتغير ضغط التربية بصورة خطية بين هاتين القيمتين وساوى هذا التغير ويكاد يكون ضغط التربية في أي نقطة على مسافة x من الحافة الخارجية للأساس :

$$A = \frac{P_1 + P_2}{q_u} = \frac{2200 + 1600}{200} = 19 \text{ m}^2$$

$$A = \left(\frac{b_1 + b_2}{2} \right) l_s = 19,$$

$$(b_1 + b_2) \cdot 6.5 = 38$$

$$b_1 + b_2 = 5.846$$

وسكامار هذه المقادير نحصل على قوة القص فى أي نقطة :

$$q_x = 119.57 - \frac{x^2}{2} + C$$

حيث إن التأبىت يأخذ بنظر الاعتبار تأثير تقليل الأعيرة على قوة القص فى القص المطلوب .

$$V_2 = 1285.2 - 119.57 \cdot \frac{x^2}{2} + C$$

$$2.78 = \frac{6.5}{3} \left(\frac{2b_2 + b_1}{b_2 + b_1} \right)$$

الرسالة : -

(1) - يحسب مقدار x باشدة المجموع حول مركز المجموع

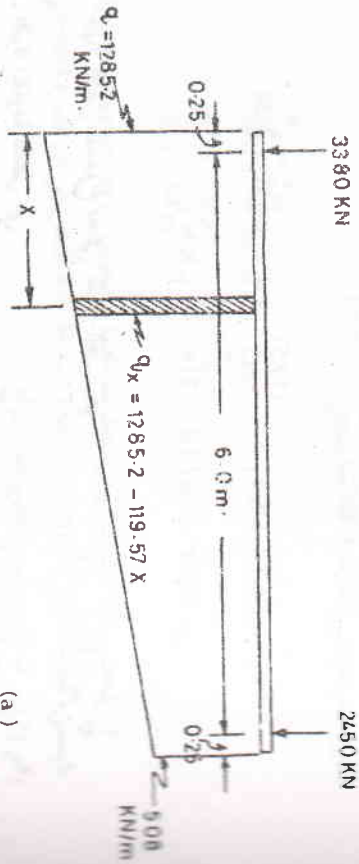
$$(2200 + 1600) \bar{x} = 1600 \times 6$$

$$\bar{x} = 2.53 \text{ m}$$

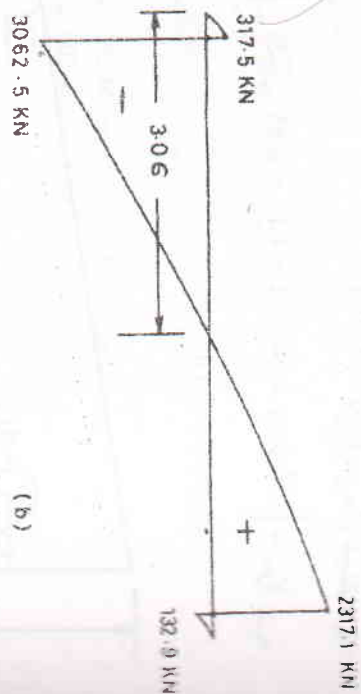
$$x = 2.53 + 0.25 = 2.78 \text{ m}$$

(2)

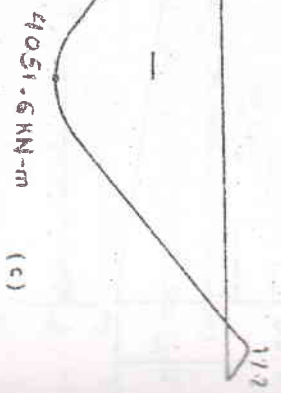
تحسب مساحة شبه المحرف وأبعاده .



(a)



(b)



(c)

رسوم خصم الارتفاع .
يمكن إيجاد عزم الاختناء بتكامل معادلة قوة القص

$$M_x = \int_a^b V dx = \int_0^x (1285.2x - 119.57 \frac{x^2}{2} + C) dx$$

$$= 1285.2 \frac{x^2}{2} - 119.57 \frac{x^3}{6} + cx$$

ولاحظ أن مقدار x في العامل الأخير (Cx) يجب تعديله بالنسبة لوقوع قطل العمود

$$x(m) M_x (kN-m)$$

| | |
|------|----------|
| 0.25 | + 3985 |
| 2.00 | - 3504 |
| 3.05 | - 4051.6 |
| 4.00 | - 3668.8 |
| 6.25 | + 17.2 |

أكبر قيمة لوزم الاختناء

6 - يحصل سطح الأساس (d) على افتراض عملة كتيب (one way action)
الجهة المفيدة من الأساس ان المقطع الحفص هو على مسافة (d) من وجہ العمود
المدخل (2)، اي انه $d = d + 0.5$

الشكل - 6.19 - قریب المصطلح المؤسسي للرية
(b) قریب المقص (c) رسم خصم الألسنة

X مقسمة من الدعابة حتى لا تأسى في هذه الحالة وان القوة الأساسية للمقص د هي

القدرة المسمية للقص = القدرة المقاومة للقص

$$V_x = V_{all}$$

$$59.8 d^2 + 567.8 d - 2181 = 1200 d - 258 d^2$$

$$d^2 + 5.655 d - 6.973 = 0$$

$$d = 1.04 \text{ m.}$$

7. يتحقق هذا السلك ليزمن متطلبات العمل باتجاهين (two - way action) أو مابيني بالقص الخفي (Punching shear) أن أعلى قوة للقص هي في العودة الخارجية

رقم (1) . لذلك سوف يتحقق هذا المقص
القدرة المسمية للقص هي V_e
وإن القدرة المقاومة للقص هي
ان اتجاه القص المسمى به في عمل العتب هو
 $V_{all} = b.d.0.17 \phi \sqrt{f_c'}$

$$V_u = P_{col} - P_{sol}$$

$$= 3380 - (1.20 \times 1.54) 306 = 2899.3 \text{ KN}$$

$$V_{all} = V_e, p, d$$

القدرة المقاومة للقص هي V_{all}

$$V_e = 0.39 \phi \sqrt{f_c'}$$

$$= 0.39 \times 0.85 \sqrt{20}$$

$$= 1.292 \text{ N/mm}^2 = 1292 \text{ KN/m}^2$$

$$P = 1.02 \times 2 + 1.54$$

$$= 3.58 \text{ m}$$

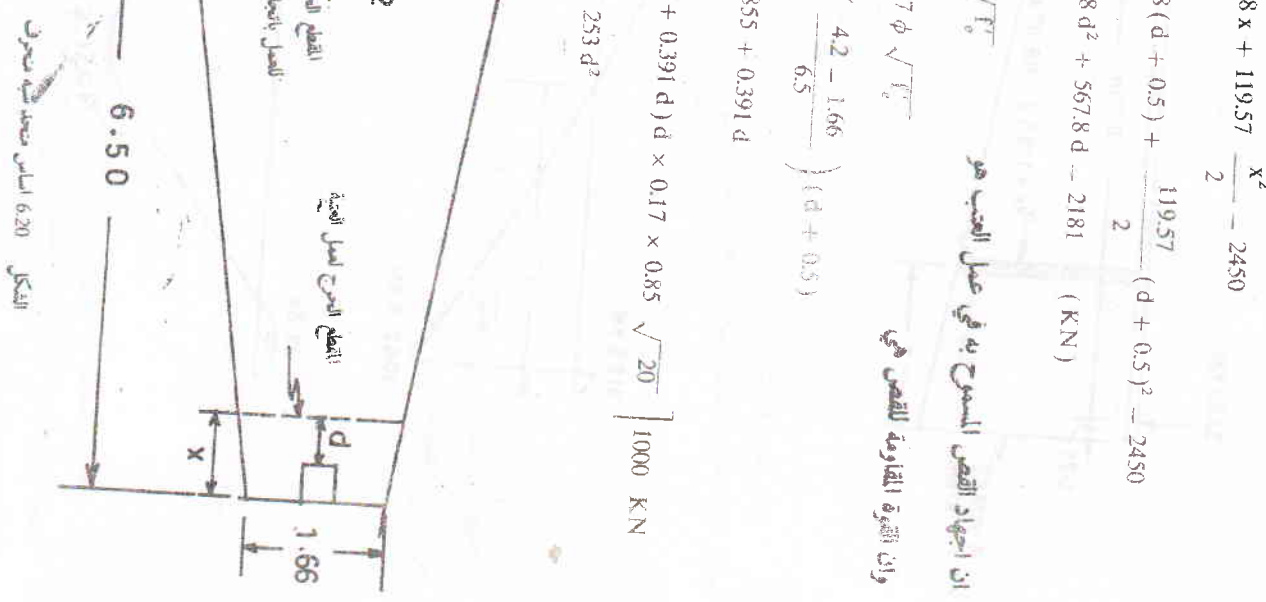
$$\therefore V_{all} = 1292 \times 3.58 \times 1.04$$

$$= 4810 \text{ KN}$$

ويعاد أن القدرة المقاومة للقص أكبر من القوة المسمية له . لذلك يكون السلك المطلوب لتأمين متطلبات عمل العتبة هو المسبيط . أي أن $d = 1.04 \text{ m}$

- 8 . وتحتاج مساحة حديد التسلیح في الاتجاه الطولی :

نظراً لكون عرض الأساس متغيراً أيضاً ويجب وجود مساحة حديد التسلیح في عدة نقاط ابتدأها من العودة الخارجية والتجهذا نحو العودة الداخلي .



$$A_s = 0.0129 \text{ m}^2 = 129 \text{ cm}^2$$

(iii) $x = 4.0 \text{ m}$, $M_u = 3669 \text{ KN-m}$, $b_x = 2.636 \text{ m}$

$$a = \frac{A_s \times 350}{0.85 \times 20 \times 2.636} = 7.81 \text{ A}_s$$

$$b_x = 0.9 \times 350000 \left(1.04 - \frac{7.81}{2} \text{ A}_s \right)$$

$$A_s^2 = 0.266 A_s + 0.003 = 0$$

$$A_s = 0.0115 \text{ m}^2 = 115 \text{ cm}^2$$

يعجب فعرض الحد الأدنى من مساحة الطسلنج في المقطع المستطيل

$$\rho_{min} = \frac{1.4}{f_r} = \frac{1.4}{350} = 0.004$$

$$(A_s)_{min} = \rho_{min} \times b d$$

ولذلك يكون الحد الأدنى من مساحة الطسلنج في المقطع المستطيل كالتالي

$$A_s = \frac{0.9 \times 350}{b (m)} \quad (A_s)_{min} = 0.004 bd \quad A_s \text{ cm}^2$$

$$0 \quad 4.20 \quad 174.0 \quad -$$

$$2.00 \quad 3.42 \quad 142.0 \quad 110.5$$

$$3.05 \quad 3.01 \quad 125.2 \quad 129.0$$

$$4.00 \quad 2.636 \quad 109.7 \quad 115.0$$

$$6.50 \quad 1.66 \quad 69.1 \quad -$$

$$X(m) \quad \text{عدد الفضبان} \quad A_s \text{ cm}^2$$

يراسه عمال فضبان قطر 28 mm سبائك وعدة الفضبان المطلوب في كل مقطع كما يلى

$$A_s = \frac{0.9 \times 350}{3669} = 3669$$

$$0 \quad 29 \quad 178.6$$

$$2.0 \quad 23 \quad 141.7$$

$$3.05 \quad 23 \quad 141.7$$

$$4.0 \quad 19 \quad 117.0$$

$$6.5 \quad 11 \quad 67.8$$

$$(i) \quad X = 2.0 \text{ m}, M_u = 3504 \text{ KN-m}$$

$$b_x = 4.2 - \left(\frac{4.20 - 1.66}{6.5} \right) \times 4.2 = 0.394 \text{ m}$$

$$b_x = 3.42 \text{ m}$$

$$a = \frac{A_s f_y}{0.85 f_r b}$$

$$a = \frac{0.9 \times 20 \times 3.42}{0.85 \times 20 \times 3.42} = 6.02 \text{ A}_s$$

$$A_s = \frac{M_u}{\phi f_y \left(d - \frac{a}{2} \right)}$$

$$= \frac{0.9 \times 350 \left(1.04 - \frac{6.02 A_s}{2} \right) \times 1000}{3504}$$

$$A_s^2 = 0.3455 A_s + 0.0037 = 0$$

$$A_s = 0.0105 \text{ m}^2 = 105 \text{ cm}^2$$

$$(ii) \quad x = 3.05 \text{ m}, M_u = 3952 \text{ KN-m}$$

$$b_x = 3.01 \text{ m},$$

$$a = \frac{0.9 \times 3600}{0.85 \times 20 \times 3.01} = 6.844 \text{ A}_s$$

$$A_s = \frac{0.9 \times 350000}{4051.6} = 4051.6$$

$$0 \quad 29 \quad 178.6$$

$$2.0 \quad 23 \quad 141.7$$

$$3.05 \quad 23 \quad 141.7$$

$$4.0 \quad 19 \quad 117.0$$

$$6.5 \quad 11 \quad 67.8$$

بـ. في الاتجاه الفقسي

عند وسائد مساحة حديد التسلیح في الاتجاه القصیر . يفرض ان شریطنا بعرض $a + \frac{d}{2}$ يتحمل القفل المسلط من العمود بأكمله . حيث انه هو عرض المدرب

$$\begin{aligned} A_s &= \frac{1293.86}{0.9 \times 350000 \left(1.012 - \frac{20.18}{2} A_s \right)} \\ A_s^2 &- 0.098 A_s + 0.0004 = 0 \\ A_s &= 0.0041 \text{ m}^2 = 41 \text{ cm}^2 \end{aligned}$$

استعمل قطباً بقطار 28mm وعدد 7 زرع على مسافة $m = 0.02$ المعمود الداخلي (2)
ضفوط البرية لكل متري من الاساس

$$q_u = \frac{2450}{\left(\frac{1.66 + 2.06}{2} \right) \times 1.02} = 1291.4 \text{ KN/m}^2$$

وزم الانحناء الكلي في وجه العمود

$$1291.4 \times 1.02 \frac{(0.68)^2}{2} = 304.5 \text{ KN-m}$$

كتها في العمود الخارجي

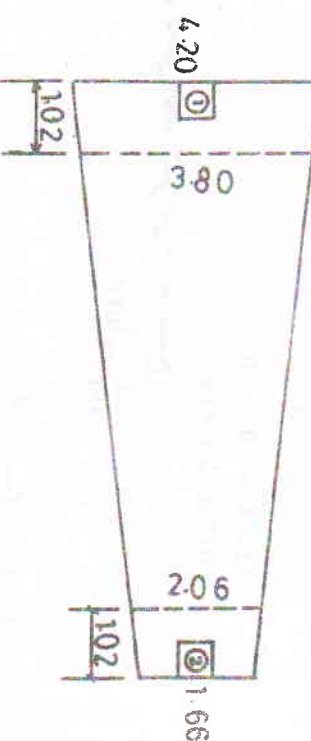
$$a = 20.18 A_s$$

$$A_s = \frac{304.5}{0.9 \times 350000 \left(1.012 - \frac{20.18}{2} A_s \right)}$$

$$A_s^2 - 0.098 A_s + 0.000095 = 0 \\ A_s = 0.001 \text{ m}^2 = 10 \text{ cm}^2$$

استعمل قضباناً بقطر 28 mm وعدد 3

بعضهم طول الجزء المطمور من السطح كثافاً في الأساس السطلي



الشكل - اساس متعدد الشكل

ضفوط البرية لكل متري من الاساس q_u

$$q_u = \frac{3380}{\left(\frac{4.20 + 3.80}{2} \right) \times 1.02} = 828.4 \text{ KN/m}^2$$

وزم الانحناء الكلي في وجه العمود :

$$828.4 \times 1.02 \frac{(1.75)^2}{2} = 1293.86 \text{ KN-m}$$

ونظر الى الحجم طبقية من العدل في الاتجاه الطولي تحت هذه الطبقية سيل بعقد ادار 28mm اي ان $m = 0.99 \text{ m}$ في هذه الحالة

٦.٢.٦ تصميم الاساس المربوطة او الجبليه

تستعمل الاساس المربوطة او الجبليه (Straps or Cantilever footings) المسافة بين مراكز العمودين كبيرة بحيث ان الاساس المتعدد تحسن ضيقه جداً ويعزز عزم الانحناء كثيراً ، او اذا كانت المسافة \times اقل من $\frac{1}{3}$ في الاساس يكون منه ضروف

$$R_1 + R_2 = P_1 + P_2 \quad (6.37)$$

وتحدد الملاقطة ان الحال يعتمد على اسلوب التجربة . حيث يجب فرض قيم ممكنة لـ R ليجود مقداران ويكزن طول الاساس الخارجي L

$$L = 2 \left(e + \frac{C_1}{2} \right) \quad (6.38)$$

ويحسب عرض الاساس كما يأتي :

$$q_a (A_f Y) = \frac{R_1}{q_a} \quad (6.39)$$

حيث ان :

- (1) $=$ مساحة الاساس الخارجي
- (2) $=$ قابلية تحمل التربة المسحورة بها

ويحسب عرض الاساس الخارجي من العلاقة

$B = (A_f)_1 / L$... (6.40)

ولاحسب مساحة الاساس الداخلي $(A_f)_2$ من العلاقة

R_2 / q_a ... (6.41)

لتحول الاتصال الى اقبال قصوى وتهيا رسم القص وعمق الانبعاث للرابط

(strap beam)

لتمضي الرابط بسوج قوى القص وعزم الانبعاث المؤثر

(4) \rightarrow بضم الاساس الداخلي

هذا ويتضح المقطورات الأساسية للحمل المذكور بمصرورة مختصرة اعلاه

اكبر في افق الالال 6.7

الى اسفل 6.7 : لتصويم اساس على شكل عصب مطرق يسمى المعدون الآتيين :

النوع المداري : الحمل الابت $D = 250 \text{ kN}$

النوع المداري : العمل الحي $L = 350 \text{ kN}$

النوع المداري : العمل الحي $D = 350 \text{ kN}$

النوع المداري : العمل الحي $L = 600 \text{ kN}$

النوع المداري : العمل الحي $L = 540 \text{ m}$

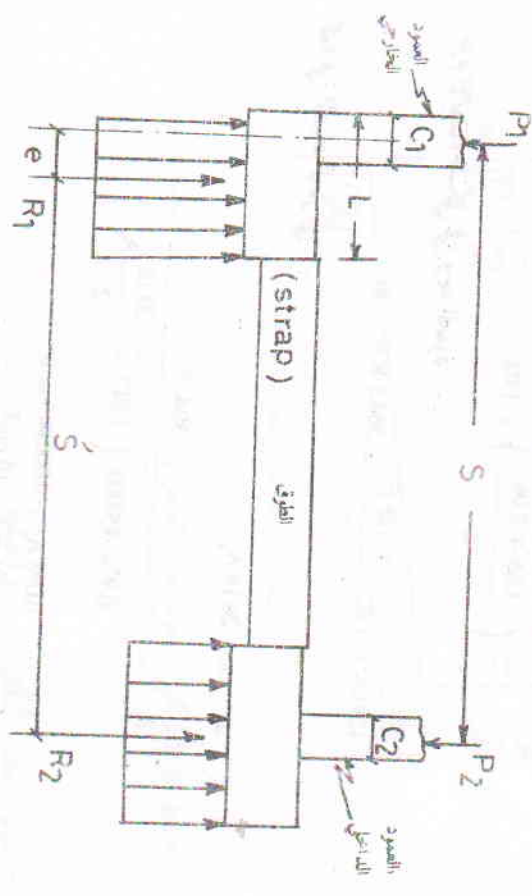
حيث ان يكون الصيغة اقرب للمعلومات الآتية

ان هذه الاسس عبارة عن اساسين معمودين متصفين بعروض يتحقق

(strap) او عب لنقل عزم الانبعاث من العمود الخارجي : وتحتم المقاومة عزم الانبعاث والذك

loosens

فيفرض خطأ متحاطس للتربة (Uniform soil pressure) تحدث كل من العمودين : ان فرضية خلط التربة الشائعة تسمى ان زد فعل ضغط التربة يعمل في مركز امسحة (centroid) لشكل الاساس . كما في مبين في الشكل - 6.22



الشكل 6.22 - الاسس (المعدون)

توخذ العزوم حول العمود الابتدائي

$$R_1, S' = P_1, S$$

$$R_1 = P_1 - \frac{S}{e} \quad (6.36)$$

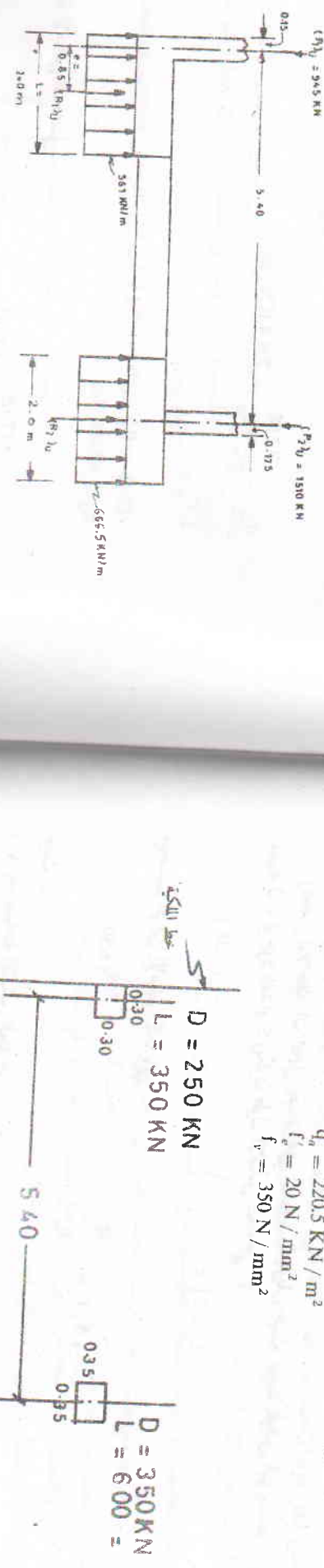
ومن حيثى المتنomial : يساوى مجموع القوى في الاتساع الشاقولي المفترض

ضلع التحمل المسموح به

$$q_u = 220.5 \text{ KN/m}^2$$

$$f'_e = 20 \text{ N/mm}^2$$

$$f_v = 350 \text{ N/mm}^2$$



الشكل - 6.23 - تصميم أساس متعدد جذعي

العمل

1. تفرض مقدار معين لقيمة عو يكن 0.85 m وينبغي وجود طول الأساس الخارجي

$$L = 2 \left(e + \frac{C_1}{2} \right) = 2 \left(0.85 + \frac{0.30}{2} \right) = 2.0 \text{ m}$$

R

ثم تحسب قوى ضغط التربة على الأساس R_1 و R_2 .
توزيع العزوم حول العمود الداخلي

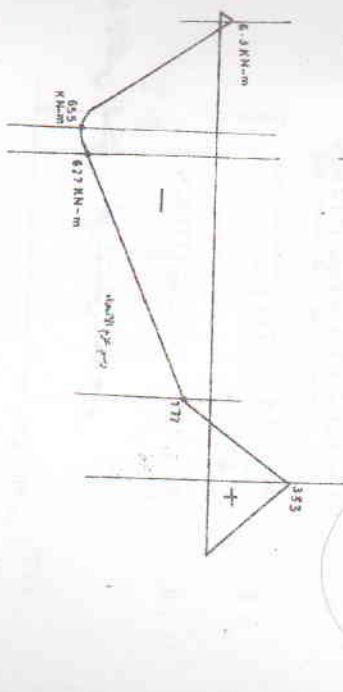
$$\frac{600 \times 5.40}{R_1} = R_1 (5.40 - 0.85)$$

$$R_1 = 712.08 \text{ KN}$$

تحسب مساحة الأساس الخارجي

$$(A_J)_1 = \frac{R_1}{q_u}$$

$$(A_J)_1 = \frac{712.08}{220.5} = 3.23 \text{ m}^2$$



الشكل - 6.23 - حسابات التصميم للأساس المتعدد الجذعي

وعلى الأساس الداخلي

$$\frac{1333}{2} = 666.5 \text{ KN/m.}$$

- يعمل رسم القص (shear diagram) على أساس أن إثقال الأعمدة تتعذر مركبة (concentrated) للسهولة . كما صبي في الشكل . وكذلك ذلك ي العمل (رسم عنوان الأعنة bending moment diagram)

- يحسب سمل كل أساس على قرض عمل الأساس بالتجاوبين ثم يتحقق السمل

للمصل باتجاه واحد

$$712.08 + R_2 = 600 + 950$$

$$R_2 = 837.92 \text{ KN}$$

مساحة الأساس الداخلي

$$(A_f)_2 = \frac{837.92}{220.5} = 3.8 \text{ m}^2$$

$$B = 1.95 \text{ m.}$$

استعمل أبعاد الأساس الداخلي $2.0 \text{ m} \times 2.0 \text{ m}$

$$q_{s2} = \frac{837.92}{2 \times 2} = 209.48 \text{ KN/m}^2 \approx q_{s1}$$

- تحول الإثقال إلى إثقال قصوى وي العمل رسم القص و عنوان الإنحناء

$$(P_1)_u = 1.4 \times 250 + 1.7 \times 350 = 945 \text{ KN}$$

$$(P_2)_u = 1.4 \times 350 + 1.7 \times 600 = 1510 \text{ KN}$$

$$(R_1)_u = \frac{945 \times 5.4}{4.55} = 1122 \text{ KN}$$

$$(R_2)_u = 945 + 1510 - 1122 = 1333 \text{ KN}$$

خط نصف التربة الأقصى الكلي : - على الأساس الخارجي

الشكل - 6.26 - حسابات سمل الأساس

(عمود داخلي)

خط التربة على الأساس الخارجي

$$B = 1.70 \text{ m}$$

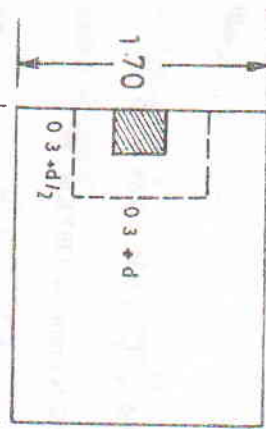
- على أساس أن إثقال الأعمدة تعذر مركبة (concentrated) للسهولة . كما صبي في الشكل . وكذلك ذلك ي العمل (رسم عنوان الأعنة bending moment diagram)

- يحصل كل أساس على قرض عمل الأساس بالتجاوبين ثم يتحقق السمل

للمصل باتجاه واحد

$$712.08 + R_2 = 600 + 950$$

$$R_2 = 837.92 \text{ KN}$$

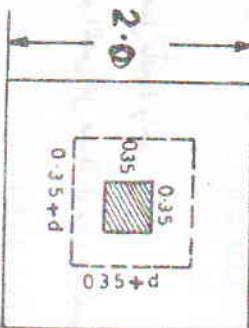


الشكل - 6.25 - حسابات سمل الأساس

(عمود داخلي)

$q_{s1} = \frac{712.08}{2 \times 1.70} = 209.4 \text{ KN/m}^2$

$\Sigma F_r = 0$



الشكل - 6.26 - حسابات سمل الأساس

(عمود داخلي)

$$\frac{1122}{2} = 561 \text{ KN/m}$$

$$= 0.17 \times 0.85 \sqrt{20} \times 1.7 d = 1098.6 d$$

$$776.8 - 561d = 1098.6 d$$

$$d = 0.47 \text{ m}$$

٤- العمود الخارجي

الفورة المسية للقص

P_{eo} — Soil pressure

$$= 945 - \left[\left(0.3 + \frac{d}{2} \right) (0.3 + d) \right] 330$$

العمل باتجاهين —
العمل بالاتجاهين —
الفورة المسية للقص

$$= 915.3 - 148.5 d - 165 d^2$$

$$V_u = \frac{1510}{1469.18} - (0.35 + d)(0.35 + d) 333.25$$

$$= 1469.18 - 233.25d - 333.25d^2$$

علاقة القوى المسماح

$$= V_c P_o d = 0.34 \times 0.85 \sqrt{20} \times 4(0.35 + d)d$$

$$= 1809 d + 5168 d^2$$

وتحسوا فورة القص مع مقاومة القص تحصل على

$$d = 0.36 \text{ m.}$$

المسل بالاتجاه واحد.
القدرة المسية للقص

$$V_u = 844 - (0.175 + d) 666.5$$

$$= 724 - 666.5 d$$

$$V_c b d$$

$$= 0.17 \times 0.85 \sqrt{20} \times 2d$$

$$d = 0.37 \text{ m}$$

تحصل هنا المسند لل المسل بالاتجاه واحد
ويوجد فورة القص من رسم القص على مسافة d من وجہ المصور

$$V_u = 861 - (0.15 + d) 561$$

$$= 776.8 - 561d$$

مقادمة القص المسماح به
مقدمة القص المسماح به

| الأساس | المسنوك (m) |
|-------------------|--|
| العمل باتجاه واحد | $\phi f_y \left(d - \frac{a}{2} \right)$ |
| العمل باتجاهين | $a = \frac{A_s f_y}{0.85 b f'_c} = \frac{A_s \times 350}{0.85 \times 20 \times 0.55} = 37.4 A_s$ |
| الخارجي | $A_s = \frac{0.9 \times 350000}{0.50 - \frac{37.4}{2} A_s}$ |
| الداخلي | 0.37 |
| | 0.36 |
| | 0.38 |
| | 0.47 |
| | 627 |

$$A_g^2 - 0.027 A_s + 0.00015 = 0$$

$$A_s = \frac{0.00952}{2} \text{ m}^2 \approx 47.6 \text{ cm}^2$$

الحادي والستين

$$J_{\text{min}} = -\frac{1}{2} = 0.004$$

$$(\Lambda_s)_{min} = 0.004 \times 50 \times 65 = 13 \text{ cm}^2 < 47.5 \text{ cm}^2$$

١٠- ملليل ملسان تسلیح بقطر ٢٥ mm. و عرض ١٠

$$M_u = 127 \text{ kN} - \text{m}$$

$$\therefore A_s = \frac{0.9 \times 350000}{\left(0.5 - \frac{37.4}{2} A_s\right)} \quad 177$$

$$A_s^2 - 0.027 A_s + 0.00003 = 0$$

$$\lambda_s = 13 \text{ cm}^2$$

الله العزى من حديث النسليح

$$M = 627 \text{ KN} \cdot \text{m}$$

(ج) في محفظة العمل العتب بالأساس الخارجي

卷之三

أو على وجه التقرير

أو على وجه التقرير ومومن المفصل اختيار سماك واحد للأساسين . وفي هذه الحالة يجبر اختبار $d = 0.50 \text{ m}$.

نفهم العتبة طرifice عادة بالنسبة لطلبات القص على فرض عدم استعمال تسليح القص

卷之三

القوه المتبهه للقصص . يوحه من رسم مقاومه القصص المسموح بها في المقطع

$$V_t = 0.17 \phi \sqrt{f_c} b_w d,$$

الطبقة

سهمت المتنبی

تجزئي سنت - يحجب مسحوق سميد الأسمنت. أي $\frac{20}{1000} \times 0.5b.$ يمحض وجود المروض المطلوب 177 - 0.17 $\times 0.85.$

$$177 = 0.17 \times 0.85 \sqrt{20} \times 0.5 b_w \times 1000$$

$$b_w \approx 0.55 \text{ m}$$

(ج) في منطقة اتصال العتب بالأسس الخارجية
غير اتساعه الاتساع

卷之三

$$R_2 = 1333 \text{ KN}$$

development of reinforcement,

$$L_d = \frac{0.019 A_b f_y}{\sqrt{f'_c}}$$

$$M_u = \frac{666.5(0.75)^2}{2} = 187.5 \text{ KN/m}$$

$$= \frac{0.019 \times 4.91 \times 350}{\sqrt{20}} = 730 \text{ mm}$$

$$a = \frac{A_s \times 350}{0.85 \times 20 \times 1.95} = 10.56 A_s$$

$$A_s = \frac{187.5}{0.9 \times 350000 \left(0.5 - \frac{10.56}{2} A_s \right)}$$

$$A_s^2 - 0.095 A_s + 0.00012 = 0$$

$$A_s = 0.0013 \text{ m}^2 = 13 \text{ cm}^2$$

استعمل قضبان تسليح الفولاذ 20mm وعدد 5

٦- الأسس الخصوصية أو الطرفية :

عارة عن صبة خرسانية كبيرة تسبّب عدداً من الأع碌ة أو تضرّي مسامحة المنشآت

لذلك يجب توفير هذا الطول من العديد في الأساسين الخارجي والداخلي

تضييم حديد التسلیح في الاتجاه القصير .

(a) الأساس الخارجي

$$R_i = 1122 \text{ KN.}$$

$$\frac{1122}{1.70} = 660 \text{ KN/m.}$$

$$l = (1.7 - 0.55)/2 = 0.575$$

$$M_u = \frac{600(0.575)^2}{2} = 109.1 \text{ Kn-m}$$

$$a = \frac{A_s \times 350}{0.85 \times 20 \times 2.0} = 10.29 A_s$$

$$A_s = \frac{109.1}{0.9 \times 350000 \left(0.5 - \frac{10.29}{2} A_s \right)}$$

$$A_s^2 - 0.0972 A_s + 0.00007 = 0$$

$$A_s = 0.0007 \text{ m}^2 = 7 \text{ cm}^2$$

كثافة الملاك يسمح استعمال الأسس الخصوصية إعادة توزيع الإجهادات في
الطبقات السميكة ونقل جزء كبير منها إلى الطبقات الأقوى .

تحتاج إلى ثلاثة قضبان فقط . بشرط أن
أقصى طول الجزء المطمور من التسلیح